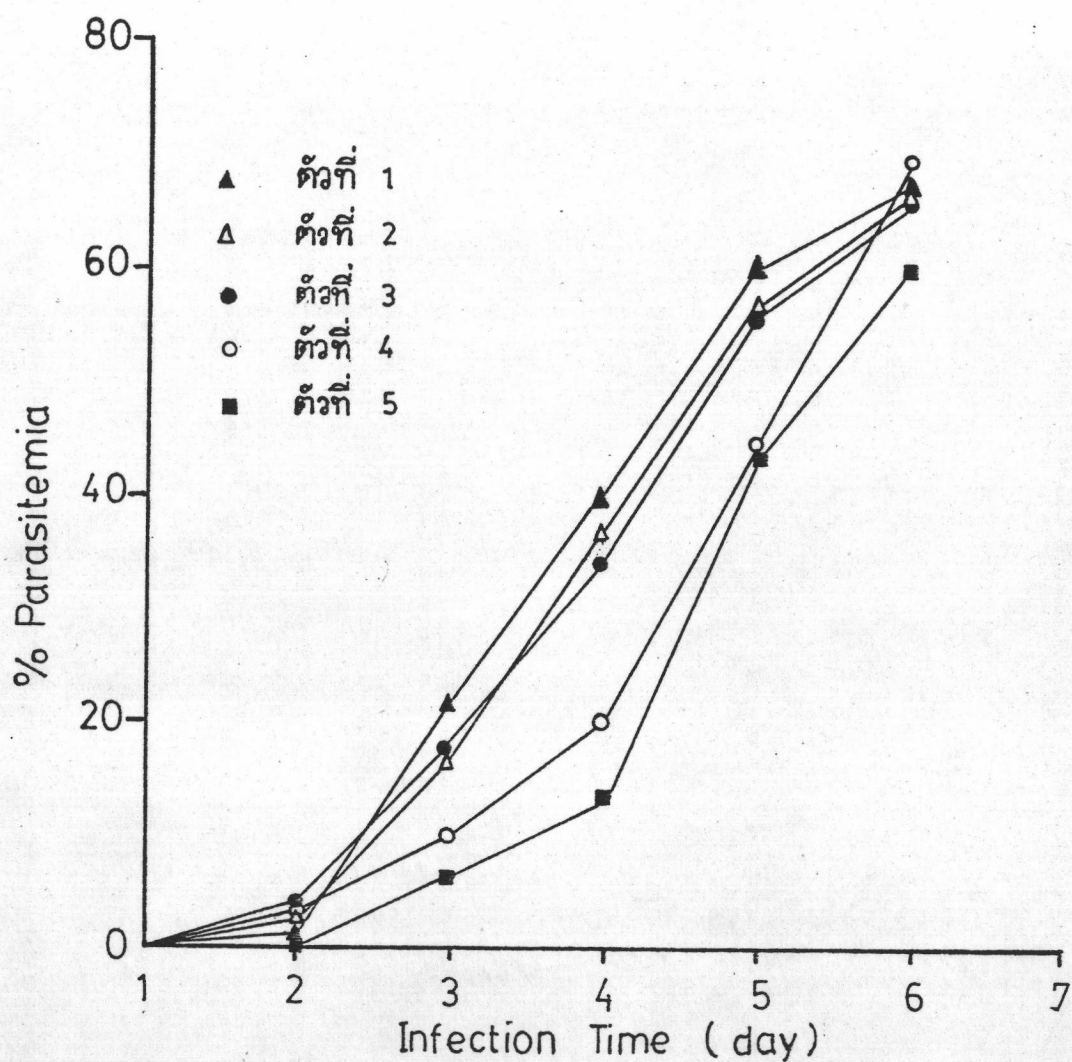


ผลการทดลอง

4.1 ผลการเพาะเลี้ยงพลาสโมเดียม ข้าบอดี ในหนูไมซ์

จากข้อมูลที่ได้จากการเพาะเลี้ยง พลาสโมเดียม ข้าบอดี AS ตามรูปที่ 6 พบว่าเมื่อกำหนดให้วันที่หนูได้รับเชื้อประมาณ  $10^8$  เซลล์เป็นวันที่ 1 ภายในเวลา 24 ชั่วโมง จำนวนเม็ดเลือดแดงติดเชื้อที่ตรวจพบจะต่ำมากจนบางครั้งไม่สามารถติดตามได้ (หนูตัวที่ 5) หลังจากนั้นจะเพิ่มจำนวนขึ้นอย่างรวดเร็วจนเปอร์เซ็นต์เม็ดเลือดแดงติดเชื้อมีค่า 10-20 เปอร์เซ็นต์ในวันที่ 3 ของการติดเชื้อ และเพิ่มเป็นทวีคูณในวันที่ 4 เมื่อเลี้ยงหนูติดเชื้อครบ 5 วัน เปอร์เซ็นต์เม็ดเลือดแดงติดเชื้อโดยเฉลี่ยจะสูงประมาณ 45-60 เปอร์เซ็นต์ ระยะนี้จะเป็นระยะเก็บเกี่ยวเซลล์เพื่อนำไปใช้ทดลองหรือฉีดเข้าไปในหนูตัวใหม่ เพื่อเป็นการเลี้ยงแบบต่อเนื่อง อย่างไรก็ตามถ้าเลี้ยงต่ออีก 1 วัน จำนวนเม็ดเลือดแดงติดเชื้ออาจเพิ่มขึ้นได้อีก แต่อัตราการติดเชื้อเพิ่มจะน้อยกว่าในช่วงต้น ยิ่งไปกว่านั้นหนุมากกว่าครึ่งหนึ่งของหนูติดเชื้อทั้งหมดจะตายเพราะไม่สามารถทนต่อสภาวะการเจ็บป่วยจากเชื้อมาลาเรียต่อไปได้

ผลจากการติดตามระยะการเจริญของเชื้อปรากฏว่า ที่เวลาประมาณ 6.00-10.00น. ของทุก ๆ วัน รวมทั้งวันเก็บเกี่ยวเลือดตัวอย่าง พลาสโมเดียม ข้าบอดี ส่วนใหญ่อยู่ในระยะโทรโพอัยต์ตอนปลาย และไซซอนต์ตอนต้น แต่ไม่ปรากฏระยะวงแหวนเลย (รูปที่ 7) อีกทั้งยังพบว่าในระยะแรก ๆ ของการเพาะเลี้ยงเชื้อ ซึ่งเปอร์เซ็นต์เม็ดเลือดแดงติดเชื้อมีค่าต่ำ เม็ดเลือดแดงติดเชื้อส่วนใหญ่จะถูกบุกรุกด้วยพลาสโมเดียมเพียงเซลล์เดียว (single-infection) (รูปที่ 7 ก.) แต่เมื่อเปอร์เซ็นต์เม็ดเลือดแดงติดเชื้อเพิ่มสูงขึ้น อันเป็นผลมาจากการเจริญต่อไปหลายวงชีพ โอกาสที่เม็ดเลือดแดงติดเชื้อจะถูกบุกรุกด้วยพลาสโมเดียมมากกว่า 1 เซลล์ (multi-infection) ก็จะมีมากขึ้น โดยอาจถูกบุกรุกด้วยพลาสโมเดียม 2 เซลล์ (double-infection), 3 เซลล์ (triple-infection), 4 เซลล์ (tetra-infection) และบางครั้งอาจมีมากที่สุดถึง 5 เซลล์ (penta-infection) (รูปที่ 7 ข.)



รูปที่ 6.

รูปแบบการเจริญเติบโตของ *P. chabaudi* AS ในเม็ดเลือดแดงหนูไมซ์ เมื่อหนูได้รับเชื้อพลาสมาเดียมประมาณ  $10^8$  เซลล์ แล้วทำการเลี้ยงและติดตามการเจริญตามวิธีทดลองในข้อ 3.3 และ 3.4

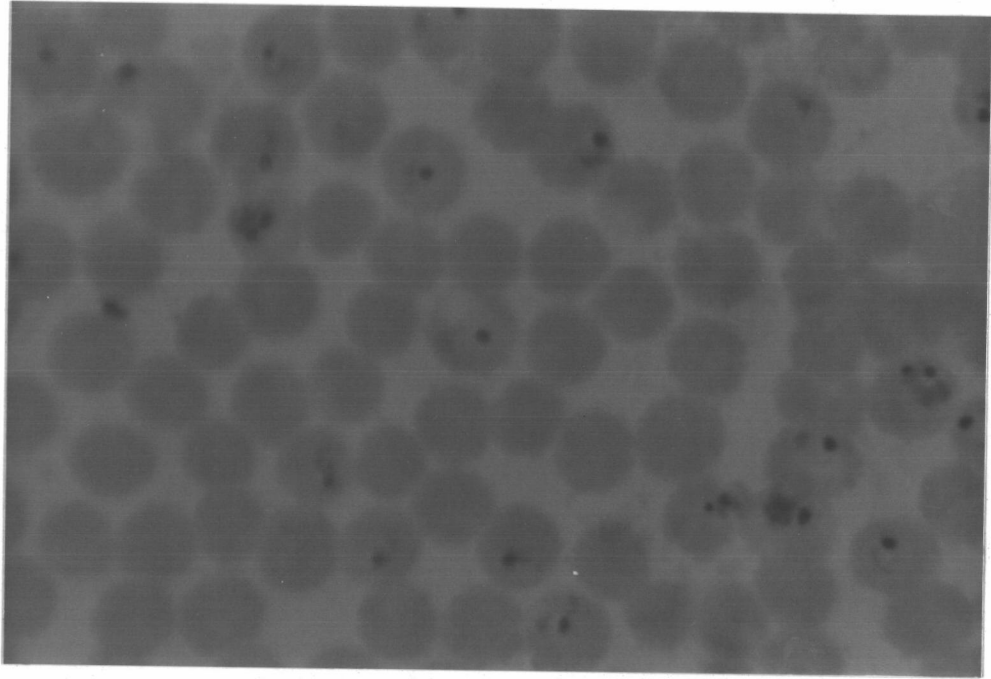
รูปที่ 7.

ภาพแสดงระยะการเจริญและลักษณะการติดเชื้อของ P.chabaudi AS  
ในเม็ดเลือดแดงหนูไมซ์ เมื่อทำการเพาะเลี้ยงตามวิธีทดลองข้อ 3.3  
(กลองจุลทัศน์กำลังขยาย 10 x 100)

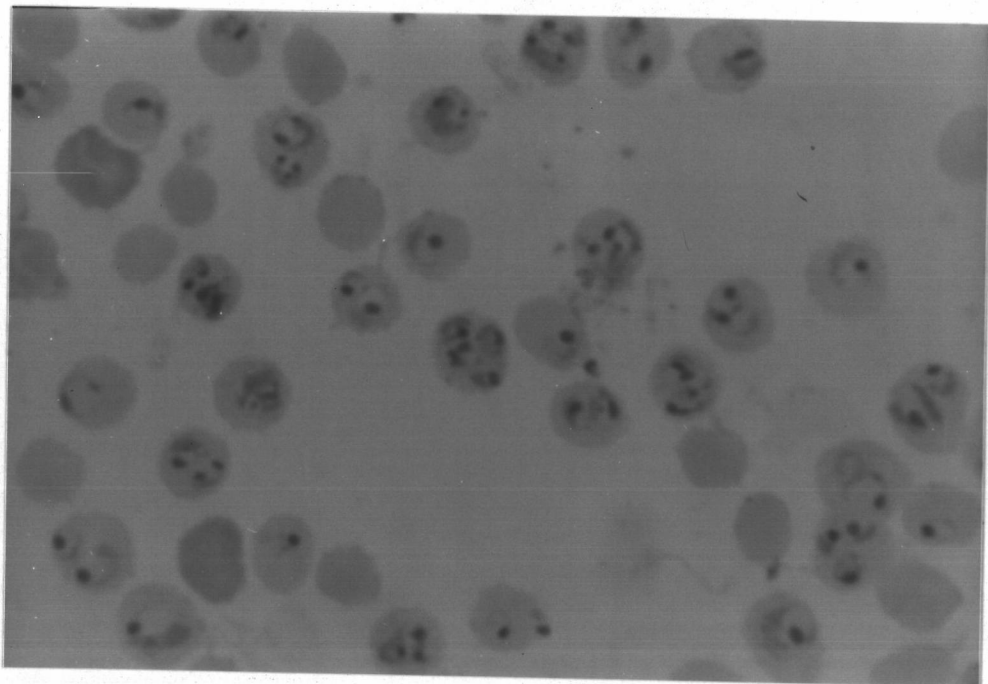
รูปที่ 7 ก. การเจริญของพลาสโมเดียมในวันที่ 3 ของการเพาะเลี้ยง  
เชื้อ ซึ่งมีความเปอร์เซ็นต์เม็ดเลือดแดงติดเชื้อ 12 %

รูปที่ 7 ข. การเจริญของพลาสโมเดียมในวันที่ 5 ของการเพาะเลี้ยง  
เชื้อ ซึ่งมีความเปอร์เซ็นต์เม็ดเลือดแดงติดเชื้อ 60 %

รูปที่ 7 ก.



รูปที่ 7 ข.



#### 4.2 ผลการทดสอบความไวของพลาสโมเดียม ข้าบอดี ต่อไพริเมธาซีน

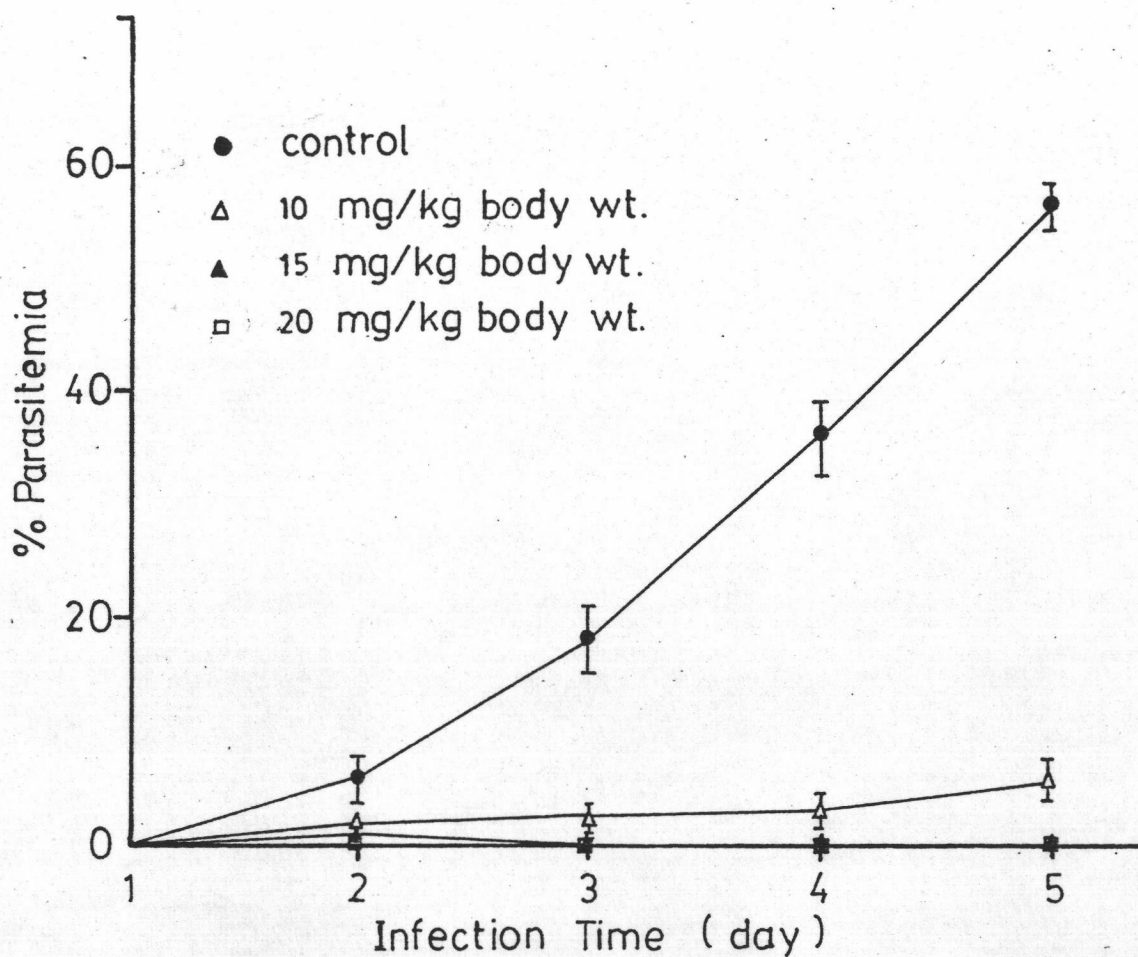
การทดสอบผลกระทบของไพริเมธาซีนต่อการเจริญของเชื้อ พลาสโมเดียม ข้าบอดี AS พบว่า (รูปที่ 8) การเจริญของเชื้อพลาสโมเดียมในหนูจะถูกยับยั้งอย่างสมบูรณ์ ถ้าให้หนูติดเชื้อ ได้รับไพริเมธาซีน 15 มิลลิกรัมต่อกิโลกรัมน้ำหนักตัว ตามวิธีข้อ 3.5 และเมื่อลดขนาด (dose) ของไพริเมธาซีนเหลือเพียง 10 มิลลิกรัมต่อกิโลกรัมน้ำหนักตัว จะทำให้พลาสโมเดียม ข้าบอดี AS เจริญได้บ้างบางส่วน

ผลการทดลองตามรูปที่ 9 แสดงให้เห็นว่า หนูติดเชื้อ พลาสโมเดียม ข้าบอดี AS ( $Pr_1$ ) เมื่อได้รับไพริเมธาซีน 15 มิลลิกรัมต่อกิโลกรัมน้ำหนักตัว รูปแบบการเจริญของ พลาสโมเดียมไม่ต่างจากหนูกลุ่มควบคุมซึ่งติดเชื้อชนิดเดียวกัน และไพริเมธาซีนขนาดสูงขึ้นถึง 20 มิลลิกรัมต่อกิโลกรัมน้ำหนักตัวจะเริ่มมีผลกระทบเล็กน้อยต่อการเจริญของเชื้อโคลน AS ( $Pr_1$ ) เมื่อเพิ่มขนาดเป็น 30 มิลลิกรัมต่อกิโลกรัมน้ำหนักตัวจึงจะสามารถยับยั้งการเจริญของ พลาสโมเดียม ข้าบอดี AS ( $Pr_1$ ) ในหนูติดเชื้อได้อย่างสมบูรณ์

#### 4.3 ผลกระทบของความเข้มข้นของ $^{14}C$ -pyrimethamine ต่อการนำเข้าสู่เซลล์

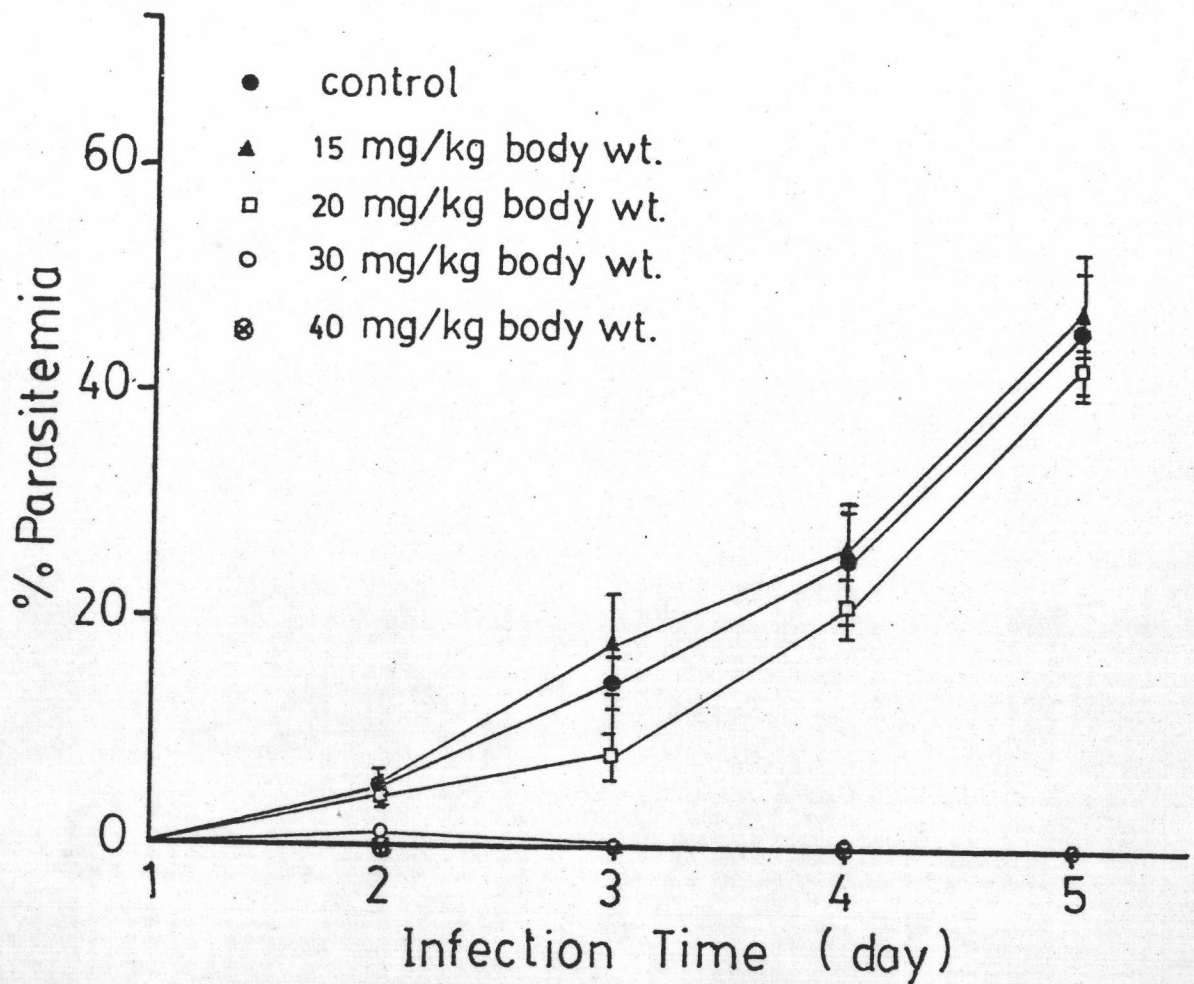
เมื่ออินคิวเบตเซลล์เม็ดเลือดแดงปกติและเลือดติดเชื้อ พลาสโมเดียม ข้าบอดี AS จำนวน  $7 \times 10^8$  เซลล์ (50 เปอร์เซ็นต์เม็ดเลือดแดงติดเชื้อ) กับ  $^{14}C$ -pyrimethamine ความเข้มข้น 10 ไมโครโมลาร์เป็นเวลาต่าง ๆ กันตั้งแต่ 1-30 นาที ดังแสดงในรูปที่ 10 พบว่าค่าการนำเข้าไปในเม็ดเลือดแดงทั้ง 2 ชนิดเพิ่มมากขึ้นเป็นสัดส่วนโดยตรงกับเวลาจนกระทั่งมีค่าสูงที่สุดที่เวลานาทีที่ 6 หลังจากนั้นค่าจะลดต่ำลงมากคล้ายกับเซลล์ผิดปกติจนไม่สามารถ ละสม  $^{14}C$ -pyrimethamine ไปได้ เมื่อทำการทดลองในลักษณะเดิมแต่อินคิวเบตเซลล์กับ  $^{14}C$ -pyrimethamine 100 นาโนโมลาร์ (รูปที่ 10 ข.) ปรากฏว่า  $^{14}C$ -pyrimethamine ถูกนำเข้าสู่เม็ดเลือดแดงทั้ง 2 ชนิด อย่างรวดเร็ว โดยในเม็ดเลือดแดงปกติค่าการนำเข้าไปเริ่ม อิ่มตัวในเวลาประมาณ 2 นาที และสำหรับเม็ดเลือดแดงติดเชื้อโคลน AS ต้องใช้เวลาประมาณ 2 นาทีเช่นกัน จึงจะมีการนำเข้าไปของ  $^{14}C$ -pyrimethamine อิ่มตัว

เมื่อทดสอบการมีชีวิตของพลาสโมเดียม ข้าบอดี AS โดยอินคิวเบตเลือดติดเชื้อกับ ไพริเมธาซีน 100 นาโนโมลาร์ที่อุณหภูมิ 37 องศาเซลเซียสนาน 30 นาที (ตามสภาวะ -



รูปที่ 8.

ผลกระทบของไพริเมตามีนต่อการเจริญเติบโตของ *P. chabaudi* AS ในเม็ดเลือดแดงหนูไมซ์ซึ่งได้รับเชื้อ พลาสมาเดียมประมาณ  $10^8$  เซลล์ และเพาะเลี้ยงตาม วิธีทดลองข้อ 3.3 โดยฉีดไพริเมตามีนขนาดต่างๆกัน (0-20 มิลลิกรัมต่อกิโลกรัมน้ำหนักตัว) ทุกวันติดต่อกัน 4 วัน รายละเอียดตามที่ระบุในวิธีทดลองข้อ 3.5



รูปที่ 9.

ผลกระทบของไพริเมธาซีนต่อการเจริญเติบโตของ

*P. chabaudi* AS (Pr<sub>1</sub>) ในเม็ดเลือดแดงหนูไมซ์ซึ่งได้

รับเชื้อพลาสมาเดียมประมาณ  $10^8$  เซลล์ และเพาะ

เลี้ยงตามวิธีทดลองข้อ 3.3 โดยฉีดไพริเมธาซีนขนาด

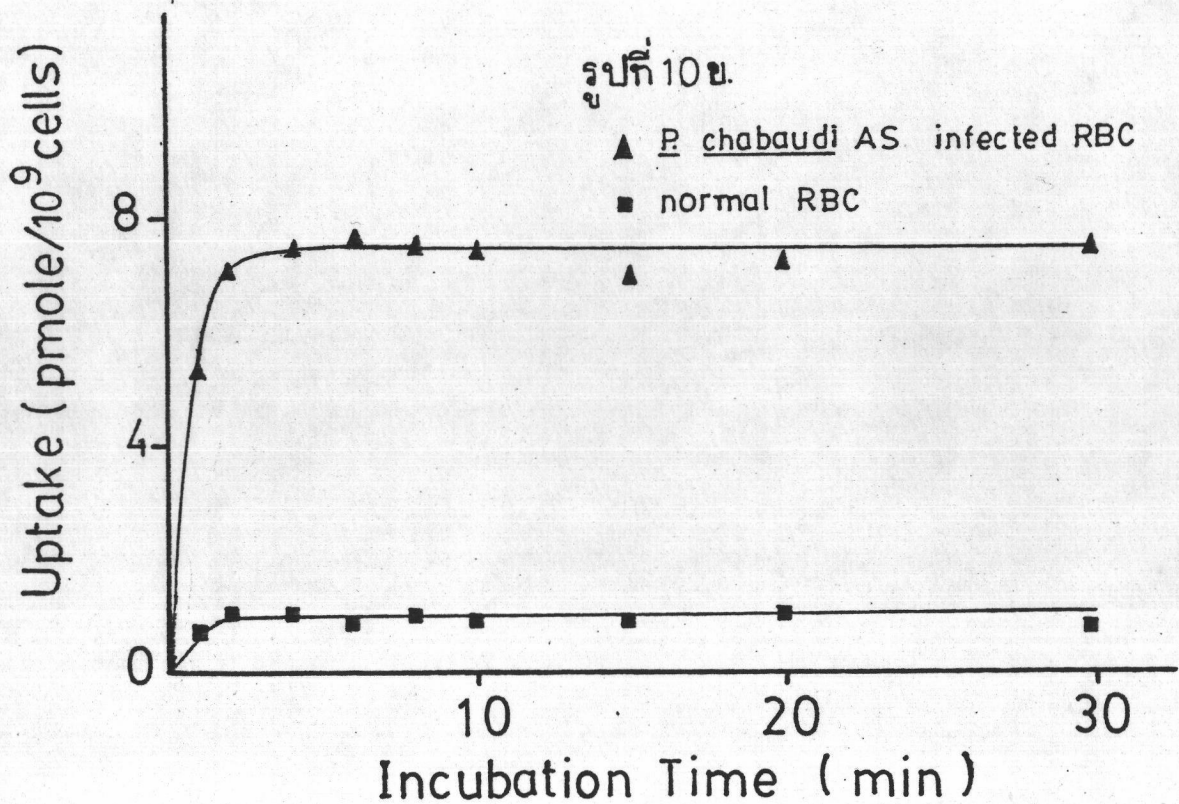
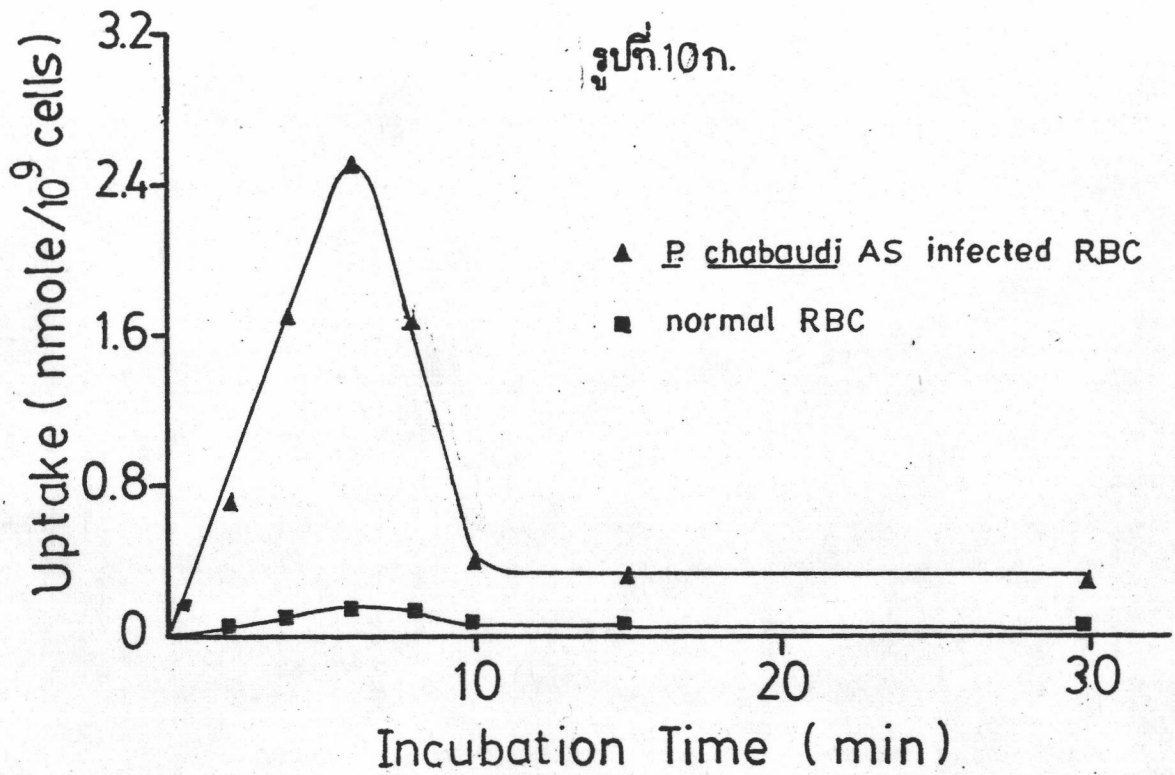
ต่างๆ กัน (0-40 มิลลิกรัมต่อกิโลกรัมน้ำหนักตัว) ทุกวัน

ติดต่อกัน 4 วัน รายละเอียดตามทีระบุนในวิธีทดลอง

ข้อ 3.5

รูปที่ 10. ผลกระทบของ  $^{14}\text{C}$ -pyrimethamine ความเข้มข้นสูง ๆ ต่อการนำ:  
เข้าในเซลล์เม็ดเลือดแดงปกติกับเซลล์เม็ดเลือดแดงติดเชื้อ P. chabaudi  
AS ทำการทดลองตามวิธีทดลองข้อ 3.8.1 โดยอินทิวเบตเลือดปกติ  
หรือเลือดติดเชื้อ (50 % parasitemia)  $7 \times 10^8$  เซลล์กับ  
 $^{14}\text{C}$ -pyrimethamine เข้มข้น 10 ไมโครโมลาร์ (รูป ก.) และ  
0.1 ไมโครโมลาร์ (รูป ข.) ในพีทช์มีเดียเป็นเวลาต่าง ๆ กัน  
ตั้งแต่ 1-30 นาที นับปริมาณกัมมันตรังสีที่ถูกนำเข้าเซลล์ตามวิธีทดลอง  
ข้อ 3.8.2.1





การทดลองนำเข้าข้อ 3.8.1) แล้วฉีดกลับเข้าไปในหนูตามวิธีข้อ 3.3 ติดตามรูปแบบและ  
 ระยะเวลาเจริญพบว่า รูปแบบและระยะเวลาเจริญของเชื้อพลาสโมเดียม ในหนูจะยังคงเหมือน  
 กับเชื้อที่ไม่ได้อินคิวเบตกับไพรเมธาซีนทุกประการ (รูปที่ 11)

จากการทดลองอินคิวเบตเลือดติดเชื้อ พลาสโมเดียม ซาบอดี AS จำนวน  $7 \times 10^8$   
 เซลล์ (50 เปอร์เซ็นต์เม็ดเลือดแดงติดเชื้อ) กับ  $^{14}\text{C}$ -pyrimethamine ความเข้มข้นตั้งแต่  
 2-100 นาโนโมลาร์นาน 30 นาที ซึ่งแสดงผลในรูปที่ 12 จะเห็นได้ว่าอัตราการนำเข้าของ  
 $^{14}\text{C}$ -pyrimethamine จะเพิ่มขึ้นอย่างรวดเร็วในช่วงความเข้มข้นต่ำกว่า 20 นาโนโมลาร์  
 และจะลดต่ำลงเมื่อเพิ่มความเข้มข้นของ  $^{14}\text{C}$ -pyrimethamine จนถึง 100 นาโนโมลาร์  
 ดังนั้นการทดลองเพื่อศึกษาจลนศาสตร์การนำ  $^{14}\text{C}$ -pyrimethamine เข้าสู่เซลล์ในการวิจัยนี้  
 จึงจะทำการศึกษาในช่วงความเข้มข้นระหว่าง 2-30 นาโนโมลาร์เป็นหลัก

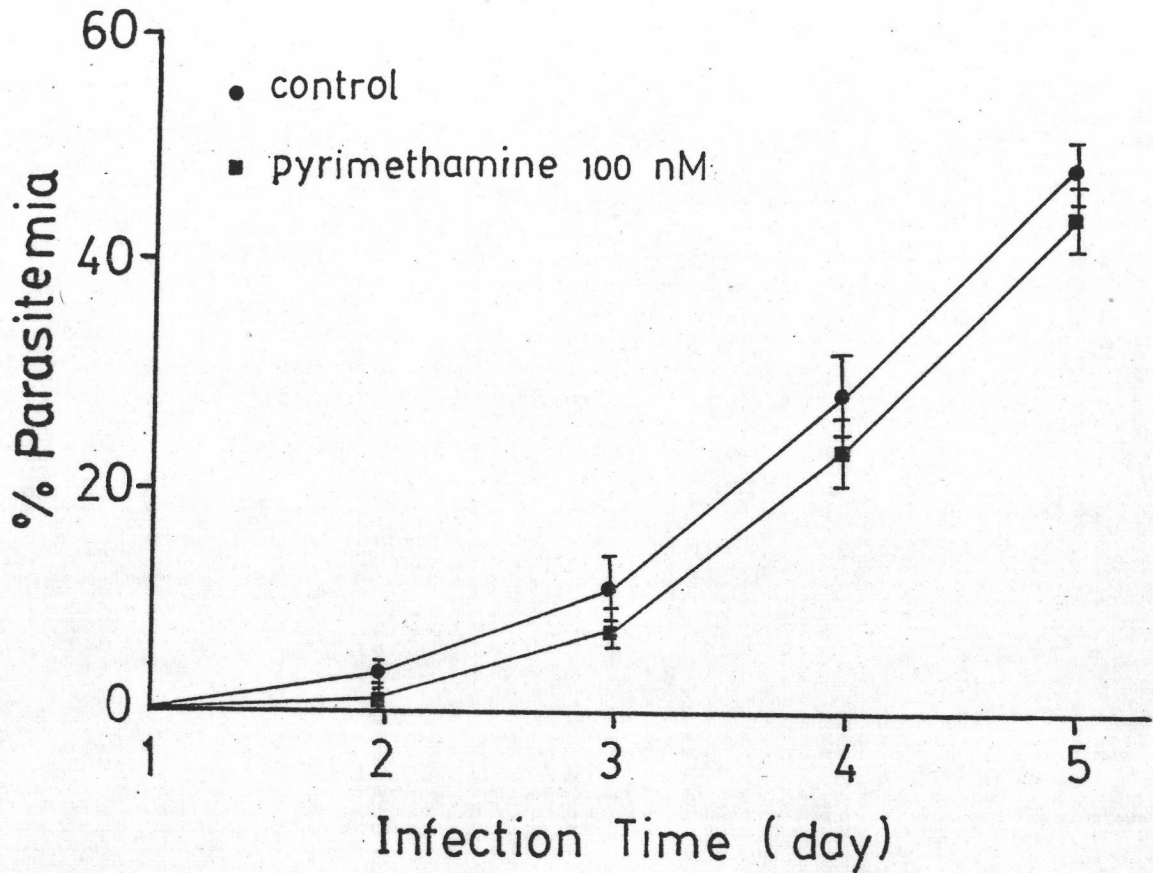
#### 4.4 ผลการศึกษาสภาวะที่เหมาะสมสำหรับการนำเข้าของ $^{14}\text{C}$ -pyrimethamine

##### 4.4.1 ผลของการปั่นล้างเซลล์ต่อการนำเข้าของ $^{14}\text{C}$ -pyrimethamine

เมื่ออินคิวเบตเลือดติดเชื้อ พลาสโมเดียม ซาบอดี AS จำนวน  $7 \times 10^8$  เซลล์  
 (50 เปอร์เซ็นต์เม็ดเลือดแดงติดเชื้อ) กับ  $^{14}\text{C}$ -pyrimethamine 30 นาโนโมลาร์เป็นเวลา  
 30 นาที นำเซลล์ที่ได้มาปั่นล้างด้วย 0.85 เปอร์เซ็นต์โซเดียมคลอไรด์ ครั้งละ 1 มิลลิลิตร  
 วัตรระดับของ  $^{14}\text{C}$ -pyrimethamine ที่คงเหลืออยู่ในเซลล์โดยการสกัดตามวิธีข้อ 3.8.2.1 ทุก  
 ครั้ง จำนวนทั้งสิ้น 5 ครั้ง เปรียบเทียบเปอร์เซ็นต์ของค่ากัมมันตรังสีที่วัดได้โดยคิดเป็นเปอร์-  
 เซนต์ของค่าซึ่งวัดได้จากเซลล์ซึ่งอินคิวเบตกับ  $^{14}\text{C}$ -pyrimethamine ในสภาวะเดียวกันโดย  
 ไม่ผ่านการล้างเซลล์เลย พบว่าระดับของ  $^{14}\text{C}$ -pyrimethamine ที่วัดได้จะลดลงมากที่สุด  
 ถึง 40 เปอร์เซ็นต์ เมื่อล้างเซลล์เพียง 1 ครั้ง แต่จะต่ำลงอีกประมาณ 20 เปอร์เซ็นต์เมื่อ  
 ปั่นล้างครั้งที่สอง หลังจากนั้นระดับ  $^{14}\text{C}$ -pyrimethamine ที่วัดได้ในเซลล์จะคงที่ (รูปที่ 13 ก.)

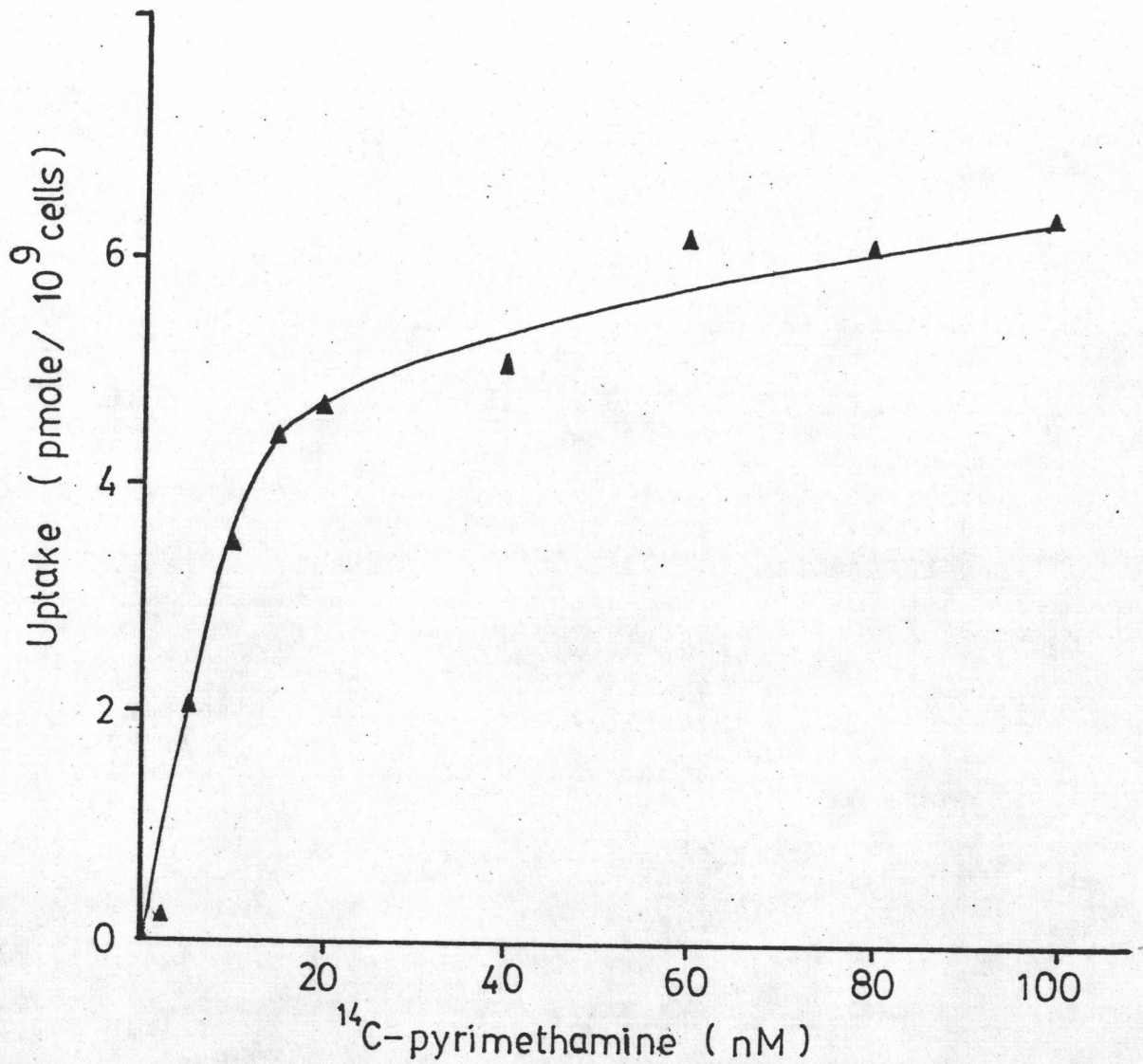
##### 4.4.2 ผลของความหนาแน่นของเซลล์ต่อการนำเข้าของ $^{14}\text{C}$ -pyrimethamine

จากการศึกษาการนำ  $^{14}\text{C}$ -pyrimethamine 30 นาโนโมลาร์เข้าสู่เซลล์โดยใช้  
 เลือดติดเชื้อ พลาสโมเดียม ซาบอดี AS (50 เปอร์เซ็นต์เม็ดเลือดแดงติดเชื้อ) ด้วยความ  
 หนาแน่นของเซลล์คิดเป็นจำนวนเซลล์ทั้งหมดต่อมิลลิลิตรมีเดิมต่าง ๆ กัน (รูปที่ 13 ข.)



รูปที่ 11.

รูปแบบการเจริญของ *P. chabaudi* AS ในเม็ดเลือดแดงหนูไมซ์ เมื่ออินคิวเบตเลือดติดเชื้อ (50 % parasitemia)  $7 \times 10^8$  เซลล์กับไพริเมธาซีน 100 นาโนโมลาร์ในสภาวะ *in vitro* นาน 30 นาที ทำการทดลองตามวิธีทดลองข้อ 3.8.1 แล้วฉีดกลับเข้าหนูปกติ (ข้อ 3.3) เปรียบเทียบรูปแบบการเจริญเติบโตกับหนูกลุ่มควบคุม ซึ่งฉีดด้วยเลือดติดเชื้อชนิดเดียวกันปริมาณเท่ากัน แต่ไม่ได้อินคิวเบตกับไพริเมธาซีน



รูปที่ 12.

รูปแบบการนำเข้าของ  $^{14}\text{C}$ -pyrimethamine ในเซลล์เม็ดเลือดแดงติดเชื้อ *P. chabaudi* AS ทำการทดลองตามวิธีทดลองข้อ 3.8.1 โดยอินคิวเบตเลือดติดเชื้อ (50% parasitemia)  $7 \times 10^8$  เซลล์กับ  $^{14}\text{C}$ -pyrimethamine ความเข้มข้นต่าง ๆ กันตั้งแต่ 2-100 นาโนโมลาร์ นับปริมาณกัมมันตรังสีที่ถูกนำเข้าสู่เซลล์ตามวิธีทดลองข้อ 3.8.2.2

ปรากฏว่า เมื่อเซลล์หนาแน่น  $1.5 \times 10^8 - 3.0 \times 10^8$  เซลล์ต่อมิลลิลิตร การนำ  $^{14}\text{C}$ -pyrimethamine เข้าสู่เซลล์เม็ดเลือดแดงติดเชื้อจะมีค่าใกล้เคียงกันคือประมาณ 7.6 พิโคโมลต่อ  $10^9$  เซลล์ แต่ถ้าความหนาแน่นมากขึ้นกว่านี้จะมีผลกระทบต่อการนำเข้าสู่ของ  $^{14}\text{C}$ -pyrimethamine โดยค่านำเข้าสู่จะลดลงเหลือเพียง 4.0 พิโคโมลต่อ  $10^9$  เซลล์ เมื่อใช้เซลล์  $12 \times 10^8$  เซลล์ต่อมิลลิลิตรมีเดีย

#### 4.4.3 ผลการศึกษาเวลาที่เหมาะสมต่อการนำเข้าสู่ของ $^{14}\text{C}$ -pyrimethamine

ทำการทดลองเปรียบเทียบการนำเข้าสู่ที่เวลาต่าง ๆ กันของการอินคิวเบตตั้งแต่ 1-30 นาที เมื่อใช้เลือดติดเชื้อและไม่ติดเชื้อ ( $5.5 \times 10^8$  เซลล์ ; 50 เปอร์เซ็นต์เม็ดเลือดแดงติดเชื้อ) ในลักษณะเดียวกับข้อ 4.3 โดยใช้  $^{14}\text{C}$ -pyrimethamine 30 นาโนโมลาร์ ผลปรากฏว่า  $^{14}\text{C}$ -pyrimethamine จะถูกนำเข้าสู่เซลล์เม็ดเลือดแดงปกติและเม็ดเลือดแดงติดเชื้อโคลน AS ได้อิมตัวภายในเวลา 2 นาทีแรก และคงที่ไปตลอด 30 นาที (รูปที่ 13 ค.) ในขณะที่เม็ดเลือดแดงติดเชื้อพลาสโมเดียม سابอดี AS (Pr<sub>1</sub>) ระดับกัมมันตรังสีในเซลล์ภายหลังอินคิวเบตกับ  $^{14}\text{C}$ -pyrimethamine นาน 2 นาที จะมีค่าใกล้เคียงกับเม็ดเลือดแดงปกติ หลังจากนั้นจะเพิ่มขึ้นเรื่อย ๆ จนถึงนาทีที่ 6 จึงมีค่าอิมตัว แต่เมื่อเปรียบเทียบปริมาณนำเข้าสู่ของ  $^{14}\text{C}$ -pyrimethamine ต่อ  $10^9$  เซลล์ในเม็ดเลือดแดงติดเชื้อโคลน AS, AS (Pr<sub>1</sub>) และเม็ดเลือดแดงปกติ จะให้ความแตกต่างอย่างชัดเจน โดยเม็ดเลือดแดงติดเชื้อโคลน AS จะมีปริมาณนำเข้าสู่ที่ต่ำกว่าอิมตัวสูงกว่าเม็ดเลือดแดงปกติ และเม็ดเลือดแดงติดเชื้อ พลาสโมเดียม سابอดี AS (Pr<sub>1</sub>)

#### 4.5 ผลการศึกษาความเชื่อถือได้ของวิธีการสกัด $^{14}\text{C}$ -pyrimethamine ออกจากเซลล์

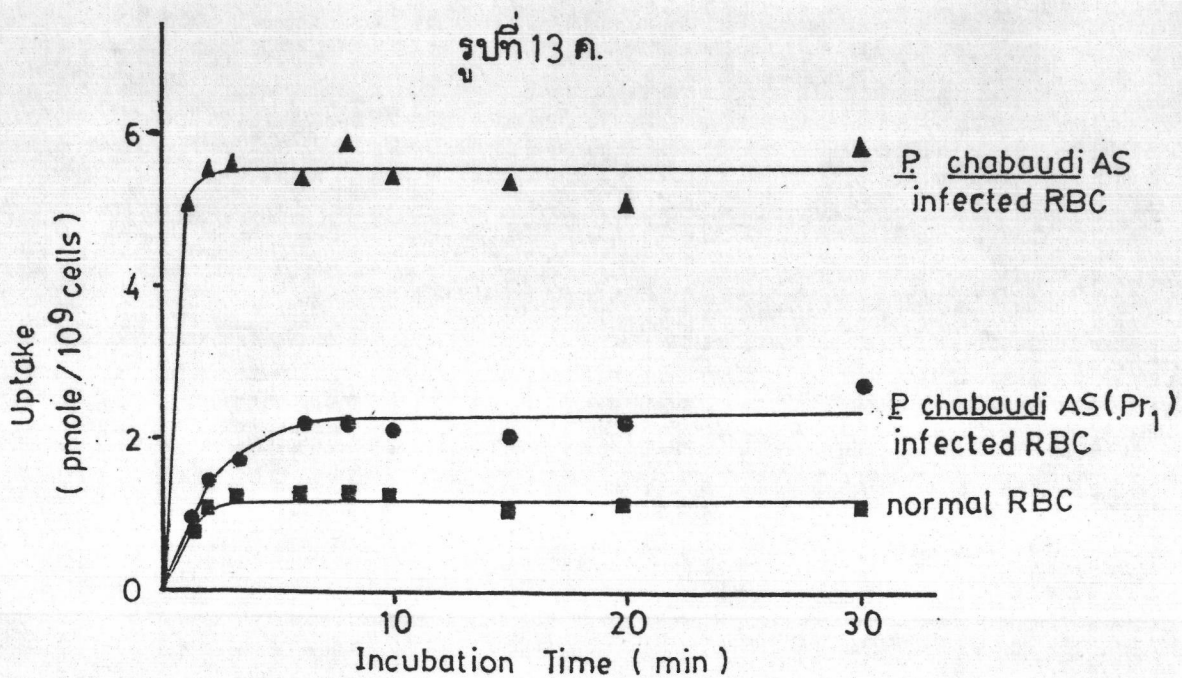
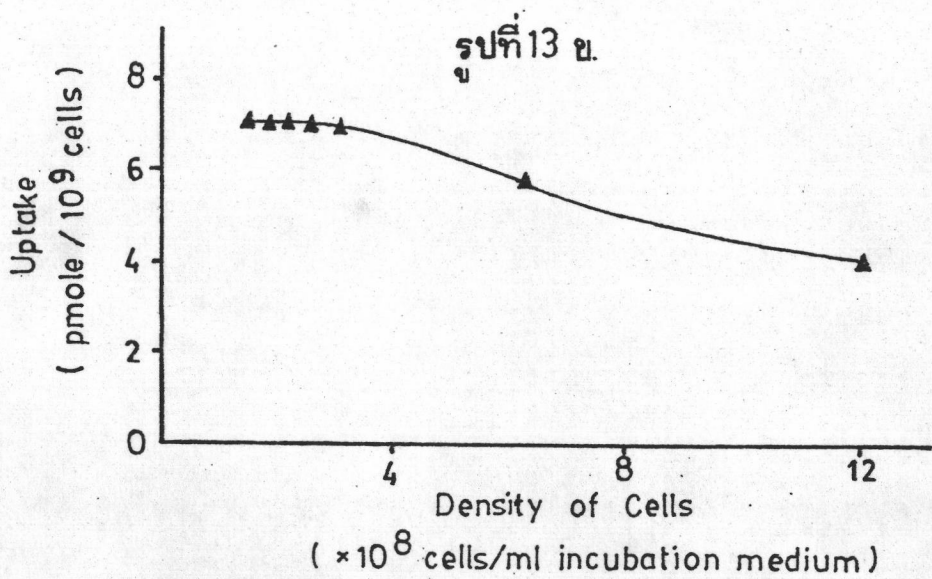
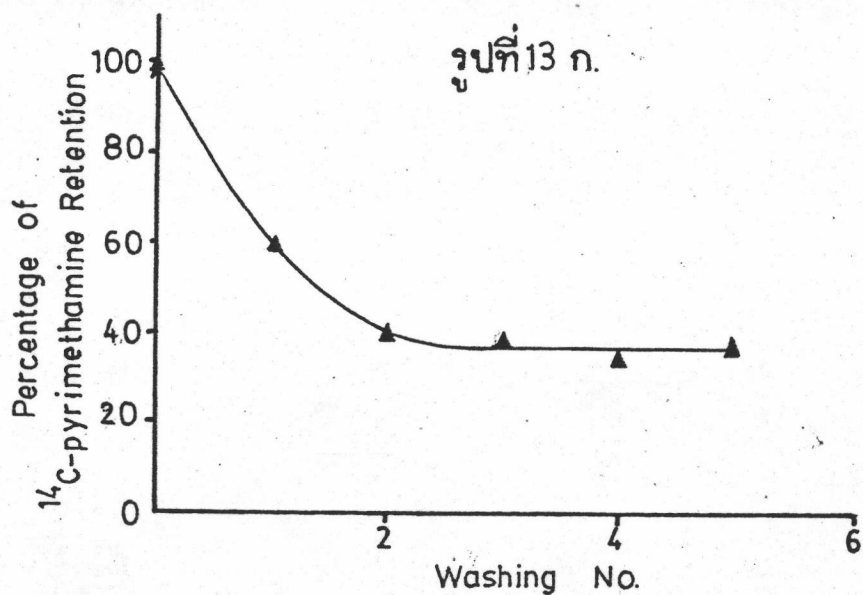
จากการศึกษาเปรียบเทียบ % recovery ของวิธีการสกัด  $^{14}\text{C}$ -pyrimethamine ออกจากเซลล์เม็ดเลือดแดงตามผลการทดลองรูปที่ 15 ก. แสดงให้เห็นว่าเมื่อเติม  $^{14}\text{C}$ -pyrimethamine ปริมาณ 0.78 - 6.72 พิโคโมลให้แก่เซลล์เม็ดเลือดแดงปกติ จำนวน  $5.5 \times 10^8$  เซลล์ อินคิวเบตที่อุณหภูมิ 37 องศาเซลเซียสนาน 15 นาที (ซึ่งเป็นสภาวะการทดลองนำเข้าสู่) แล้วสกัดด้วย 95 เปอร์เซ็นต์ เอทานอลตามวิธีข้อ 3.8.2.2 พบว่าให้ % recovery สูงถึงประมาณ 100 เปอร์เซ็นต์ที่ทุก ๆ ค่ากัมมันตรังสี ซึ่งมากกว่าวิธีการสกัดด้วย 0.5 เปอร์เซ็นต์ กรดแลคติกกับ 5 เปอร์เซ็นต์กรดไตรคลอโรอะซิติกตามวิธีข้อ 3.8.2.1 ประมาณเกือบ 2 เท่า

รูปที่ 13. ผลการศึกษาสภาวะที่เหมาะสมสำหรับการนำเข้าสู่ของ  $^{14}\text{C}$ -pyrimethamine  
รูปที่ 13 ก. ผลของจำนวนครั้งของการปั่นล้างเซลล์ : ทำการทดลองตามวิธี  
ข้อ 3.8.1 โดยอินคิวเบตเลือดติดเชื้อ P.chabaudi AS (50 % para-  
sitemia)  $7 \times 10^8$  เซลล์กับ  $^{14}\text{C}$ -pyrimethamine ความเข้มข้น  
30 นาโนโมลาร์ในพีทช์ มีเดียเป็นเวลา 30 นาที แล้วปั่นล้างเซลล์ด้วย  
จำนวนครั้งตั้งแต่ 1-5 ครั้ง

รูปที่ 13 ข. ผลของความหนาแน่นของเซลล์ : ทำการทดลองตามวิธีข้อ  
3.8.1 โดยอินคิวเบตเลือดติดเชื้อ P.chabaudi AS (50 % parasitemia)  
จำนวนตั้งแต่  $3 \times 10^8$  -  $24 \times 10^8$  เซลล์กับ  $^{14}\text{C}$ -pyrimethamine  
ความเข้มข้น 30 นาโนโมลาร์ในพีทช์มีเดียเป็นเวลา 30 นาที

รูปที่ 13 ค. ผลการหาเวลาที่เหมาะสม: ทำการทดลองตามวิธีข้อ 3.8.1  
โดยอินคิวเบตเลือดปกติหรือเลือดติดเชื้อ P.chabaudi (50 % parasite-  
mia)  $5.5 \times 10^8$  เซลล์กับ  $^{14}\text{C}$ -pyrimethamine ความเข้มข้น 30  
นาโนโมลาร์ในพีทช์มีเดีย เป็นเวลาต่าง ๆ กันตั้งแต่ 1-30 นาที

นับปริมาณกัมมันตรังสีที่ถูกนำเข้าสู่เซลล์ตามวิธีทดลองข้อ 3.8.2.1



ผลการทดสอบความแม่นยำ (precision) ของวิธีการสกัด  $^{14}\text{C}$ -pyrimethamine ออกจากเซลล์เม็ดเลือดแดง จากการเติม  $^{14}\text{C}$ -pyrimethamine 0.78 พิโคโมลและ 2.0 พิโคโมล ให้แก่เซลล์เม็ดเลือดแดงปกติ  $5.5 \times 10^8$  เซลล์ แล้ววัดเปรียบเทียบปริมาณ  $^{14}\text{C}$ -pyrimethamine จากการสกัดทั้ง 2 วิธีที่แต่ละค่ากัมมันตรังสีภายในการทดลองเดียวกัน (10 ครั้ง) ผลในตารางที่ 2 และ 3 จะเห็นได้ว่า สัมประสิทธิ์ของความแปรปรวนเมื่อสกัดด้วย 95 เปอร์เซ็นต์เอทานอลจะมีค่าคงที่ประมาณ 6 เปอร์เซ็นต์ที่ปริมาณกัมมันตรังสีต่างกันข้างต้น ส่วนการสกัดโดยใช้กรดแลคติกกับกรดไทรโคลอโรอะซิติก สัมประสิทธิ์ของความแปรปรวนจะเพิ่มขึ้นจาก 5.3 เปอร์เซ็นต์เป็น 11.5 เปอร์เซ็นต์ เมื่อเพิ่มปริมาณกัมมันตรังสีให้แก่เซลล์

และเมื่อนำวิธีการสกัดทั้งสองมาศึกษาเปรียบเทียบปริมาณการนำ  $^{14}\text{C}$ -pyrimethamine (2-30 นาโนโมลาร์) เข้าสู่เม็ดเลือดแดงปกติ และเม็ดเลือดแดงติดเชื้อ พลาสโมเดียม ซาบอดี AS และ AS ( $\text{Pr}_1$ ) จะเห็นได้ว่า (รูปที่ 14 ข.) ค่าที่วัดได้เมื่อสกัดด้วยกรดแลคติกกับกรดไทรโคลอโรอะซิติกจะน้อยกว่าค่าจากการสกัดด้วยเอทานอลประมาณ 2 เท่าที่ทุก ๆ ความเข้มข้นของ  $^{14}\text{C}$ -pyrimethamine

การทดลองในการวิจัยเพื่อศึกษาการนำเข้าของ  $^{14}\text{C}$ -pyrimethamine ตั้งแต่ไปจนถึงเอทานอลสกัด  $^{14}\text{C}$ -pyrimethamine ออกจากเซลล์แทนการใช้กรดแลคติกกับกรดไทรโคลอโรอะซิติก

#### 4.6 ผลการศึกษาชนิดของมีเดียมที่เหมาะสมต่อการนำเข้าของ $^{14}\text{C}$ -pyrimethamine

เมื่ออินคิวเบตเลือดติดเชื้อ พลาสโมเดียม ซาบอดี AS จำนวน  $5.5 \times 10^8$  เซลล์ (50 เปอร์เซ็นต์เม็ดเลือดแดงติดเชื้อ) ที่อุณหภูมิ 37 องศาเซลเซียสนาน 15 นาที ในพีทช์มีเดียม ซึ่งมีโพธิเมธาโมลีนความเข้มข้นต่าง ๆ กันตั้งแต่ 2-30 นาโนโมลาร์ (รูปที่ 15) พบว่า pH ของมีเดียมจะลดลงจาก 7.40 เหลือประมาณ 7.30 แต่เมื่อทำการทดลองแบบเดียวกันในอีพัลป์เฟอร์ซาลีน pH 7.4 ซึ่งมีกลูโคสเป็นองค์ประกอบเท่ากับพีทช์มีเดียมคือ 86 มิลลิโมลาร์ ปรากฏว่า pH ของบัฟเฟอร์ซาลีนหลังการอินคิวเบตเซลล์เกือบไม่มีการเปลี่ยนแปลงเลย (ประมาณ 0.02 หน่วย pH) ที่ทุก ๆ ความเข้มข้นของโพธิเมธาโมลีน



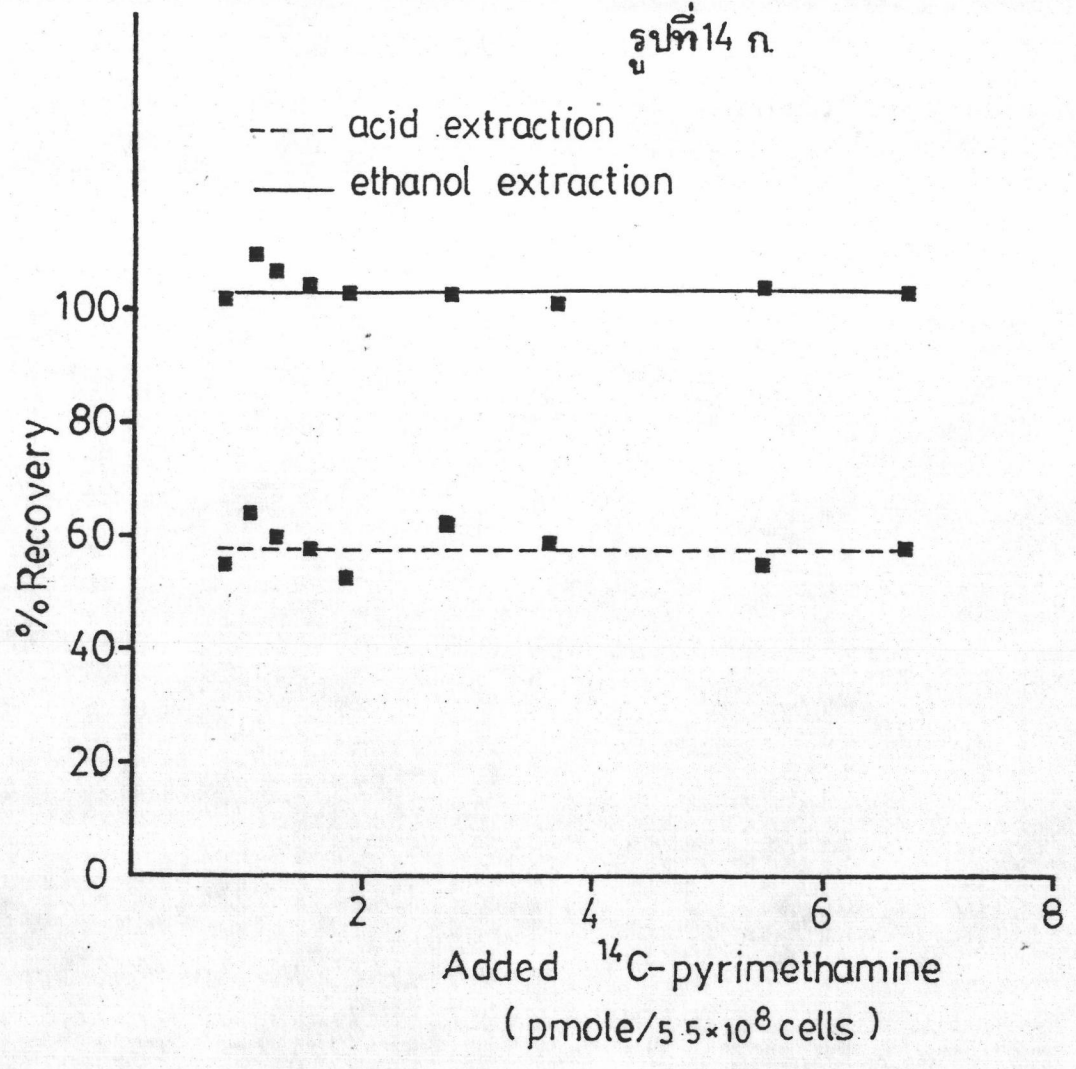
รูปที่ 14. เปรียบเทียบวิธีการสกัด  $^{14}\text{C}$ -pyrimethamine ออกจากเซลล์ด้วย 95 เปอร์เซ็นต์ เอทานอล (ข้อ 3.8.2.2) และการสกัดด้วย 0.5 เปอร์เซ็นต์กรดแลคติกกับ 5 เปอร์เซ็นต์กรดไตรคลอโรอะซิติก (Ploydanai, 1982) (ข้อ 3.8.2.1)

รูปที่ 14 ก. เปรียบเทียบ % recovery ของค่าที่วัดได้จากการสกัด

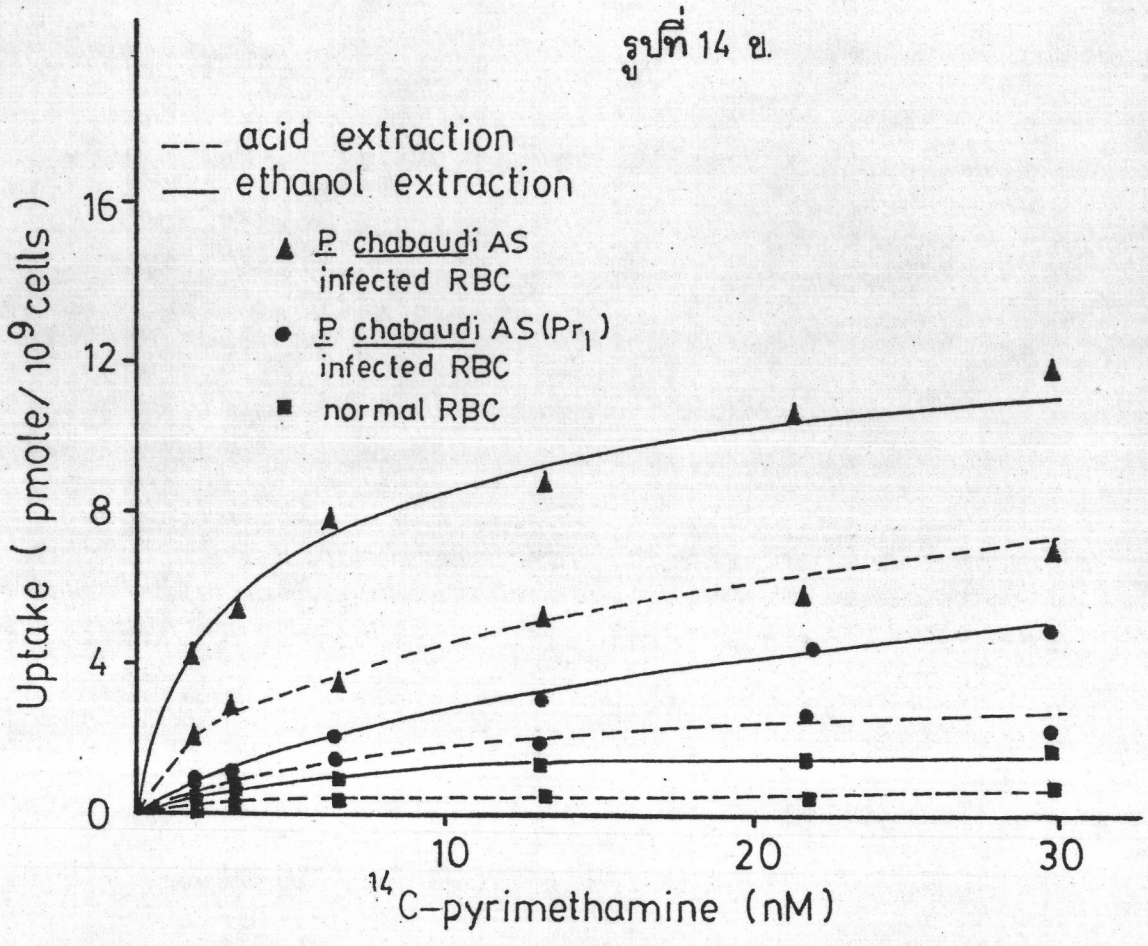
$^{14}\text{C}$ -pyrimethamine ออกจากเซลล์เม็ดเลือดแดงปกติ

รูปที่ 14 ข. เปรียบเทียบการนำเข้าของ  $^{14}\text{C}$ -pyrimethamine ในเซลล์เม็ดเลือดแดงปกติ และเซลล์เม็ดเลือดแดงติดเชื้อ P.chabaudi ทำการทดลองตามวิธีทดลองข้อ 3.8.1

รูปที่ 14 ก.



รูปที่ 14 ข.



ตารางที่ 2. แสดงความแม่นยำ (แบบ within assay) ของการวัดปริมาณ  $^{14}\text{C}$ -pyrimethamine ซึ่งสกัดออกจากเซลล์เม็ดเลือดแดง ปกติด้วย 95 เปอร์เซ็นต์เอทานอล<sup>(1)</sup>

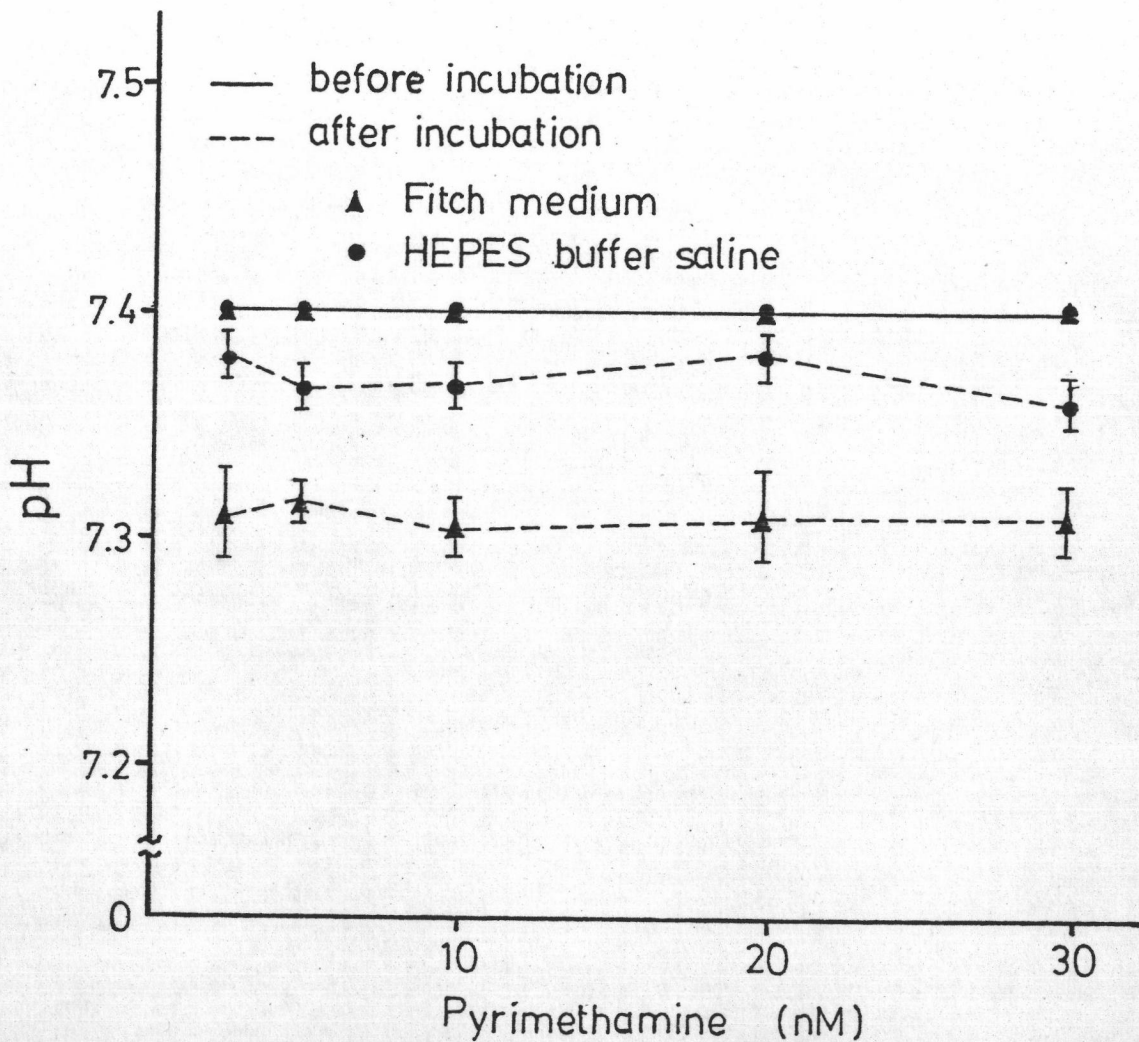
Statistic of <sup>(2)</sup> Measured $^{14}\text{C}$ -pyrimethamine	Amount of $^{14}\text{C}$ -pyrimethamine Added ( pmole / $5.5 \times 10^8$ cells )	
	0.78	2.00
$\bar{X}$ (n=10)	0.81	1.98
S.D.	0.05	0.12
%C.V.	6.17	6.06

ตารางที่ 3. แสดงความแม่นยำ (แบบ within assay) ของการวัดปริมาณ  $^{14}\text{C}$ -pyrimethamine ซึ่งสกัดออกจากเซลล์เม็ดเลือดแดง ปกติด้วย 0.5 เปอร์เซ็นต์กรดแลคติกกับ 5 เปอร์เซ็นต์กรดไตรคลอโรอะซิติก<sup>(1)</sup>

Statistic of <sup>(2)</sup> Measured $^{14}\text{C}$ -pyrimethamine	Amount of $^{14}\text{C}$ -pyrimethamine Added ( pmole / $5.5 \times 10^8$ cells )	
	0.78	2.00
$\bar{X}$ (n=10)	0.38	0.78
S.D.	0.02	0.09
% C.V.	5.33	11.53

(1) รายละเอียดระบุในวิธีทดลองข้อ 3.8.3.2

(2) pmole /  $5.5 \times 10^8$  cells



รูปที่ 15.

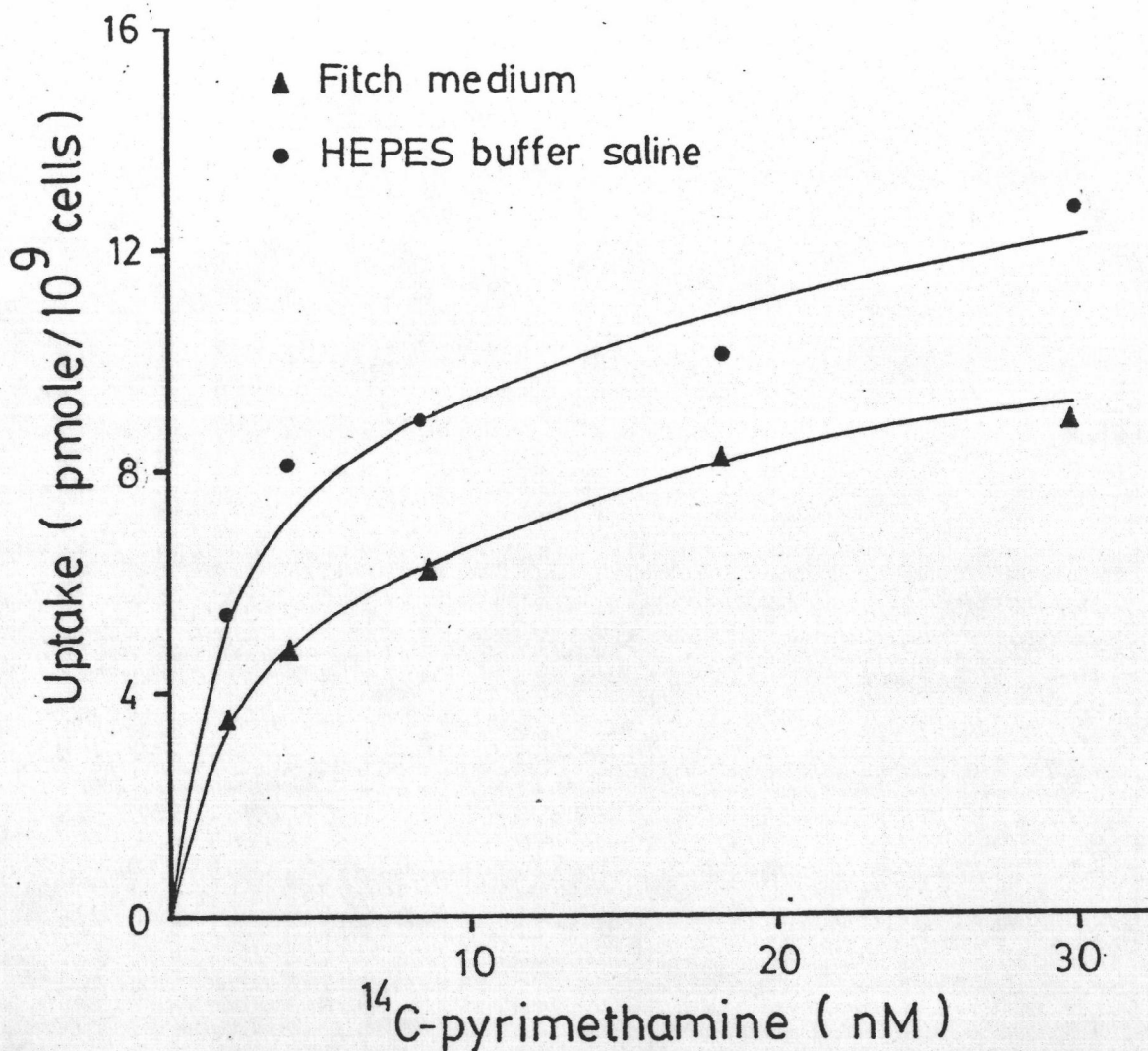
เปรียบเทียบความสามารถในการรักษาระดับ pH ในระหว่างทำการทดลองการนำเข้า  $^{14}$ C-pyrimethamine ของฟิชช์-มีเดียและ 20 มิลลิโมลาร์ฮีฟบัฟเฟอร์ซาลีน pH 7.4 (86 มิลลิโมลาร์กลูโคส) เมื่ออินคิวเบตเลือดติดเชื้อ *P. chabaudi* AS (50% parasitemia) กับไพริเมตามีนความเข้มข้นต่างๆกันตั้งแต่ 2-30 นาโนโมลาร์ ตามวิธีทดลองข้อ 3.8.1

นอกจากนี้เมื่อได้ทำการทดลองเปรียบเทียบค่าการนำเข้าของ  $^{14}\text{C}$ -pyrimethamine (2-30 นาโนโมลาร์) ในเซลล์เม็ดเลือดแดงติดเชื้อ พลาสโมเดียม ซาบอดี AS ระหว่างการใช้ฟิซิมิเดียมและอีฟัลบัพเฟอร์ซาลิน pH 7.4 (86 มิลลิโมลาร์กลูโคส) ปรากฏว่าเมื่อใช้อีฟัลบัพเฟอร์ซาลิน pH 7.4 เป็นมีเดียสำหรับการศึกษาการทดลองนำเข้าจะให้ผลการนำเข้าสูงกว่าการใช้ฟิซิมิเดียม (รูปที่ 16) ผลการทดลองในรูปที่ 17 แสดงให้เห็นอีกว่า ไม่มีความแตกต่างของปริมาณการนำเข้าของ  $^{14}\text{C}$ -pyrimethamine เมื่อทำการศึกษาในอีฟัลบัพเฟอร์ซาลิน pH 7.4 เปรียบเทียบกับอีฟัลบัพเฟอร์ซาลิน pH 7.4 ซึ่งมีแมกนีเซียมซัลเฟต 1.2 มิลลิโมลาร์ (เท่ากับในฟิซิมิเดียม) และอีฟัลบัพเฟอร์ซาลิน pH 7.4 ซึ่งใช้โบแตลเซียมคลอไรด์แทนโซเดียมคลอไรด์

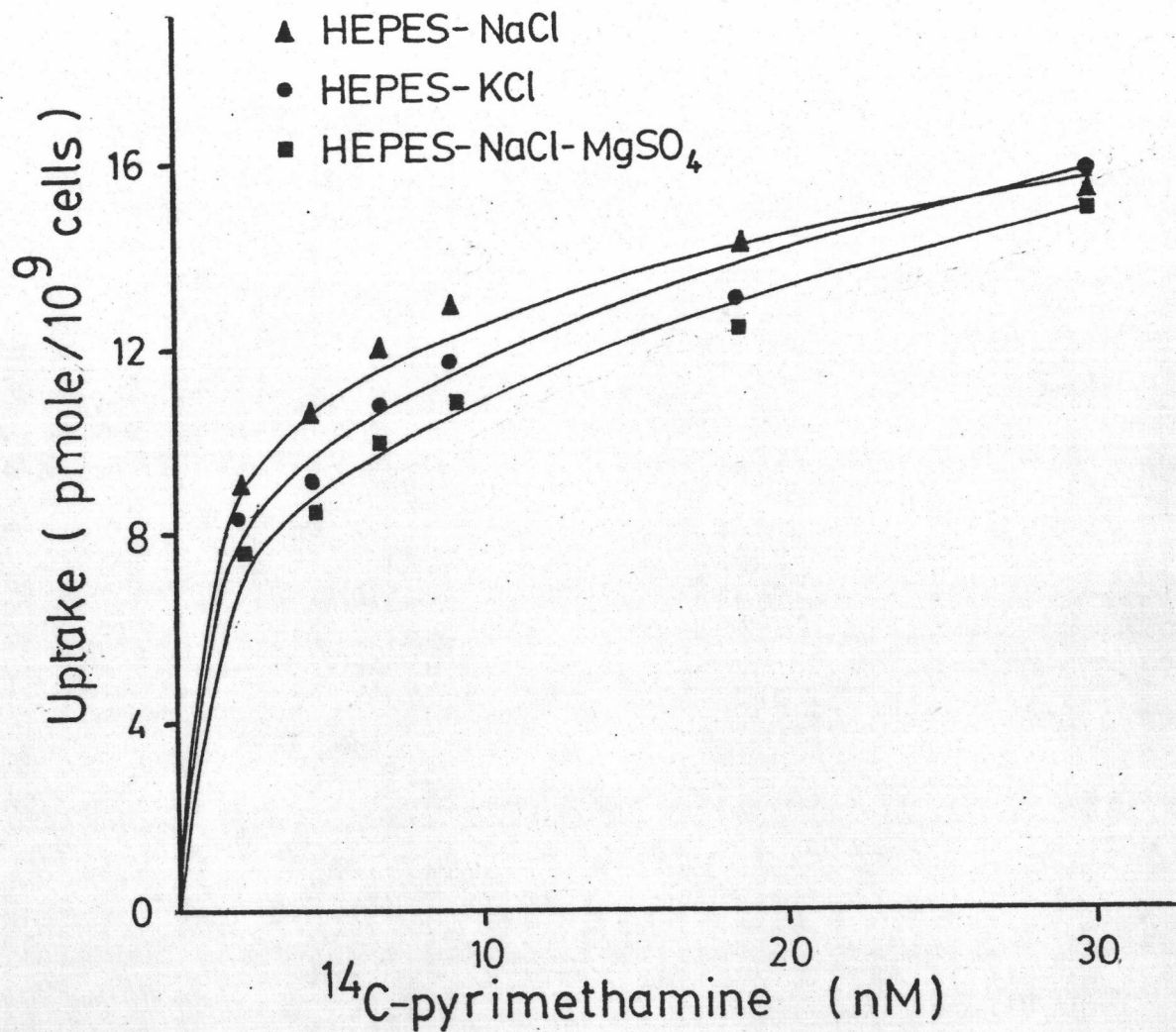
ในการศึกษาทดลองต่อ ๆ ไปของงานวิจัยนี้จึงใช้อีฟัลบัพเฟอร์ซาลิน pH 7.4 เป็นมีเดียสำหรับศึกษาการนำเข้าของ  $^{14}\text{C}$ -pyrimethamine

#### 4.7 ผลกระทบของลักษณะการติดเชื้อต่อการนำเข้าของ $^{14}\text{C}$ -pyrimethamine

ในการวิจัยได้ติดตามศึกษาและสังเกตลักษณะการติดเชื้อของเม็ดเลือดแดงโดยใช้กล้องจุลทรรศน์ (ข้อ 3.4) ควบคู่ไปกับการศึกษาการนำเข้าของ  $^{14}\text{C}$ -pyrimethamine ผลในตารางที่ 4 แสดงถึงค่าการเปรียบเทียบปริมาณการนำเข้าของ  $^{14}\text{C}$ -pyrimethamine (ที่ความเข้มข้น 30 นาโนโมลาร์) ในเซลล์เม็ดเลือดแดงติดเชื้อ พลาสโมเดียม ซาบอดี AS ภายใต้สภาวะมาตรฐานการทดลองนำเข้าตามวิธีทดลองข้อ 3.8.1 โดยอินทิวเบตเลือดติดเชื้อ  $5.5 \times 10^8$  เซลล์ กับ  $^{14}\text{C}$ -pyrimethamine ในอีฟัลบัพเฟอร์ซาลิน pH 7.4 (86 มิลลิโมลาร์กลูโคส) ที่อุณหภูมิ 37 องศาเซลเซียสเป็นเวลา 15 นาที แล้วสกัดด้วยเอทธานอลตามวิธีข้อ 3.8.2.2 โดยใช้เลือดติดเชื้อซึ่งมีเปอร์เซ็นต์เม็ดเลือดแดงติดเชื้อตั้งแต่ 44.5 - 58.2 เปอร์เซ็นต์ แต่มีลักษณะการติดเชื้อแบบ multi-infection แตกต่างกันไป จะเห็นได้ว่าการติดเชื้อแบบ multi-infection เฉพาะอย่างยิ่งที่องค์ค่าสูงกว่า double-infection จะมีผลต่อปริมาณ  $^{14}\text{C}$ -pyrimethamine ที่นำเข้าเซลล์ สังเกตได้จากการนำเข้าของเลือดติดเชื้อที่มีเปอร์เซ็นต์ของเม็ดเลือดแดงติดเชื้อใกล้เคียงกัน เช่นที่ 54.6, 55.5 และ 58.2 เปอร์เซ็นต์ จะให้ค่าการนำเข้าของ  $^{14}\text{C}$ -pyrimethamine ในเม็ดเลือดแดงติดเชื้อต่างกันอย่างชัดเจนคือ 14.54, 9.06 และ 12.15 พิโคโมลต่อ  $10^9$  เซลล์ในเมื่อค่าเปอร์เซ็นต์ double-infection



รูปที่ 16. เปรียบเทียบการนำเข้าของ  $^{14}\text{C}$ -pyrimethamine ในเซลล์เม็ดเลือดแดงติดเชื้อ *P. chabaudi* AS ในฟิทช์มีเดียและซีพส์บัฟเฟอร์ซาลีน (86 มิลลิโมลาร์กลูโคส) : อินคิวเบตเลือดติดเชื้อ (50% parasitemia) กับ  $^{14}\text{C}$ -pyrimethamine ตามวิธีทดลองข้อ 3.8.1 นับปริมาณกัมมันตรังสีที่ถูกนำเข้าสู่เซลล์ตามวิธีทดลองข้อ 3.8.2:2



รูปที่ 17. เปรียบเทียบการนำเข้าของ  $^{14}\text{C}$ -pyrimethamine ในเซลล์เม็ดเลือดแดงติดเชื้อ *P. chabaudi* AS ในอีพิลบัฟเฟอร์ (86 มิลลิโมลาร์กลูโคส) ซึ่งมีองค์ประกอบต่าง ๆ ดังนี้ :

- 145 มิลลิโมลาร์โซเดียมคลอไรด์ (บัฟเฟอร์ซาลิน)
- 140 มิลลิโมลาร์โปแตสเซียมคลอไรด์
- 145 มิลลิโมลาร์โซเดียมคลอไรด์ + 1.2 มิลลิโมลาร์แมกนีเซียมซัลเฟต

ทำการทดลองตามวิธีทดลองข้อ 3.8.1    นับปริมาณกัมมันตรังสีที่ถูกนำเข้าสู่เซลล์ตามวิธีทดลองข้อ 3.8.2.2

**ตารางที่ 4**

แสดงผลกระทบของลักษณะการติดเชื้อ *E. chabaudi* AS ต่อการนำเข้าของ <sup>14</sup>C-pyrimethamine: ทำการทดลองตามวิธีทดลองข้อ 3.8.1 โดยใช้เลือดติดเชื้อซึ่งมีเปอร์เซ็นต์เม็ดเลือดแดงติดเชื้อและลักษณะการติดเชื้อแบบ multi-infection ต่างๆกัน นับปริมาณกัมมันตรังสีที่ถูกนำเข้าสู่เซลล์ตามวิธีทดลองข้อ 3.8.2.2

% Parasitemia	% Multi-infection		Uptake* (pmole/10 <sup>9</sup> cells)
	Double-infection	Triple-infection	
44.5 ( 22.8 T + 21.7 S )	19.0	16.4	8.76
54.6 ( 24.6 T + 30.0 S )	29.8	32.3	14.54
55.5 ( 27.3 T + 28.2 S )	25.8	11.8	9.06
58.2 ( 29.0 T + 29.2 S )	30.5	27.1	12.15

T = trophozoite

S = shizont

\* value at <sup>14</sup>C-pyrimethamine 30 nM

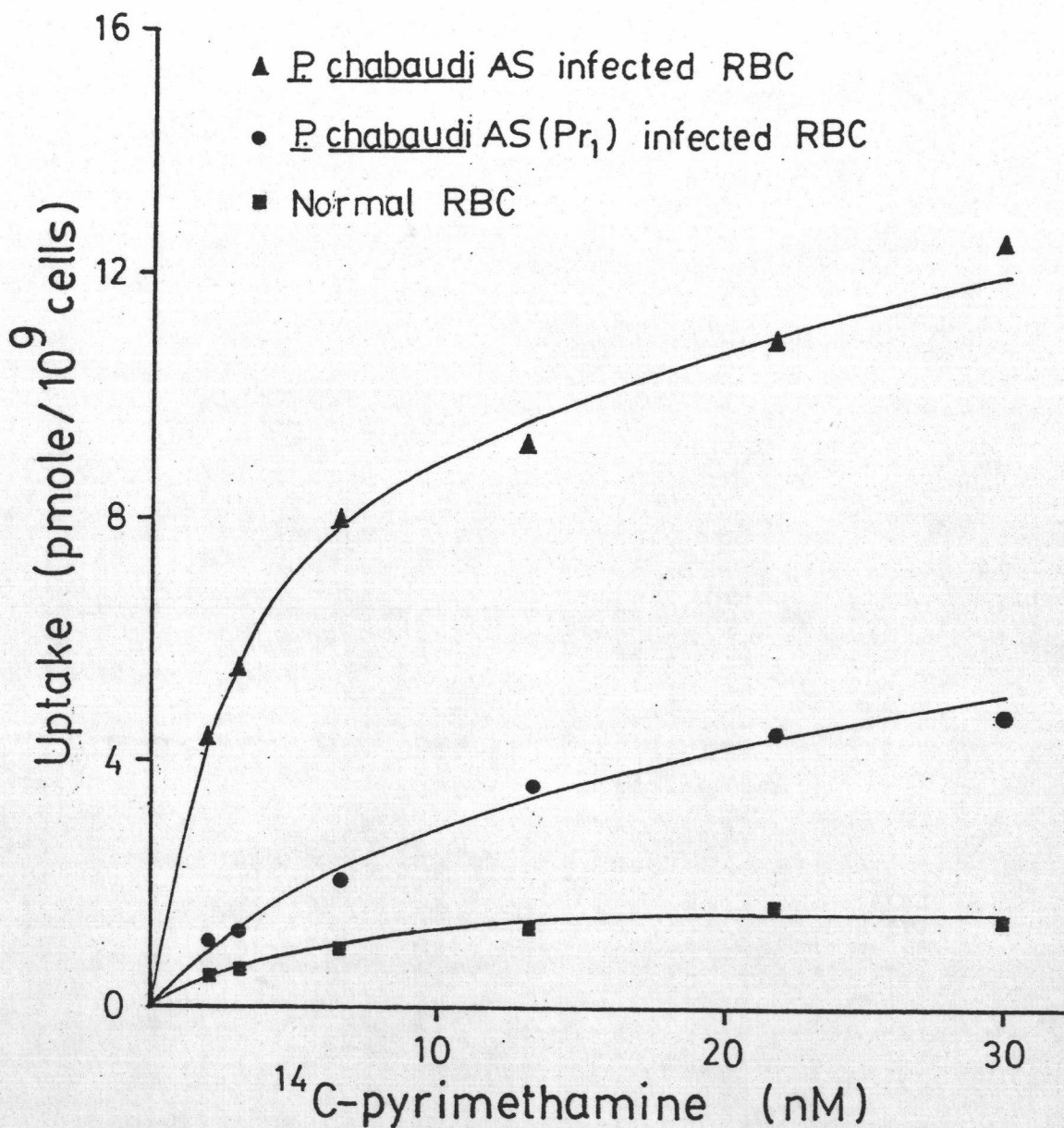


ไม่ต่างกันมากนัก แต่ค่าเปอร์เซ็นต์ triple-infection ต่างกันคือ 32.3, 11.8 และ 27.1 ตามลำดับ เช่นเดียวกับค่าการนำเข้าของ  $^{14}\text{C}$ -pyrimethamine ในเลือดติดเชื้อที่มีเปอร์เซ็นต์เม็ดเลือดแดงติดเชื้อ 44.5 เปอร์เซ็นต์ กับ 55.5 เปอร์เซ็นต์ จะมีค่าใกล้เคียงกัน เมื่อค่าเปอร์เซ็นต์ triple-infection ของเม็ดเลือดแดงติดเชื้อเป็น 16.4 และ 11.8 ตามลำดับ

4.8 ผลการเปรียบเทียบปริมาณการนำเข้าของ  $^{14}\text{C}$ -pyrimethamine ในเซลล์เม็ดเลือดแดงปกติและเม็ดเลือดแดงติดเชื้อ พลาสโมเดียม ซาบอดี

จากการศึกษาการนำเข้าของ  $^{14}\text{C}$ -pyrimethamine ในเซลล์เม็ดเลือดแดงปกติ และเซลล์เม็ดเลือดแดงติดเชื้อ พลาสโมเดียม ซาบอดี ที่สภาวะมาตรฐานการทดลองเช่นเดียวกับข้อ 4.7 พบว่า (รูปที่ 18) รูปแบบการนำเข้าของ  $^{14}\text{C}$ -pyrimethamine ในเซลล์เม็ดเลือดแดงติดเชื้อ พลาสโมเดียม ซาบอดี AS (ใช้เลือดที่มีเปอร์เซ็นต์เม็ดเลือดแดงติดเชื้อ 50 เปอร์เซ็นต์; ติดเชื้อแบบ double-infection 30.5 เปอร์เซ็นต์ และ triple-infection 27.1 เปอร์เซ็นต์) พอดีแบ่งได้เป็น 2 เฟส (phase) คือ เฟสแรกอัตราการนำเข้าจะเพิ่มขึ้นเร็วมากจนมีค่าประมาณ 8 พิโคโมลต่อ  $10^9$  เซลล์เมื่อใช้  $^{14}\text{C}$ -pyrimethamine ความเข้มข้น 6.5 นาโนโมลาร์ หลังจากนั้นจะเข้าสู่เฟสที่สอง ซึ่งอัตราการนำเข้าจะลดลง โดยค่าการนำเข้าที่  $^{14}\text{C}$ -pyrimethamine 30 นาโนโมลาร์ มีค่าเป็น 12.0 พิโคโมลต่อ  $10^9$  เซลล์

รูปแบบการนำเข้าในเซลล์เม็ดเลือดแดงติดเชื้อ พลาสโมเดียม ซาบอดี AS ( $\text{Pr}_1$ ) จะคล้ายคลึงกับเซลล์เม็ดเลือดแดงติดเชื้อ พลาสโมเดียม ซาบอดี AS แต่อัตราการนำเข้าของ  $^{14}\text{C}$ -pyrimethamine ในเฟสแรกและเฟสที่สองจะไม่แตกต่างกันมากนัก ผลการทดลองแสดงให้เห็นว่า เมื่อใช้เลือดติดเชื้อโคลน AS ( $\text{Pr}_1$ ) ซึ่งมีเปอร์เซ็นต์เม็ดเลือดแดงติดเชื้อ 50 เปอร์เซ็นต์ (ติดเชื้อแบบ double-infection 32.3 เปอร์เซ็นต์ และ triple-infection 29.8 เปอร์เซ็นต์) ปริมาณนำเข้าที่  $^{14}\text{C}$ -pyrimethamine 30 นาโนโมลาร์จะมีค่าเพียง 4.9 พิโคโมลต่อ  $10^9$  เซลล์ (น้อยกว่าเซลล์เม็ดเลือดแดงติดเชื้อโคลน AS ประมาณ 2.5 เท่า)



รูปที่ 18. เปรียบเทียบการนำเข้าของ <sup>14</sup>C-pyrimethamine ในเซลล์เม็ดเลือดแดงปกติ และเซลล์เม็ดเลือดแดงติดเชื้อ *P. chabaudi*. ทำการทดลองตามวิธีทดลองข้อ 3.8.1 นับปริมาณกัมมันตรังสีที่ถูกนำเข้าสู่เซลล์ตามวิธีทดลองข้อ 3.8.2.2

$^{14}\text{C}$ -pyrimethamine จะถูกนำเข้าสู่เซลล์เม็ดเลือดแดงปกติต่ำมาก (1:3 พิโคโมล ต่อ  $10^9$  เซลล์) และรูปแบบการนำเข้าสู่คล้ายคลึงกับเซลล์เม็ดเลือดแดงติดเชื้อ พลาสโมเดียม ซาบอดี AS ( $\text{Pr}_1$ ) มากกว่าเซลล์เม็ดเลือดแดงติดเชื้อ พลาสโมเดียม ซาบอดี AS แต่การนำเข้าสู่จะเริ่มคงที่เมื่อความเข้มข้นของ  $^{14}\text{C}$ -pyrimethamine ที่ใช้ประมาณ 10-15 นาโนโมลาร์

#### 4.9 ผลการวิเคราะห์ปริมาณฮีโมโกลบินในเลือดปกติและเลือดติดเชื้อพลาสโมเดียม ซาบอดี

เมื่อทำให้เซลล์เม็ดเลือดแดงในเลือดปกติ และเลือดติดเชื้อ พลาสโมเดียม ซาบอดี AS และ AS ( $\text{Pr}_1$ ) แยกตัวด้วยน้ำกลั่นแล้ววัดปริมาณฮีโมโกลบินที่ถูกปล่อยออกจากเซลล์ (ใช้กราฟมาตรฐานภาคผนวกที่ 3) ตามวิธีทดลองข้อ 3.9.2 ตารางที่ 5 แสดงให้เห็นว่าเลือดติดเชื้อ (ทั้ง 2 โคลน) ที่มีเปอร์เซ็นต์เม็ดเลือดแดงติดเชื้อและลักษณะการเกิด multi-infection ต่าง ๆ กัน (พิจารณาเฉพาะ double-infection และ triple-infection) จะมีปริมาณฮีโมโกลบินต่อ  $10^9$  เซลล์ใกล้เคียงกัน ซึ่งค่านี้ไม่แตกต่างอย่างมีนัยสำคัญกับค่าที่วัดได้ในเซลล์เม็ดเลือดแดงปกติ คือประมาณ  $23.41 \pm 0.3$  มิลลิกรัมต่อ  $10^9$  เซลล์ (สัมประสิทธิ์ของความแปรปรวนเท่ากับ 1.28 เปอร์เซ็นต์)

#### 4.10 ผลกระทบของอุณหภูมิต่อการนำเข้าสู่ของ $^{14}\text{C}$ -pyrimethamine และการแตกตัวของเซลล์เม็ดเลือดแดง ในเลือดปกติและเลือดติดเชื้อพลาสโมเดียม ซาบอดี

จากการศึกษาการนำเข้าสู่ของ  $^{14}\text{C}$ -pyrimethamine ที่อุณหภูมิต่าง ๆ กัน ตั้งแต่ 2-50 องศาเซลเซียส พบว่า (รูปที่ 19 ก.) ไม่สามารถสังเกตความแตกต่างของปริมาณการนำ  $^{14}\text{C}$ -pyrimethamine เข้าสู่เซลล์เม็ดเลือดแดงปกติที่อุณหภูมิ 2, 10, 37 และ 50 องศาเซลเซียส (ตลอดช่วงความเข้มข้น 2-30 นาโนโมลาร์) ผลกระทบของอุณหภูมิต่อการนำเข้าสู่ของ  $^{14}\text{C}$ -pyrimethamine เมื่อทดลองกับเซลล์เม็ดเลือดแดงติดเชื้อ พลาสโมเดียม ซาบอดี AS แสดงในรูปที่ 19 ค. จะเห็นได้ว่าค่าการนำเข้าสู่จะมากขึ้น เมื่อทำการทดลองที่อุณหภูมิ 50, 2, 10 และ 37 องศาเซลเซียสตามลำดับ ส่วนเม็ดเลือดแดงติดเชื้อโคลน AS ( $\text{Pr}_1$ ) จะนำเข้าสู่  $^{14}\text{C}$ -pyrimethamine มากที่สุดที่อุณหภูมิ 10 กับ 2 องศาเซลเซียส รองลงมาคือ 37 และ 50 องศาเซลเซียสตามลำดับ (รูปที่ 19 จ.)

ตารางที่ 5

แสดงผลการเปรียบเทียบปริมาณฮีโมโกลบินในเซลล์เม็ดเลือดแดงปกติและเม็ดเลือดติดเชื้อ *P. chabaudi* ซึ่งมีเปอร์เซ็นต์เม็ดเลือดแดงติดเชื้อ และลักษณะการติดเชื้อแบบ multi-infection ต่างกัน ทำการ-

ทดลองตามวิธีทดลองข้อ 3.9.2

	% Parasitemia	% Multi-infection		Hemoglobin (mg/10 <sup>9</sup> total cells)
		Double-infection	Triple-infection	
NC	—	—	—	23.70
NC	—	—	—	23.85
SB	56.8	27.6	23.6	23.45
SB	52.3	30.5	13.5	23.10
RB	45.5	25.2	12.5	23.30
RB	53.3	33.5	17.0	23.08

NC = normal red blood cell

SB = *P. chabaudi* AS infected blood

RB = *P. chabaudi* AS (Pr<sub>1</sub>) infected blood

สำหรับผลของอุณหภูมิต่อการแตกตัวของเซลล์เม็ดเลือดแดง (รูปที่ 19 ข., ง., จ.) พบว่าการแตกของเซลล์ที่แต่ละอุณหภูมิไม่มีความสัมพันธ์กับความเข้มข้นของ  $^{14}\text{C}$ -pyrimethamine ที่ใช้ทดลอง (2-30 นาโนโมลาร์) อุณหภูมิ 2 องศาเซลเซียสทำให้เซลล์เม็ดเลือดแดงในเลือดปกติ เลือดติดเชื้อโคลน AS ( $\text{Pr}_1$ ) และ AS แยกตัวโดยเฉลี่ยที่ทุกความเข้มข้นของไพริเมธาอิมินเท่ากับ  $4.72 \pm 0.51$ ,  $6.04 \pm 0.94$  และ  $13.68 \pm 1.27$  เปอร์เซ็นต์ตามลำดับ อุณหภูมิ 10 องศาเซลเซียส ทำให้เลือดปกติและเลือดติดเชื้อโคลน AS ( $\text{Pr}_1$ ) แยกตัวใกล้เคียงกัน คือ  $5.74 \pm 1.27$  และ  $5.22 \pm 0.49$  เปอร์เซ็นต์ตามลำดับ ซึ่งน้อยกว่าการแตกตัวของเลือดติดเชื้อโคลน AS เล็กน้อย ( $8.77 \pm 0.68$  เปอร์เซ็นต์) เลือดปกติแยกตัวเพียง  $2.98 \pm 0.51$  เปอร์เซ็นต์ที่อุณหภูมิ 37 องศาเซลเซียสน้อยกว่าค่าของเลือดติดเชื้อ พลาสโมเดียม ข้าบอดี AS ( $\text{Pr}_1$ ) และ AS ซึ่งเท่ากับ  $5.9 \pm 0.59$  และ  $6.66 \pm 0.75$  เปอร์เซ็นต์ตามลำดับ อุณหภูมิ 50 องศาเซลเซียสจะทำให้เซลล์แตกตัวมากกว่าที่อุณหภูมิต่ำอื่น ๆ คือ เลือดปกติแยก  $10.69 \pm 0.89$  เปอร์เซ็นต์ เลือดติดเชื้อโคลน AS ( $\text{Pr}_1$ ) แยก  $57.91 \pm 8.75$  เปอร์เซ็นต์ ในขณะที่เลือดติดเชื้อ พลาสโมเดียม ข้าบอดี AS แยกตัวสูงถึง  $74.48 \pm 3.04$  เปอร์เซ็นต์

#### 4.11 ผลกระทบของ pH ต่อการนำเข้าของ $^{14}\text{C}$ -pyrimethamine และการแตกตัวของเซลล์เม็ดเลือดแดง ในเลือดปกติและเลือดติดเชื้อ พลาสโมเดียม ข้าบอดี

เมื่อทำการทดลองเปรียบเทียบการนำเข้าของ  $^{14}\text{C}$ -pyrimethamine ในฮีพลัฟเฟอร์-ชาลีน pH ต่าง ๆ กันตั้งแต่ 6.6 - 8.1 ผลการทดลองตามรูปที่ 20 ก. แสดงให้เห็นว่า ปริมาณการนำเข้าของ  $^{14}\text{C}$ -pyrimethamine จะไม่แตกต่างกันอย่างมีนัยสำคัญที่ pH ต่าง ๆ ซึ่งใช้ทดลองกับเม็ดเลือดแดงปกติ สำหรับเม็ดเลือดแดงติดเชื้อ พลาสโมเดียม ข้าบอดี AS (รูปที่ 20 ค.) จะมีค่าการนำเข้าในฮีพลัฟเฟอร์-ชาลีน pH 8.1 กับ 7.4 มากกว่า pH 7.0 และจะน้อยสุดเมื่อทำการทดลองที่ pH 6.6 ส่วนเม็ดเลือดแดงติดเชื้อโคลน AS ( $\text{Pr}_1$ ) ผลกระทบจาก pH จะแตกต่างจากเม็ดเลือดแดงติดเชื้อโคลน AS เล็กน้อยคือ  $^{14}\text{C}$ -pyrimethamine จะนำเข้าสูงที่สุดที่ pH 7.0 ตามด้วย pH 7.4 กับ 8.1 ซึ่งใกล้เคียงกัน และค่าการนำเข้าจะยังคงต่ำสุดที่ pH 6.6 เช่นกัน (รูปที่ 20 จ.)

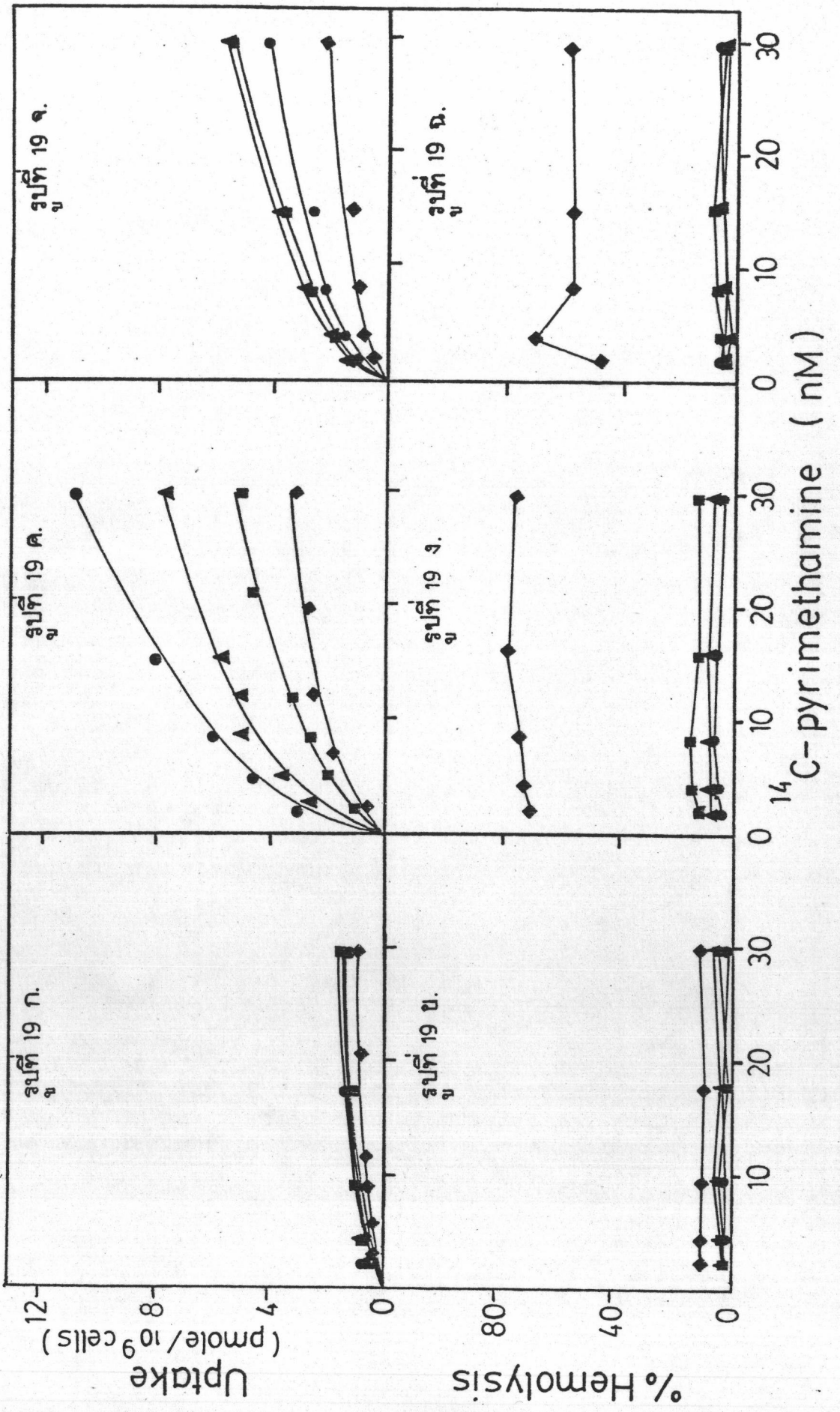
รูปที่ 19. ผลกระทบของอุณหภูมิต่อการนำเข้าของ  $^{14}\text{C}$ -pyrimethamine และการแตกตัวของเซลล์เม็ดเลือดแดงในเลือดปกติและเลือดติดเชื้อ P. chabaudi (50 % parasitemia) ทำการทดลองตามวิธีทดลองข้อ 3.8.1 โดยอินคิวเบตเซลล์ที่อุณหภูมิต่าง ๆ กันตั้งแต่ 2-50<sup>o</sup> C นับปริมาณกัมมันตรังสีที่ถูกนำเข้าเซลล์ตามวิธีทดลองข้อ 3.8.2.2

รูปที่ 19 ก., ข. เซลล์เม็ดเลือดแดงปกติ

รูปที่ 19 ค., ง. เซลล์เม็ดเลือดแดงติดเชื้อ P. chabaudi AS

รูปที่ 19 จ., ฉ. เซลล์เม็ดเลือดแดงติดเชื้อ P. chabaudi AS(Pr<sub>1</sub>)

■ 2 °C  
 ▲ 10 °C  
 ● 37 °C  
 ◆ 50 °C



จากการศึกษาผลกระทบของ pH ต่อการแตกตัวของเซลล์เม็ดเลือดแดงในฮีพลัฟเฟอร์-ซาลิน pH ต่าง ๆ กัน จะเห็นได้ชัดเจนว่า นอกจาก pH จะมีผลต่อการนำเข้าของ  $^{14}\text{C}$ -pyrimethamine แล้ว ยังมีผลทำให้เม็ดเลือดแดงทั้ง 3 ชนิดแตกตัวโดยเฉลี่ยที่ทุก ๆ ความเข้มข้นของ  $^{14}\text{C}$ -pyrimethamine ที่ใช้ดังนี้ (รูปที่ 20 ข., ง., จ.) ฮีพลัฟเฟอร์ซาลิน pH 6.6 ทำให้เลือดติดเชื้อ พลาสโมเดียม ซาบอดี AS ( $\text{Pr}_1$ ) และ AS แตกตัวสูงที่สุดถึง  $32.11 \pm 2.97$  และ  $37.09 \pm 3.47$  เปอร์เซ็นต์ตามลำดับ ในขณะที่เลือดปกติเซลล์แตกเพียง  $3.13 \pm 0.56$  เปอร์เซ็นต์ ฮีพลัฟเฟอร์ซาลิน pH 7.0 ก็ทำให้จำนวนเซลล์ที่แตกแตกต่างกันอย่างเห็นได้ชัดระหว่างเลือดปกติ ( $2.00 \pm 0.20$  เปอร์เซ็นต์) เลือดติดเชื้อโคลน AS ( $\text{Pr}_1$ ) ( $14.79 \pm 1.88$  เปอร์เซ็นต์) กับ เลือดติดเชื้อโคลน AS ( $15.09 \pm 2.17$  เปอร์เซ็นต์) นอกจากนี้ยังปรากฏผลคล้ายคลึงกัน เมื่ออินคิวเบตเซลล์ที่ pH 8.1 คือการแตกของเซลล์เม็ดเลือดแดงในเลือดติดเชื้อ พลาสโมเดียม ซาบอดี AS ( $\text{Pr}_1$ ) และ AS จะมากกว่าเซลล์ในเลือดปกติ ( $12.25 \pm 0.36$ ,  $15.54 \pm 1.16$  และ  $8.20 \pm 1.30$  เปอร์เซ็นต์ตามลำดับ) ฮีพลัฟเฟอร์ซาลิน pH 7.4 จะทำให้เลือดติดเชื้อแตกตัวน้อยที่สุด คือ  $7.03 \pm 0.42$  เปอร์เซ็นต์ (เลือดติดเชื้อโคลน AS ( $\text{Pr}_1$ )) และ  $7.36 \pm 0.88$  เปอร์เซ็นต์ (เลือดติดเชื้อโคลน AS) แต่ก็ยังมีค่ามากกว่าการแตกตัวของเซลล์เม็ดเลือดแดงปกติที่ pH เดียวกัน ซึ่งเท่ากับ  $4.31 \pm 1.88$  เปอร์เซ็นต์

#### 4.12 ผลกระทบของกรดโฟลิกต่อการนำเข้าของ $^{14}\text{C}$ -pyrimethamine ในเซลล์เม็ดเลือดแดงติดเชื้อ พลาสโมเดียม ซาบอดี

เมื่ออินคิวเบตเลือดติดเชื้อ พลาสโมเดียม ซาบอดี AS และ AS ( $\text{Pr}_1$ ) จำนวน  $5.5 \times 10^8$  เซลล์ (50 เปอร์เซ็นต์เม็ดเลือดแดงติดเชื้อ) กับกรดโฟลิกความเข้มข้น 1 ไมโครโมลาร์ ในฮีพลัฟเฟอร์ซาลิน pH 7.4 (86 มิลลิโมลาร์กลูโคส) นาน 30 นาทีก่อนที่จะเติม  $^{14}\text{C}$ -pyrimethamine ความเข้มข้นต่าง ๆ กัน (2-30 นาโนโมลาร์) ลงไป และอินคิวเบตต่ออีก 15 นาที ผลปรากฏว่า ปริมาณ  $^{14}\text{C}$ -pyrimethamine ที่ถูกนำเข้าเซลล์เม็ดเลือดแดงติดเชื้อโคลน AS จะเพิ่มขึ้นอย่างเห็นได้ชัดที่ทุกความเข้มข้นของ  $^{14}\text{C}$ -pyrimethamine เมื่อเปรียบเทียบกับค่าที่ไม่มีผลจากกรดโฟลิก (รูปที่ 21 ก.) ตรงกันข้าม กรดโฟลิกจะไม่มีผลกระทบต่อการนำ  $^{14}\text{C}$ -pyrimethamine เข้าสู่เซลล์เม็ดเลือดแดงติดเชื้อ พลาสโมเดียม ซาบอดี AS ( $\text{Pr}_1$ ) (รูปที่ 21 ข.)



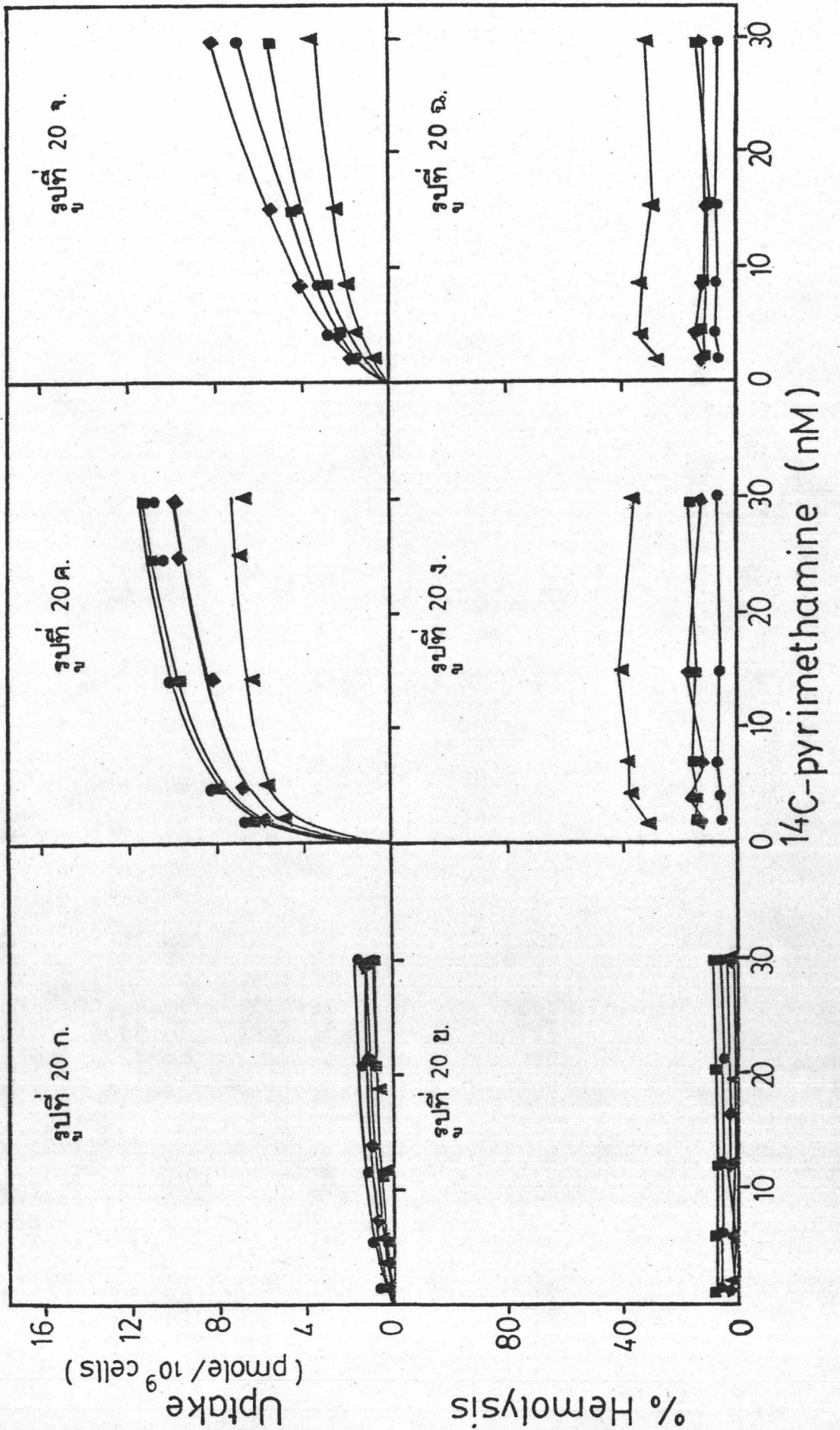
รูปที่ 20. ผลกระทบของ pH ต่อการนำเข้าของ  $^{14}\text{C}$ -pyrimethamine และการแตกตัวของ  
เซลล์เม็ดเลือดแดงในเลือดปกติและเลือดติดเชื้อ P.chabaudi (50 % parasitemia) ทำการทดลองตามวิธีทดลองข้อ 3.8.1 โดยอินคิวเบตเซลล์ในฮีฟลิว  
ซ์เฟอรัสซาลิน pH ต่าง ๆ กันตั้งแต่ 6.6 - 8.1 นับปริมาณกัมมันตรังสีที่ถูกนำ  
เข้าเซลล์ตามวิธีทดลองข้อ 3.8.2.2

รูปที่ 20 ก., ข. เซลล์เม็ดเลือดแดงปกติ

รูปที่ 20 ค., ง. เซลล์เม็ดเลือดแดงติดเชื้อ P.chabaudi AS

รูปที่ 20 ฉ., จ. เซลล์เม็ดเลือดแดงติดเชื้อ P.chabaudi AS(Pr<sub>1</sub>)

- ▲ pH 6.6
- ◆ pH 7.0
- pH 7.4
- pH 8.1



รูปที่ 21. ผลกระทบของกรดโฟลิก ต่อการนำเข้าของ  $^{14}\text{C}$ -pyrimethamine ในเซลล์เม็ดเลือดแดงติดเชื้อ P.chabaudi อินคิวเบตเลือดติดเชื้อ (50% parasitemia) กับกรดโฟลิก ความเข้มข้น 1 ไมโครโมลาร์ ในฮีพส์บัฟเฟอร์ ซาลิน pH 7.4 (86 มิลลิโมลาร์กลูโคส) ที่อุณหภูมิ  $37^{\circ}\text{C}$  นาน 30 นาที ก่อนจะทำการทดลองตามวิธีข้อ 3.8.1 ในฮีพส์บัฟเฟอร์ซาลิน pH 7.4 (86 มิลลิโมลาร์กลูโคส) ที่มีกรดโฟลิก 1 ไมโครโมลาร์ เปรียบเทียบผลกับการทดลองที่ไม่มีกรดโฟลิก นับปริมาณกัมมันตรังสีที่ถูกนำเข้าเซลล์ตามวิธีทดลองข้อ 3.8.2.2

รูปที่ 21 ก. เซลล์เม็ดเลือดแดงติดเชื้อ P.chabaudi AS

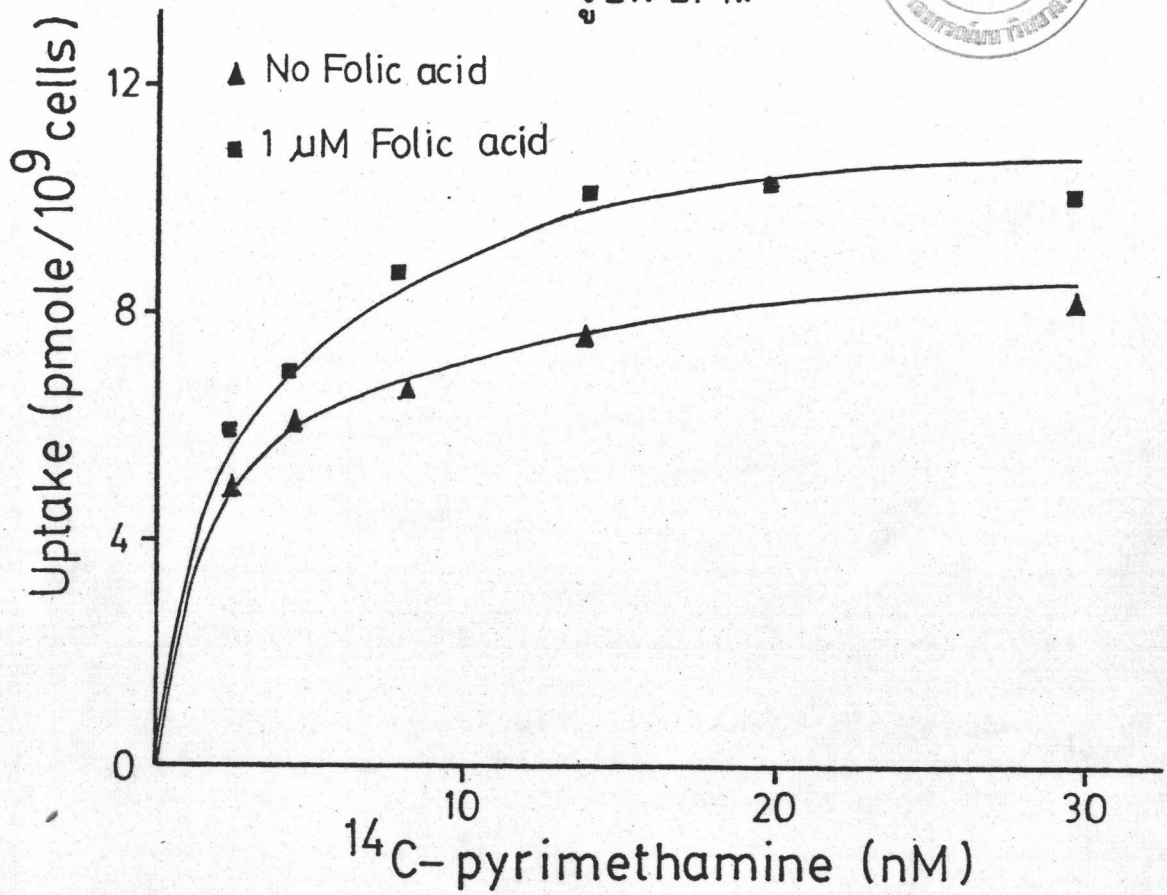
รูปที่ 21 ข. เซลล์เม็ดเลือดแดงติดเชื้อ P.chabaudi AS( $\text{Pr}_1$ )

Protocol :

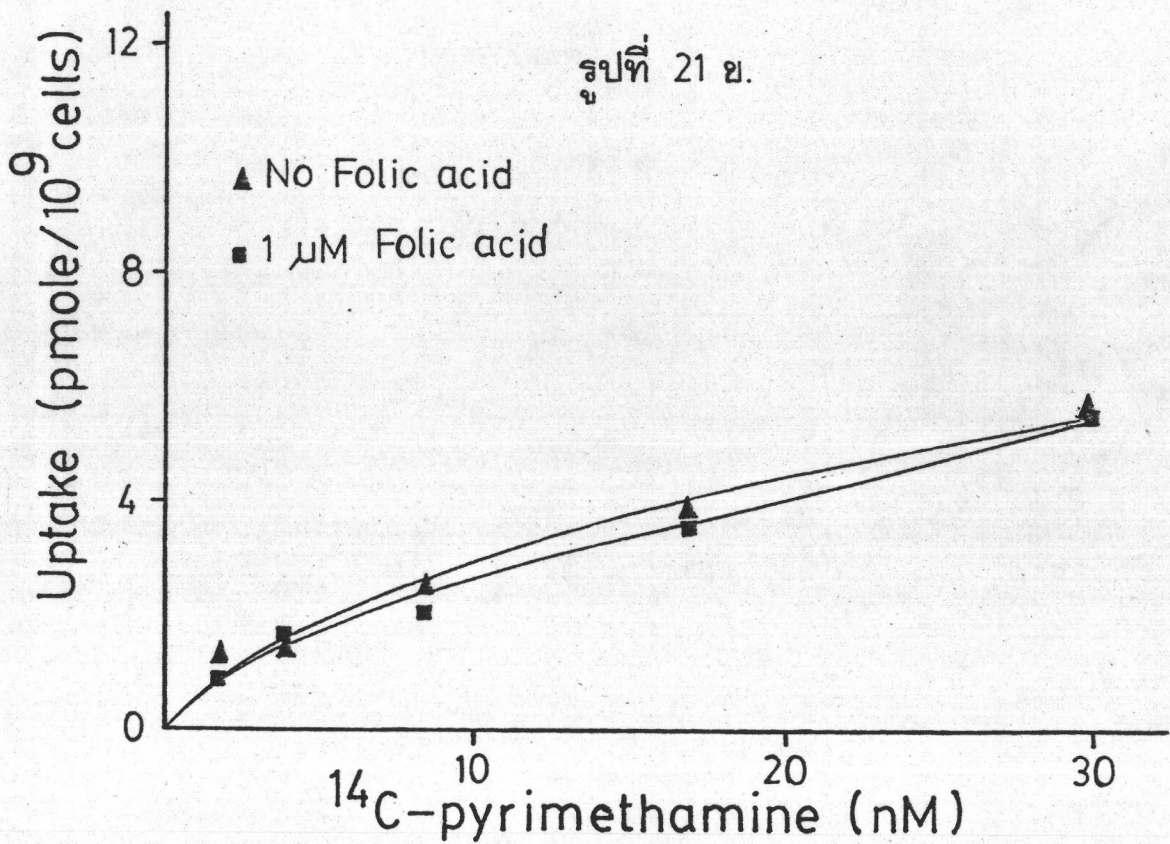
- Infected blood (50 % parasitemia)  $5.5 \times 10^8$  cells
- Incubate in HEPES -NaCl pH 7.4 (86 mM glucose and 1  $\mu\text{M}$  folic acid) 0.8 ml at  $37^{\circ}\text{C}$  30 min
- Add  $^{14}\text{C}$ -pyrimethamine. 2-30 nM
- Add HEPES-NaCl pH 7.4 (86 mM glucose and 1  $\mu\text{M}$  folic acid) to make 2 ml.
- Incubate at  $37^{\circ}\text{C}$  15 min



รูปที่ 21 ก.



รูปที่ 21 ข.



4.13 ผลกระทบของสารที่เป็นแหล่งพลังงานต่อการนำเข้าของ  $^{14}\text{C}$ -pyrimethamine และการแตกตัวของ เซลล์เม็ดเลือดแดงในเลือดติดเชื้อพลาสโมเดียม ข้าบอดี

4.13.1 ผลกระทบของกลูโคสต่อการนำเข้าของ  $^{14}\text{C}$ -pyrimethamine

เมื่ออินคิวเบตเลือดติดเชื้อ พลาสโมเดียม ข้าบอดี AS และ AS ( $\text{Pr}_1$ ) ( $5.5 \times 10^8$  เซลล์; 50 เปอร์เซ็นต์เม็ดเลือดแดงติดเชื้อ) กับ  $^{14}\text{C}$ -pyrimethamine ในอีพัลบัฟเฟอร์ซาลิน pH 7.4 ที่มีกลูโคสความเข้มข้นต่าง ๆ กัน คือ 10 และ 100 มิลลิโมลาร์ แล้ววัดปริมาณการนำเข้าของสารรังสีเปรียบเทียบกับ เมื่อไม่มีกลูโคส ผลการทดลองตามรูปที่ 22 จะเห็นได้ว่าไม่มีความแตกต่างของปริมาณ  $^{14}\text{C}$ -pyrimethamine ที่วัดได้ในเซลล์อย่างมีนัยสำคัญ

ผลกระทบของกลูโคสต่อการนำเข้าของ  $^{14}\text{C}$ -pyrimethamine จะสังเกตเห็นได้ต่อเมื่อทำให้เซลล์เม็ดเลือดแดงที่เข้าขาดอาหาร (ตามวิธีทดลองข้อ 3.8.4) เสียก่อนแล้วจึงทำการทดลอง ผลปรากฏว่า  $^{14}\text{C}$ -pyrimethamine จะถูกนำเข้าสู่เซลล์ติดเชื้อทั้ง 2 โคลน ได้มากที่สุด ในอีพัลบัฟเฟอร์ซาลินที่มีกลูโคส 100 มิลลิโมลาร์ (การทดลองทั่ว ๆ ไปใช้ 86 มิลลิโมลาร์) รองลงมาคือ 10 มิลลิโมลาร์ และจะน้อยที่สุดเมื่อไม่มีกลูโคสเป็นแหล่งพลังงานของเซลล์ (รูปที่ 23)

4.13.2 ผลกระทบของโพรวูเวตและซัคซิเนตต่อการนำเข้าของ  $^{14}\text{C}$ -pyrimethamine และการแตกตัวของ เซลล์เม็ดเลือดแดงในเลือดติดเชื้อพลาสโมเดียม ข้าบอดี

เมื่อทำการศึกษาการนำ  $^{14}\text{C}$ -pyrimethamine เข้าสู่เซลล์เม็ดเลือดแดงติดเชื้อ พลาสโมเดียม ข้าบอดี AS และ AS ( $\text{Pr}_1$ ) ในอีพัลบัฟเฟอร์ซาลิน pH 7.4 ซึ่งมีสารต้นตอพลังงานเป็นโพรวูเวต, ซัคซิเนต และกลูโคส ด้วยความเข้มข้นเท่ากันคือ 100 มิลลิโมลาร์ พบว่า ปริมาณการนำเข้าของ เซลล์เม็ดเลือดแดงติดเชื้อโคลน AS เมื่อให้โพรวูเวตและซัคซิเนตกับเซลล์ จะน้อยกว่าการมีกลูโคสเป็นแหล่งพลังงานของเซลล์ (รูปที่ 24 ก.) แต่ไม่สามารรถสังเกตพบความแตกต่างนี้ได้ ในเซลล์เม็ดเลือดแดงติดเชื้อ พลาสโมเดียม ข้าบอดี AS ( $\text{Pr}_1$ ) (รูปที่ 24 ค.)

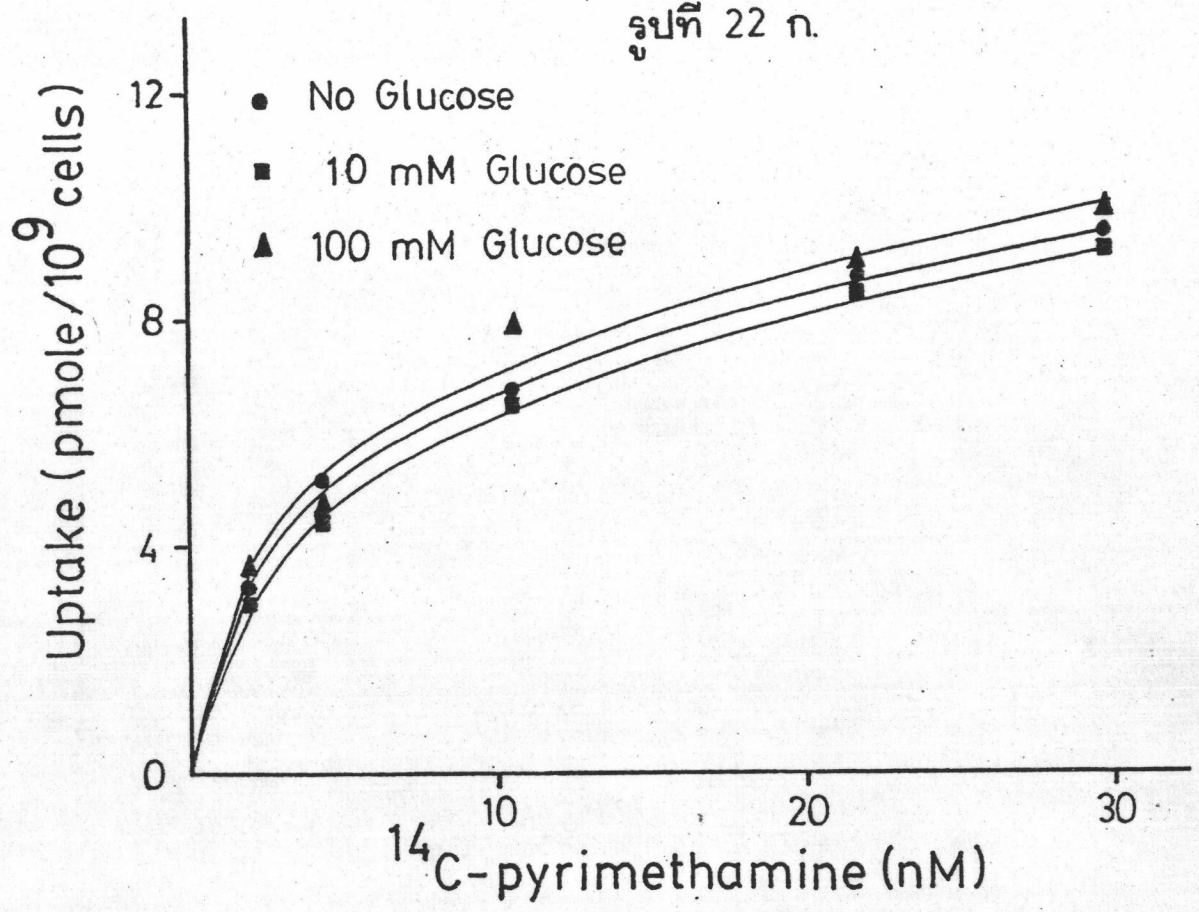
สำหรับผลการศึกษาการแตกตัวของเซลล์พบว่า เซลล์เม็ดเลือดแดงในเลือดติดเชื้อ พลาสโมเดียม ข้าบอดี AS จะแตก  $6.40 \pm 0.5$ ,  $8.56 \pm 1.18$  และ  $11.40 \pm 0.73$  เปอร์เซ็นต์ เมื่อถูกผลกระทบจากกลูโคส โพรวูเวต และ ซัคซิเนต ตามลำดับ (รูปที่ 24 ข.)

รูปที่ 22. ผลกระทบของกลูโคสต่อการนำเข้าของ  $^{14}\text{C}$ -pyrimethamine ในเซลล์เม็ดเลือดแดงติดเชื้อ P. chabaudi ทำการทดลองตามวิธีทดลองข้อ 3.8.1 โดยอินคิวเบตเซลล์กับกลูโคสความเข้มข้น 10 และ 100 มิลลิโมลาร์ ในฮีพส์ฟเฟอร์ซาไลน์ pH 7.4 เปรียบเทียบผลกับการทดลองเมื่อไม่ใช้กลูโคส นับปริมาณกัมมันตรังสีที่ถูกนำเข้าเซลล์ตามวิธีทดลองข้อ 3.8.2.2

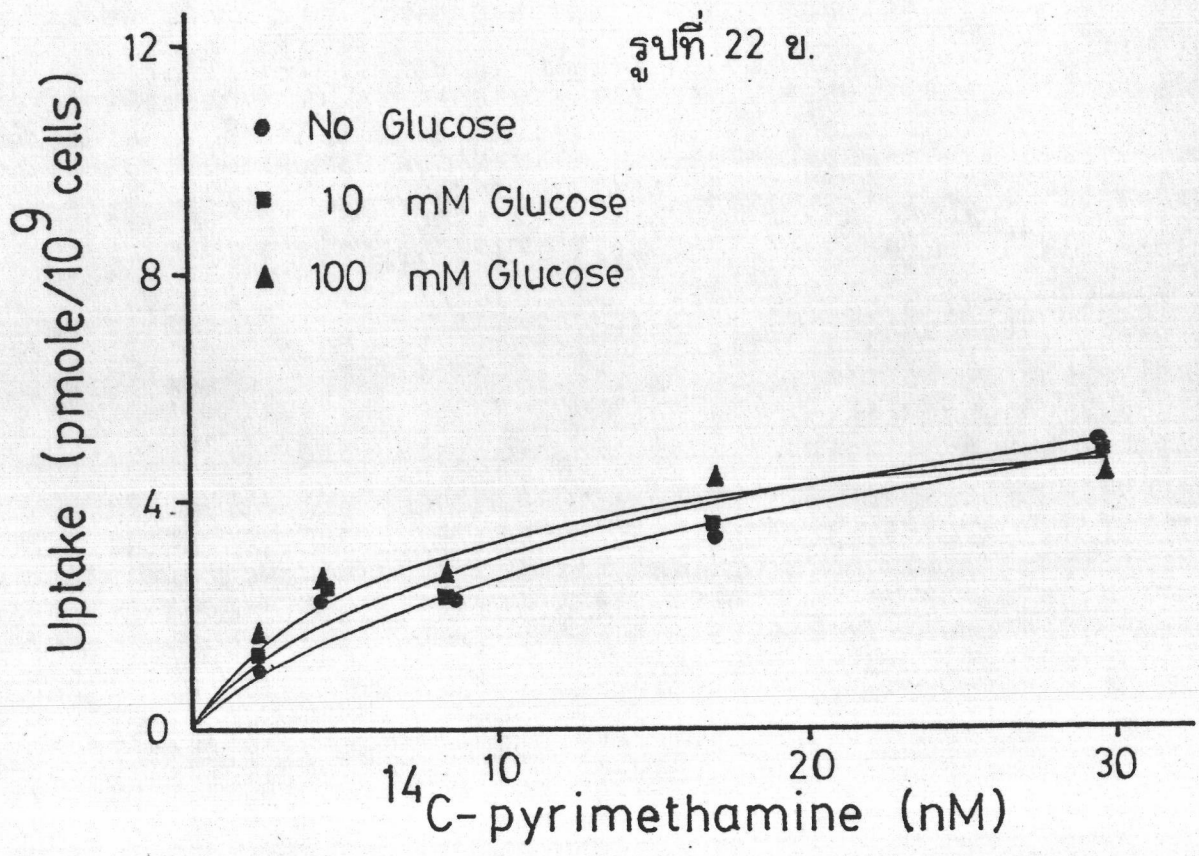
รูปที่ 22 ก. เซลล์เม็ดเลือดแดงติดเชื้อ P. chabaudi AS

รูปที่ 22 ข. เซลล์เม็ดเลือดแดงติดเชื้อ P. chabaudi AS( $\text{Pr}_1$ )

รูปที่ 22 ก.



รูปที่ 22 ข.



รูปที่ 23. ผลกระทบของกลูโคส ต่อการนำเข้าของ  $^{14}\text{C}$ -pyrimethamine ในเซลล์เม็ดเลือดแดงติดเชื้อ P. chabaudi ซึ่งทำให้ขาดอาหาร (ข้อ 3.8.4) แล้วทำการทดลองตามวิธีทดลองข้อ 3.8.1 โดยอินคิวเบตเซลล์กับกลูโคส ความเข้มข้น 10 และ 100 มิลลิโมลาร์ ในฮีพส์บัฟเฟอร์ซาสิน pH 7.4 เปรียบเทียบผลกับการทดลองเมื่อไม่ใช้กลูโคส นับปริมาณกัมมันตรังสีที่ถูกนำเข้าเซลล์ตามวิธีทดลองข้อ 3.8.2.2

รูปที่ 23 ก. เซลล์เม็ดเลือดแดงติดเชื้อ P. chabaudi AS

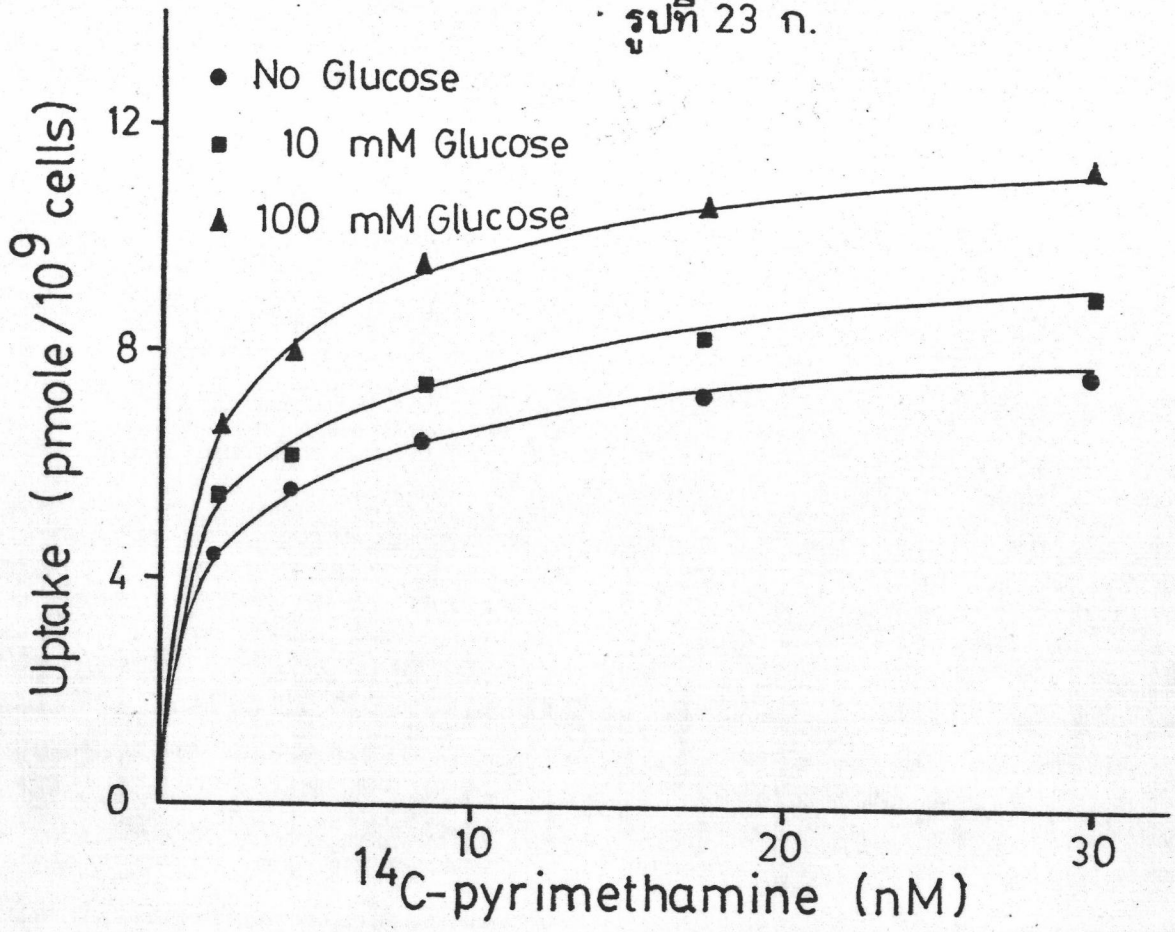
รูปที่ 23 ข. เซลล์เม็ดเลือดแดงติดเชื้อ P. chabaudi AS (Pr<sub>1</sub>)

Protocol :

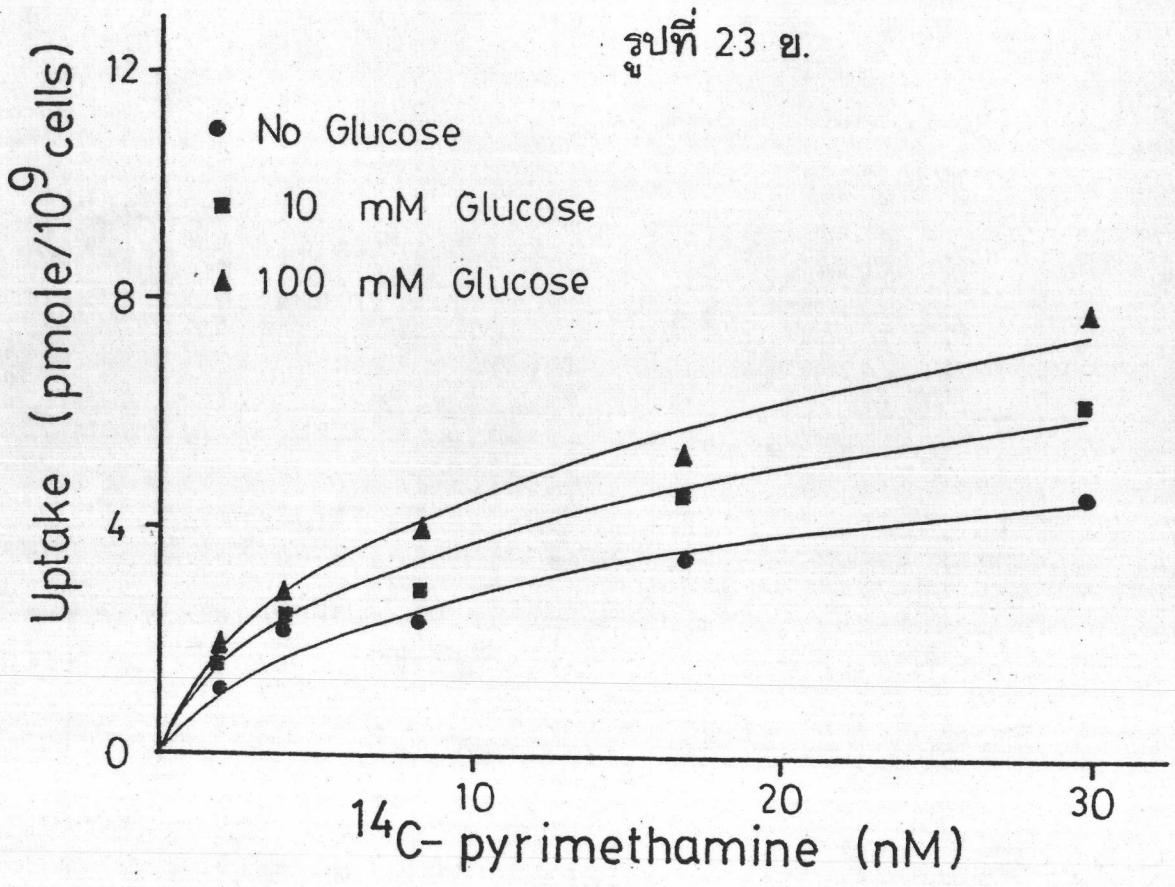
- Infected blood (50 % parasitemia)  $5.5 \times 10^8$  cells
- Incubate in HEPES-NaCl pH 7.4 0.8 ml at 37°C 30 min
- Add  $^{14}\text{C}$ -pyrimethamine 2-30 nM
- Add HEPES-NaCl pH 7.4 (0,20, 200 mM glucose) to make 2 ml
- Incubate at 37°C 15 min



รูปที่ 23 ก.



รูปที่ 23 ข.



ส่วนเลือดติดเชื้อโคลน AS ( $Pr_1$ ) จำนวนเซลล์ที่แตกเนื่องจากสภาวะดังกล่าวทุกค่าจะมีค่าต่ำกว่าได้แก่  $5.90 \pm 0.59$ ,  $6.49 \pm 0.44$  และ  $8.83 \pm 1.05$  เปอร์เซ็นต์ตามลำดับ (รูปที่ 24 ง.)

เมื่อทำการทดลองในทำนองเดียวกับการศึกษาผลของกลูโคสต่อการนำเข้า โดยทำให้เซลล์เม็ดเลือดแดงติดเชื้อ พลาสโมเดียม ฮาบอดี ขาดอาหารก่อนที่จะนำมาศึกษาผลของซัคซิเนตและโพรูเวต เปรียบเทียบกับกลูโคสที่ความเข้มข้นเท่า ๆ กัน (100 มิลลิโมลาร์) พบว่า มีความแตกต่างของปริมาณ  $^{14}\text{C}$ -pyrimethamine ในเซลล์เม็ดเลือดแดงติดเชื้อโคลน AS ( $Pr_1$ ) คือปริมาณการนำ  $^{14}\text{C}$ -pyrimethamine เข้าของเซลล์ที่ได้รับซัคซิเนต และโพรูเวตเป็นแหล่งพลังงานจะมีค่าต่ำกว่า เมื่อใช้กลูโคส (รูปที่ 25 ค.) ส่วนเซลล์เม็ดเลือดแดงติดเชื้อโคลน AS จะยังคงปรากฏผลเช่นเดียวกับการทดลองกับเซลล์ที่ไม่ขาดอาหาร คือ กลูโคสเป็นสารต้นตอพลังงานที่เหมาะสมสำหรับการนำ  $^{14}\text{C}$ -pyrimethamine เข้าสู่เซลล์มากกว่าโพรูเวตกับซัคซิเนต (รูปที่ 25 ก.)

การแตกตัว ของเซลล์เม็ดเลือดแดงในเลือดติดเชื้อ พลาสโมเดียม ฮาบอดี AS และ AS ( $Pr_1$ ) จากผลกระทบของกลูโคส โพรูเวตและซัคซิเนต จะมีลักษณะคล้ายกับที่พบในเซลล์ไม่ขาดอาหาร คือ เลือดติดเชื้อโคลน AS เซลล์เม็ดเลือดแดงแตก  $8.19 \pm 1.66$ ,  $15.57 \pm 1.37$  และ  $17.78 \pm 2.06$  เปอร์เซ็นต์ตามลำดับ ในขณะที่เลือดติดเชื้อโคลน AS ( $Pr_1$ ) เซลล์เม็ดเลือดแดงแตก  $6.61 \pm 0.20$ ,  $13.11 \pm 1.80$  และ  $14.72 \pm 2.48$  เปอร์เซ็นต์ตามลำดับ (รูปที่ 25 ข. และ ง.)

#### 4.14 ผลกระทบของ 2,4-ไดไนโตรพีนอลต่อการนำเข้าของ $^{14}\text{C}$ -pyrimethamine และการแตกตัวของเซลล์เม็ดเลือดแดง ในเลือดปกติและเลือดติดเชื้อพลาสโมเดียม ฮาบอดี

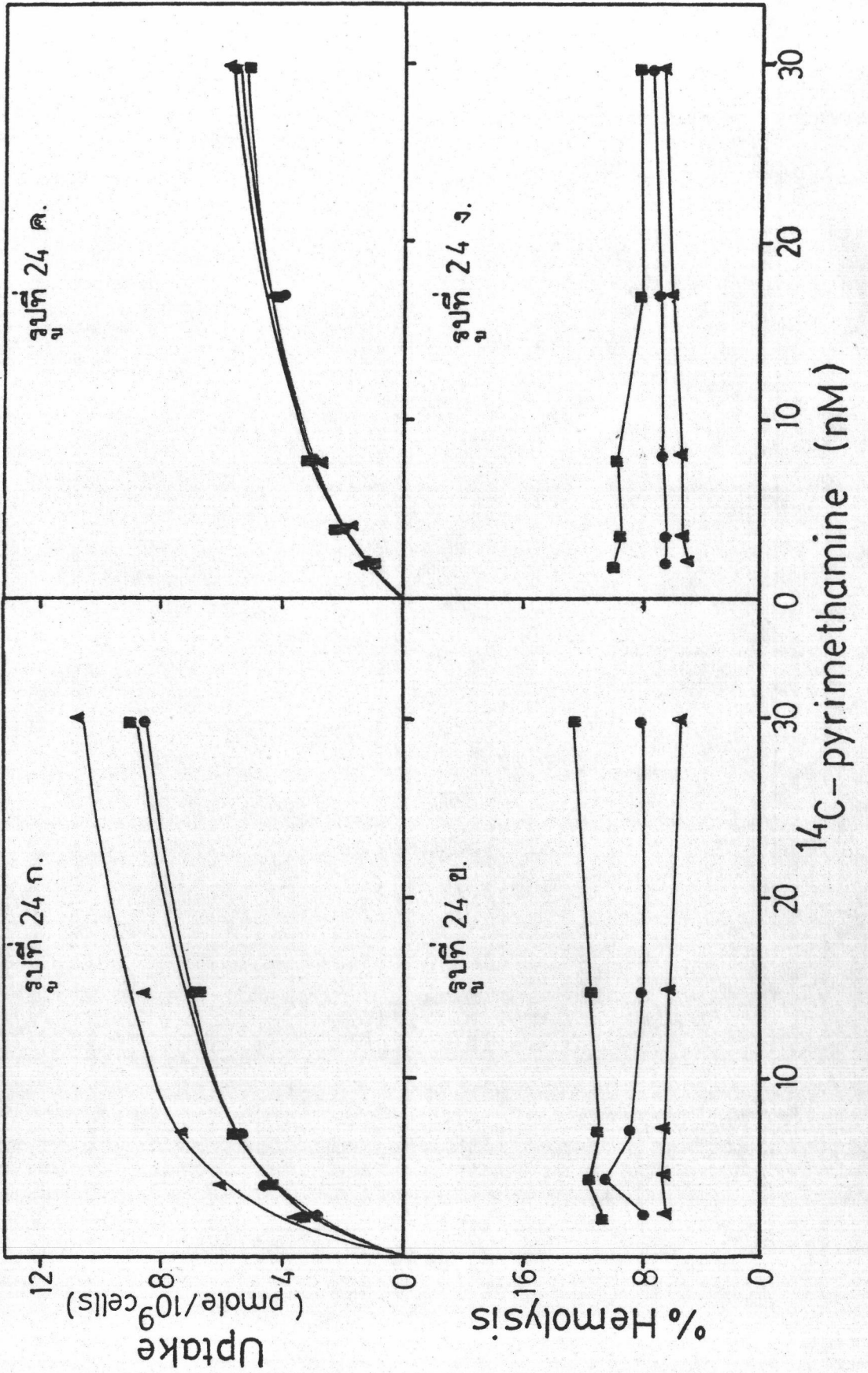
ในการที่จะทดสอบว่าการนำ  $^{14}\text{C}$ -pyrimethamine เข้าสู่เม็ดเลือดแดงต้องอาศัยแหล่งพลังงานจากเซลล์หรือไม่ ทำได้โดยติดตามผลกระทบของไดไนโตรพีนอล และเพื่อที่จะสังเกตอิทธิพลของไดไนโตรพีนอลให้เด่นชัดมากขึ้น จึงทำการทดลองกับเซลล์เม็ดเลือดแดงที่ขาดอาหาร ซึ่งเท่ากับเป็นการลด energy charge ของเซลล์เสียก่อน

รูปที่ 24. ผลกระทบของไพริเมทและซัคซิเนต ต่อการนำเข้าของ  $^{14}\text{C}$ -pyrimethamine และการแตกตัวของเซลล์เม็ดเลือดแดงในเลือดติดเชื้อ P.chabaudi ทำการทดลองตามวิธีทดลองข้อ 3.8.1 โดยอินคิวเบตเซลล์กับไพริเมทและซัคซิเนต ความเข้มข้น 100 มิลลิโมลาร์ ในฮีพล์ฟเฟอรัซาสิน pH 7.4 เปรียบเทียบผลกับการทดลองเมื่อใช้กลูโคสความเข้มข้นเท่ากัน (100 มิลลิโมลาร์) นับปริมาณกัมมันตรังสีที่ถูกนำเข้าเซลล์ตามวิธีทดลองข้อ 3.8.2.2

รูปที่ 24 ก., ข. เซลล์เม็ดเลือดแดงติดเชื้อ P.chabaudi AS

รูปที่ 24 ค., ง. เซลล์เม็ดเลือดแดงติดเชื้อ P.chabaudi AS ( $\text{Pr}_1$ )

▲ glucose    ● pyruvate    ■ succinate



รูปที่ 25. ผลกระทบของไพริเมทามีนและซัคซิเนต ต่อการนำเข้าของ  $^{14}\text{C}$ -pyrimethamine และการแตกตัวของเซลล์เม็ดเลือดแดงในเลือดติดเชื้อ P.chabaudi (50 % parasitemia) ซึ่งทำให้ขาดอาหาร (ข้อ 3.8.4) แล้วทำการทดลองตามวิธีทดลองข้อ 3.8.1 โดยอินคิวเบตเซลล์กับไพริเมทามีนและซัคซิเนตความเข้มข้น 100 มิลลิโมลาร์ในฮีพส์บัฟเฟอร์ซาลิน pH 7.4 เปรียบเทียบผลกับการทดลองเมื่อใช้กลูโคสความเข้มข้นเท่ากัน (100 มิลลิโมลาร์) นับปริมาณกัมมันตรังสีที่ถูกนำเข้าเซลล์ตามวิธีทดลองข้อ 3.8.2.2

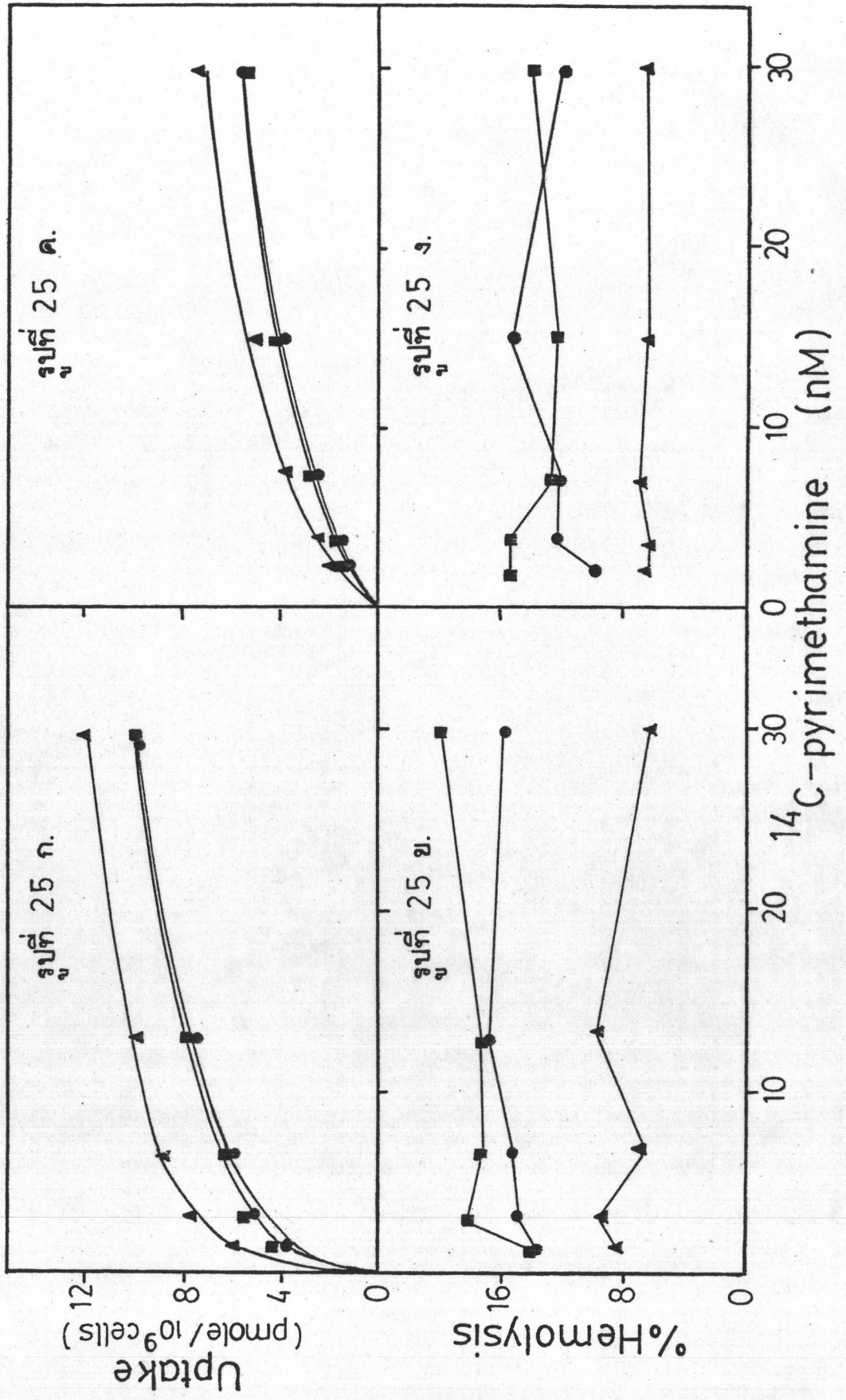
รูปที่ 25 ก., ข. เซลล์เม็ดเลือดแดงติดเชื้อ P.chabaudi AS

รูปที่ 25 ค., ง. เซลล์เม็ดเลือดแดงติดเชื้อ P.chabaudi AS(Pr<sub>1</sub>)

Protocol :

- Infected blood (50 % parasitemia)  $5.5 \times 10^8$  cells
- Incubate in HEPES-NaCl pH 7.4 0.8 ml at 37°C 30 min
- Add  $^{14}\text{C}$ -pyrimethamine 2-30 nM
- Add HEPES-NaCl pH 7.4 (200 mM glucose/pyruvate/succinate) to make 2 ml
- Incubate at 37°C 15 min

▲ glucose • pyruvate ■ succinate





ผลการทดลองตามรูปที่ 26 ค. เป็นการศึกษาผลกระทบของไดโนโตรพีนอล 1 มิลลิโมลาร์ ต่อการนำเข้าของ  $^{14}\text{C}$ -pyrimethamine ในเซลล์เม็ดเลือดแดงติดเชื้อ พลาสโมเดียม ซาบอดี AS พบว่า ค่าการนำเข้าของ  $^{14}\text{C}$ -pyrimethamine จะลดต่ำลงเมื่อได้รับผลกระทบจากไดโนโตรพีนอล เมื่ออินคิวเบตเซลล์ที่ขาดอาหารกับ  $^{14}\text{C}$ -pyrimethamine ภายใต้อุณหภูมิที่มีกลูโคส (100 มิลลิโมลาร์) และเมื่อไม่มีกลูโคส ผลการทดลองแสดงให้เห็นชัดเจนว่ากลูโคสสามารถลดอิทธิพลของไดโนโตรพีนอลได้บ้าง กล่าวคือ ปริมาณนำเข้าจะต่ำสุดในการทดลองที่มีเฉพาะไดโนโตรพีนอล และค่าจะเพิ่มมากขึ้นเมื่อถูกเสริมด้วยกลูโคส (100 มิลลิโมลาร์) จนมีค่าใกล้เคียงกับปริมาณ  $^{14}\text{C}$ -pyrimethamine ซึ่งถูกนำเข้าเซลล์เม็ดเลือดแดงติดเชื้อ เมื่อไม่มีกลูโคสเป็นแหล่งพลังงานของเซลล์ อย่างไรก็ตามการมีกลูโคสเพียงอย่างเดียวจะยังคงทำให้  $^{14}\text{C}$ -pyrimethamine ผ่านเข้าเซลล์เม็ดเลือดแดงติดเชื้อได้สูงที่สุด

ผลของไดโนโตรพีนอล 1 มิลลิโมลาร์ต่อการนำเข้าของ  $^{14}\text{C}$ -pyrimethamine ในเซลล์เม็ดเลือดแดงติดเชื้อ พลาสโมเดียม ซาบอดี AS ( $\text{Pr}_1$ ) ตามรูปที่ 26 จ. แสดงว่าการนำ  $^{14}\text{C}$ -pyrimethamine เข้าสู่เซลล์จะถูกยับยั้งได้ด้วยไดโนโตรพีนอลในลักษณะเดียวกับเม็ดเลือดแดงติดเชื้อโคลน AS และฤทธิ์การยับยั้งบางส่วนสามารถจะถูกหักล้างได้ด้วย 100 มิลลิโมลาร์กลูโคส เช่นเดียวกัน

สำหรับอิทธิพลของไดโนโตรพีนอล ต่อการนำเข้าของ  $^{14}\text{C}$ -pyrimethamine ในเซลล์เม็ดเลือดแดงปกติ ซึ่งแสดงดังรูปที่ 26 ก. พบว่าผลกระทบจะน้อยมากจนแทบจะไม่สามารถสังเกตความแตกต่างของค่าการนำเข้าได้

จากการศึกษาการแตกตัวของเซลล์เม็ดเลือดแดงที่ความเข้มข้นต่าง ๆ ของ  $^{14}\text{C}$ -pyrimethamine (2-30 นาโนโมลาร์) ภายใต้อุณหภูมิการทดลองผลของไดโนโตรพีนอลข้างต้น ปรากฏผลในเซลล์เม็ดเลือดแดงปกติดังนี้ เปอร์เซ็นต์การแตกตัวมีค่า  $2.47 \pm 0.88$  และ  $2.67 \pm 0.88$  ในสภาวะการทดลองที่มีและไม่มีกลูโคส ซึ่งค่าที่ได้ไม่แตกต่างจากค่าที่ถูกผลกระทบของไดโนโตรพีนอล เมื่อมีและไม่มีกลูโคสซึ่งเท่ากับ  $2.94 \pm 0.51$  และ  $3.31 \pm 0.75$  (รูปที่ 26 ข.) ค่าการแตกตัวของเซลล์จะสูงขึ้นเล็กน้อย ในเลือดติดเชื้อ พลาสโมเดียม ซาบอดี AS ( $\text{Pr}_1$ ) (รูปที่ 26 จ.) กล่าวคือการนำเข้าของ  $^{14}\text{C}$ -pyrimethamine เมื่อมีไดโนโตรพีนอล 1 มิลลิโมลาร์ จะทำให้เซลล์แตก  $8.62 \pm 0.90$  เปอร์เซ็นต์ และจะลดลง

เหลือ  $8.25 \pm 1.19$  เปอร์เซ็นต์ ถ้าเพิ่มกลูโคสลงไปด้วย ในสภาวะซึ่งมีเฉพาะกลูโคสอย่าง  
เดียว เซลล์จะแตกตัว  $6.71 \pm 0.84$  เปอร์เซ็นต์ ในขณะที่การแตกตัวในสภาวะการนำเข้า  
ซึ่งไม่มีผลกระทบจากสารใดเลยจะเท่ากับ  $7.62 \pm 0.23$  เปอร์เซ็นต์ สำหรับเม็ดเลือดแดง  
ติดเชื้อโคลน AS (รูปที่ 26 ง.) จะให้ค่าการแตกตัวของเซลล์สูงที่สุดคือ  $7.52 \pm 1.09$  และ  
 $8.06 \pm 0.20$  เปอร์เซ็นต์ ในการทดลองเฉพาะเมื่อมีและไม่มีกลูโคสซึ่งน้อยกว่าค่าที่วัดได้ใน  
การทดลองที่มีผลจากไดโนโตรฟินอล ภายใต้สภาวะเดียวกันเล็กน้อย คือ  $8.39 \pm 1.71$  และ  
 $8.68 \pm 0.93$  เปอร์เซ็นต์ตามลำดับ

4.15 ผลของโซเดียมฟลูออไรด์และโซเดียมอาร์ซีเนตต่อการนำเข้าของ  $^{14}\text{C}$ -pyrimethamine  
และการแตกตัวของ เซลล์เม็ดเลือดแดง ในเลือดปกติและเลือดติดเชื้อพลาสโมเดียม ยาบอดี

ทำการศึกษากับเซลล์ขาดอาหารในลักษณะเดียวกับที่ศึกษาผลของไดโนโตรฟินอล โดย  
แทนด้วยโซเดียมฟลูออไรด์หรือโซเดียมอาร์ซีเนต พบว่า โซเดียมฟลูออไรด์ความเข้มข้นสูงถึง  
1 มิลลิโมลาร์ไม่ทำให้ปริมาณการนำเข้าของ  $^{14}\text{C}$ -pyrimethamine ลดลงที่ทุกความเข้มข้นของ  
 $^{14}\text{C}$ -pyrimethamine (2-30 นาโนโมลาร์) ไม่ว่าจะให้มีหรือไม่มีกลูโคส (100 มิลลิโมลาร์)  
ร่วมด้วยก็ตาม และจะปรากฏผลเช่นเดียวกันทั้งในเซลล์เม็ดเลือดแดงปกติและเม็ดเลือดแดงติด  
เชื้อ พลาสโมเดียม ยาบอดี (รูปที่ 27 ก., ค., จ.)

สำหรับผลการศึกษาการแตกตัวของ เซลล์เม็ดเลือดแดง เฉลี่ยที่ทุกความเข้มข้นของ  
 $^{14}\text{C}$ -pyrimethamine พบว่า เซลล์เม็ดเลือดแดงปกติแตก  $2.16 \pm 0.44$  และ  $2.95 \pm$   
 $0.91$  เปอร์เซ็นต์ในการทดลองเฉพาะเมื่อมีและไม่มีกลูโคสตามลำดับ ซึ่งใกล้เคียงกับสภาวะแบบ  
เดียวกัน เมื่อมีโซเดียมฟลูออไรด์ ( $3.05 \pm 0.26$  และ  $3.09 \pm 0.69$  เปอร์เซ็นต์ตามลำดับ)  
ตรงกันข้ามการเพิ่มฟลูออไรด์จะทำให้เลือดติดเชื้อ พลาสโมเดียม ยาบอดี AS แตกตัวเพิ่มขึ้นจาก  
 $7.98 \pm 0.20$  เปอร์เซ็นต์ เมื่อไม่มีกลูโคสเป็น  $9.02 \pm 0.64$  เปอร์เซ็นต์ ในทำนองเดียว  
กันเมื่อมีกลูโคสกับฟลูออไรด์จะแตก  $8.60 \pm 0.59$  เปอร์เซ็นต์มากกว่า เมื่อมีเฉพาะกลูโคส  
อย่างเดียว ซึ่งมีค่าเพียง  $7.47 \pm 1.09$  เปอร์เซ็นต์ ส่วนเลือดติดเชื้อโคลน AS ( $\text{Pr}_1$ )  
เซลล์จะแตก  $8.39 \pm 1.71$  และ  $8.68 \pm 0.93$  เปอร์เซ็นต์ เมื่อถูกผลกระทบจากฟลูออไรด์  
ภายใต้สภาวะทดลองที่มี และไม่มีกลูโคสตามลำดับ มากกว่าสภาวะการทดลองแบบเดียวกัน แต่  
ไม่มีฟลูออไรด์ ( $6.93 \pm 0.84$  และ  $7.74 \pm 0.23$  เปอร์เซ็นต์ตามลำดับ) (รูปที่ 27 ข.,  
ง., ฉ.)



รูปที่ 26. ผลกระทบของ 2,4-ไดไนโตรพีนอล ต่อการนำเข้าของ  $^{14}\text{C}$ -pyrimethamine และการแตกตัวของเซลล์เม็ดเลือดแดงในเลือดปกติและเลือดติดเชื้อ P. chabaudi (50 % parasitemia) ซึ่งทำให้ขาดอาหาร (ข้อ 3.8.4) แล้วทำการทดลองตามวิธีทดลองข้อ 3.8.1 โดยอินคิวเบตเซลล์กับ 2,4-ไดไนโตรพีนอลความเข้มข้น 1 มิลลิโมลาร์ ในฮีพส์บัฟเฟอร์ซาลิน pH 7.4 ที่มีและไม่มีกลูโคส 100 มิลลิโมลาร์ เปรียบเทียบผลกับการทดลอง เมื่อไม่มี 2,4-ไดไนโตรพีนอล นับปริมาณกัมมันตรังสีที่ถูกนำเข้าเซลล์ตามวิธีทดลองข้อ 3.8.2.2

รูปที่ 26 ก., ข. เซลล์เม็ดเลือดแดงปกติ

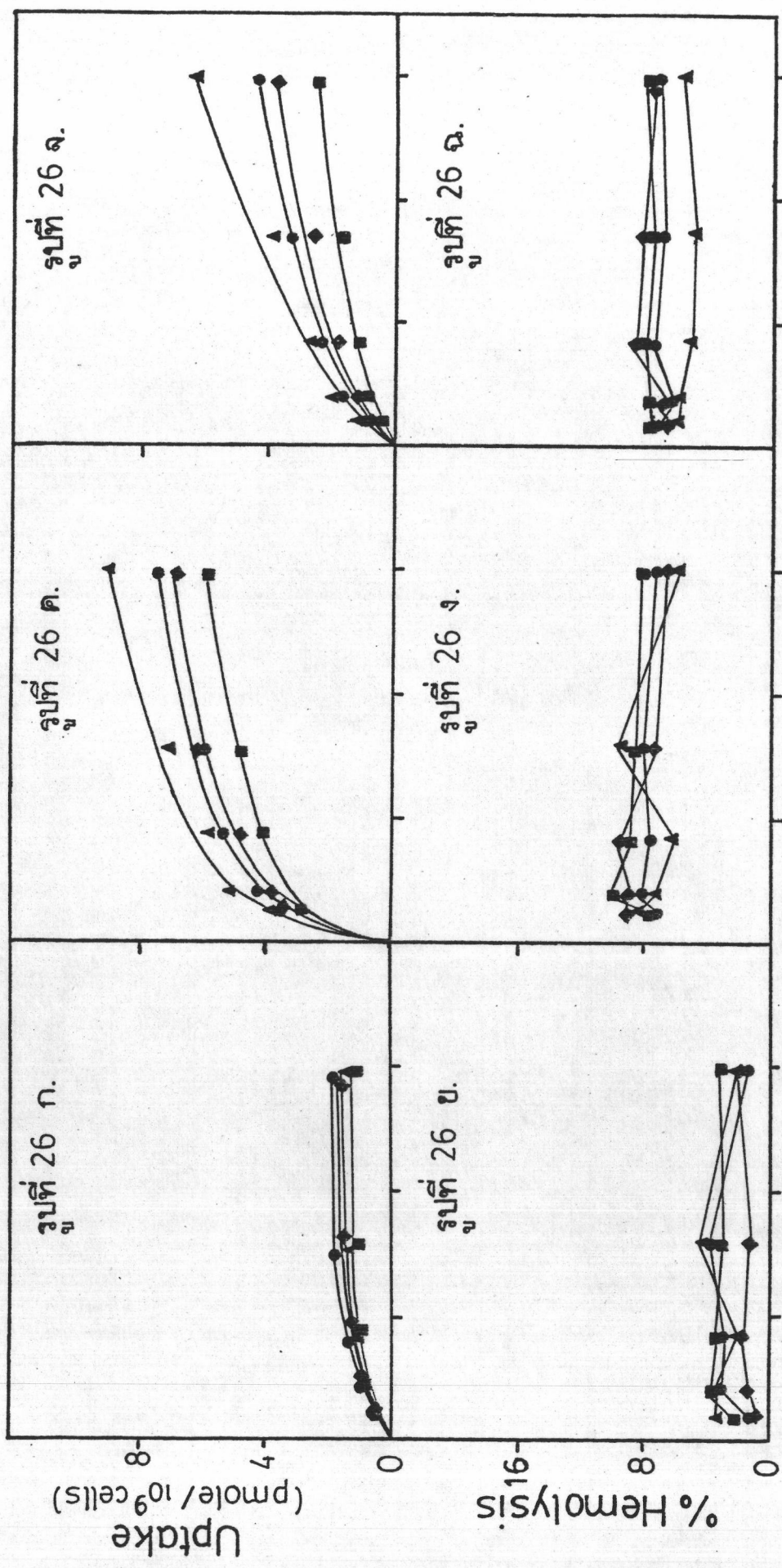
รูปที่ 26 ค., ง. เซลล์เม็ดเลือดแดงติดเชื้อ P. chabaudi AS

รูปที่ 26 จ., ฉ. เซลล์เม็ดเลือดแดงติดเชื้อ P. chabaudi AS(Pr<sub>1</sub>)

Protocol :

- Blood  $5.5 \times 10^8$  cells
- Incubate in HEPES-NaCl pH 7.4 0.8 ml at 37°C 30 min
- Add  $^{14}\text{C}$ -pyrimethamine 2-30 nM
- Add HEPES-NaCl pH 7.4 (with/without 200 mM glucose and with/without 2 mM DNP) to make 2 ml
- Incubate at 37°C 15 min

- - glucose, - DNP
- ▲ + glucose, - DNP
- - glucose, + DNP
- ◆ + glucose, + DNP



<sup>14</sup>C-pyrimethamine (nM)

รูปที่ 27. ผลกระทบของโซเดียมฟลูออไรด์ ต่อการนำเข้าของ  $^{14}\text{C}$ -pyrimethamine และการแตกตัวของเซลล์เม็ดเลือดแดงในเลือดปกติและเลือดติดเชื้อ P. chabaudi (50 % parasitemia) ซึ่งทำให้ขาดอาหาร (ข้อ 3.8.4) แล้วทำการทดลองตามวิธีทดลองข้อ 3.8.1 โดยอินคิวเบตเซลล์กับโซเดียมฟลูออไรด์ ความเข้มข้น 1 มิลลิโมลาร์ ในฮีพล์บัฟเฟอร์ซาลิน pH 7.4 ที่มีและไม่มีกลูโคส 100 มิลลิโมลาร์ เปรียบเทียบผลกับการทดลองเมื่อไม่มีโซเดียมฟลูออไรด์ นับปริมาณกัมมันตรังสีที่ถูกนำเข้าเซลล์ตามวิธีทดลองข้อ 3.8.2.2.

รูปที่ 27 ก., ข. เซลล์เม็ดเลือดแดงปกติ

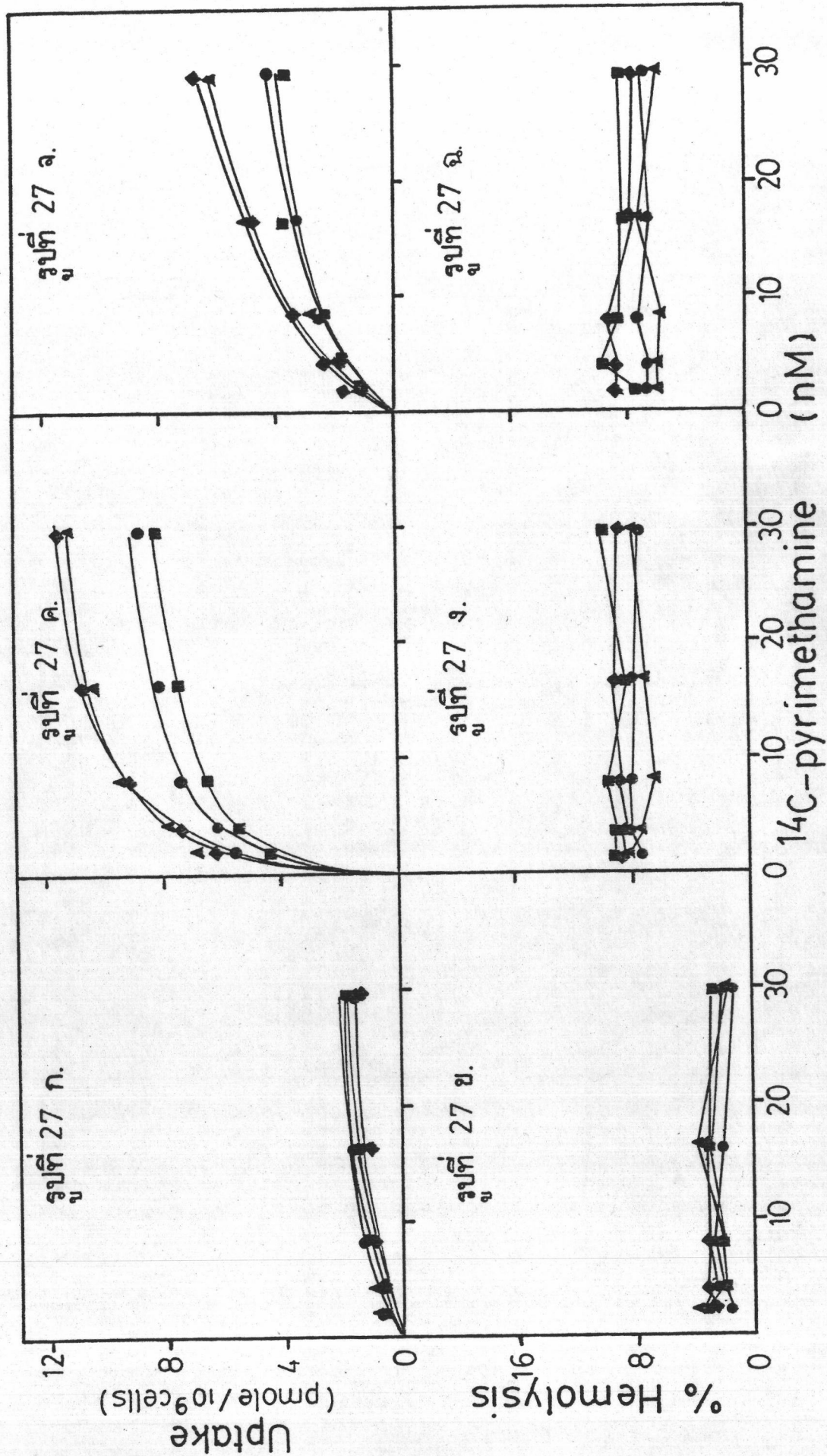
รูปที่ 27 ค., ง. เซลล์เม็ดเลือดแดงติดเชื้อ P. chabaudi AS

รูปที่ 27 ฉ., จ. เซลล์เม็ดเลือดแดงติดเชื้อ P. chabaudi AS(Pr<sub>1</sub>)

Protocol :

- Blood  $5.5 \times 10^8$  cells
- Incubate in HEPES-NaCl pH 7.4 0.8 ml at 37°C 30 min
- Add  $^{14}\text{C}$ -pyrimethamine 2-30 nM
- Add HEPES-NaCl pH 7.4 (with/without 200 mM glucose and with/without 2 mM NaF) to make 2 ml
- Incubate at 37°C 15 min

- - glucose, - NaF
- ▲ + glucose, - NaF
- - glucose, + NaF
- ◆ + glucose, + NaF



จากการศึกษาผลของโซเดียมอาร์ซีเนตต่อการนำเข้าของ  $^{14}\text{C}$ -pyrimethamine ในเซลล์ขาดอาหาร พบว่าโซเดียมอาร์ซีเนตความเข้มข้นสูงถึง 60 มิลลิโมลาร์ ไม่มีผลลด ปริมาณการนำเข้าตลอดช่วง  $^{14}\text{C}$ -pyrimethamine 2-30 นาโนโมลาร์ เช่นเดียวกับที่พบ ในการศึกษาผลกระทบของโซเดียมฟลูออไรด์ (รูปที่ 28 ก., ค., จ.)

เมื่อศึกษาการแตกตัวของเซลล์ควบคู่กับการนำเข้า พบว่าโซเดียมอาร์ซีเนตไม่ทำให้ เซลล์เม็ดเลือดแดงปกติแตกตัวเพิ่มขึ้น โดยมีค่า  $2.72 \pm 0.84$  และ  $3.16 \pm 0.94$  เปอร์เซ็นต์ ซึ่งใกล้เคียงกับค่าที่ได้จากการทดลองเฉพาะที่มีและไม่มีกลูโคส (100 มิลลิโมลาร์) ร่วมด้วยคือ  $1.89 \pm 0.57$  และ  $2.31 \pm 0.76$  เปอร์เซ็นต์ตามลำดับ ตรงกันข้ามโซเดียม อาร์ซีเนตจะมีผลทำให้เลือดติดเชื้อ พลาสโมเดียม ซาบอดี แตกตัวเพิ่มขึ้นดังผลต่อไปนี้ การ ทดลองนำเข้าไปในฮีพลัสเฟอริซาลีน pH 7.4 ที่ไม่มีสารใดเลย มีเฉพาะกลูโคส มีเฉพาะโซเดียม อาร์ซีเนต และเสริมกลูโคสร่วมกับโซเดียมอาร์ซีเนต เลือดติดเชื้อโคลน AS เซลล์เม็ดเลือดแดงจะแตก  $7.86 \pm 0.49$ ,  $7.48 \pm 0.39$ ,  $9.16 \pm 0.82$  และ  $9.00 \pm 0.3$  เปอร์เซ็นต์ตามลำดับ ส่วนเลือดติดเชื้อโคลน AS( $\text{Pr}_1$ ) เซลล์เม็ดเลือดแดงจะแตก  $6.84 \pm 0.36$ ,  $6.12 \pm 0.17$ ,  $7.84 \pm 0.43$  และ  $7.18 \pm 0.2$  เปอร์เซ็นต์ตามลำดับ (รูปที่ 28 ข., ง., จ.)

รูปที่ 28. ผลกระทบของโซเดียมอาร์ซีเนต ต่อการนำเข้าของ  $^{14}\text{C}$ -pyrimethamine และการแตกตัวของเซลล์เม็ดเลือดแดงในเลือดปกติและเลือดติดเชื้อ P. chabaudi (50 % parasitemia) ซึ่งทำให้ขาดอาหาร (ข้อ 3.8.4) แล้วทำการทดลองตามวิธีทดลองข้อ 3.8.1 โดยอินคิวเบตเซลล์กับโซเดียมอาร์ซีเนต ความเข้มข้น 60 มิลลิโมลาร์ ในฮีพส์บัฟเฟอร์ชาลิน pH 7.4 ที่มีและไม่มีกลูโคส 100 มิลลิโมลาร์ เปรียบเทียบผลกับการทดลองเมื่อไม่มีโซเดียมอาร์ซีเนต นับปริมาณกัมมันตรังสีที่ถูกนำเข้าเซลล์ตามวิธีทดลองข้อ 3.8.2.2

รูปที่ 28 ก., ข. เซลล์เม็ดเลือดแดงปกติ

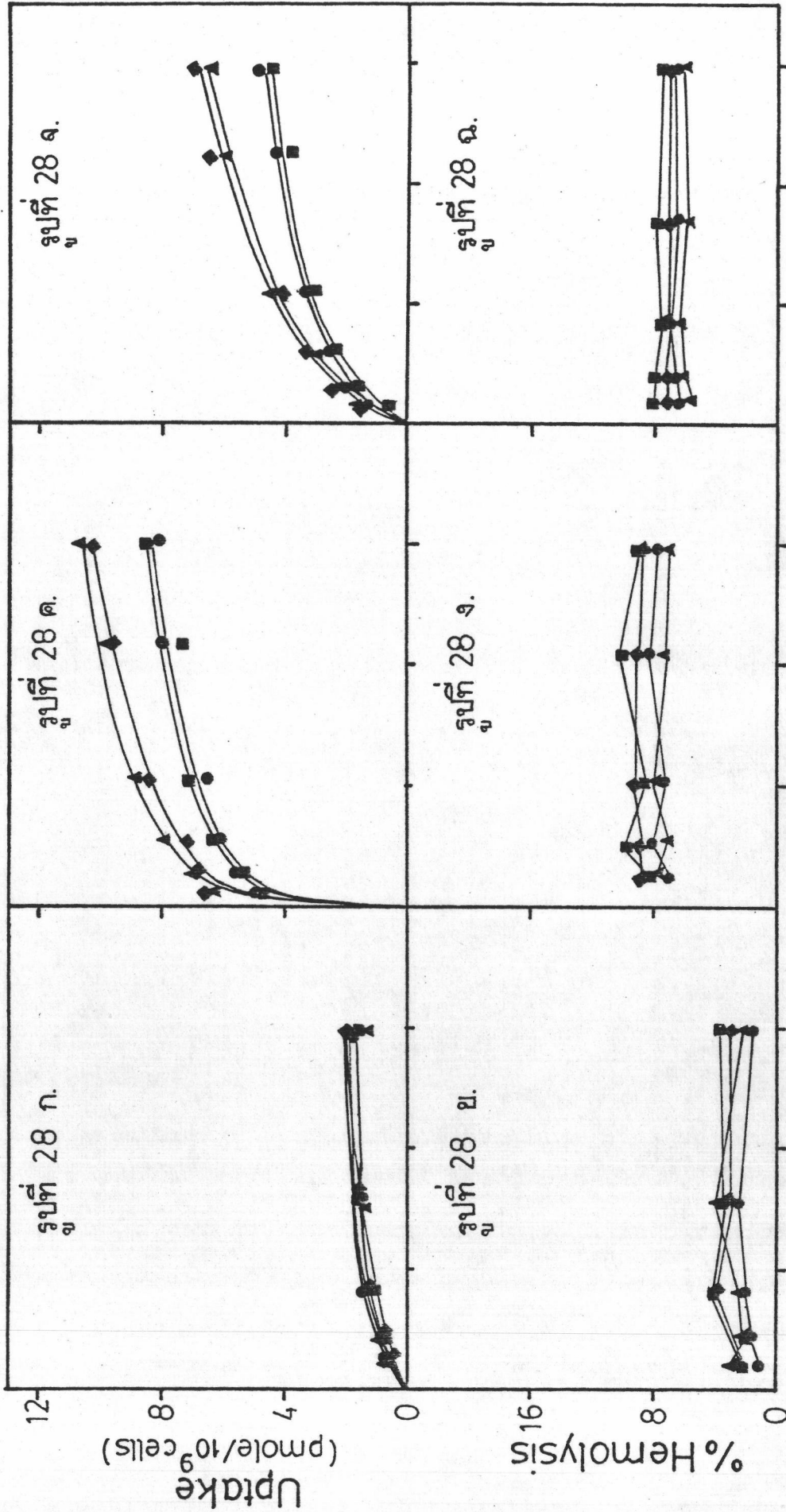
รูปที่ 28 ค., ง. เซลล์เม็ดเลือดแดงติดเชื้อ P. chabaudi AS

รูปที่ 28 จ., ฉ. เซลล์เม็ดเลือดแดงติดเชื้อ P. chabaudi AS(Pr<sub>1</sub>)

Protocol :

- Blood  $5.5 \times 10^8$  cells
- Incubate in HEPES-NaCl pH 7.4 0.8 ml at 37°C 30 min
- Add  $^{14}\text{C}$ -pyrimethamine 2-30 nM
- Add HEPES-NaCl pH 7.4 (with/without 200 mM glucose and with/without 120 mM  $\text{Na}_2\text{HAsO}_4$ ) to make 2 ml
- Incubate at 37°C 15 min

- - glucose, -AsO<sub>4</sub><sup>3-</sup>
- ▲ + glucose, -AsO<sub>4</sub><sup>3-</sup>
- - glucose, +AsO<sub>4</sub><sup>3-</sup>
- ◆ + glucose, +AsO<sub>4</sub><sup>3-</sup>



4.16 ผลการศึกษาสภาวะที่เหมาะสมในการแยกเซลล์พลาสโมเดียม ข้าบอดี อีลัระจากเซลล์เม็ดเลือดแดงติดเชื้อ

เมื่อทำการทดลองเตรียมเซลล์พลาสโมเดียมอีลัระจากเซลล์เม็ดเลือดแดงติดเชื้อพลาสโมเดียม ข้าบอดี โดยทำลายเยื่อเซลล์เม็ดเลือดแดงติดเชื้อด้วยซาโปนิน โดยใช้สารละลาย 0.015 เปอร์เซ็นต์ซาโปนินในอัตราส่วน 1:20 (สารละลายซาโปนิน : ปริมาตรเซลล์) และอินคิวเบตที่อุณหภูมิ 37 องศาเซลเซียส (ข้อ 3.10.1) ทำการศึกษาเวลาที่เหมาะสมสำหรับการอินคิวเบตเซลล์เม็ดเลือดแดงกับซาโปนิน เพื่อให้ได้เซลล์พลาสโมเดียมอีลัระโดยที่เยื่อเซลล์ไม่ถูกทำลายด้วยซาโปนินหรือถูกทำลายน้อยที่สุด โดยติดตามเปรียบเทียบกับปริมาณโปรตีน และแอกติวิตีของเอนไซม์ไคโตโรฟเลต ริงค์เตลล์

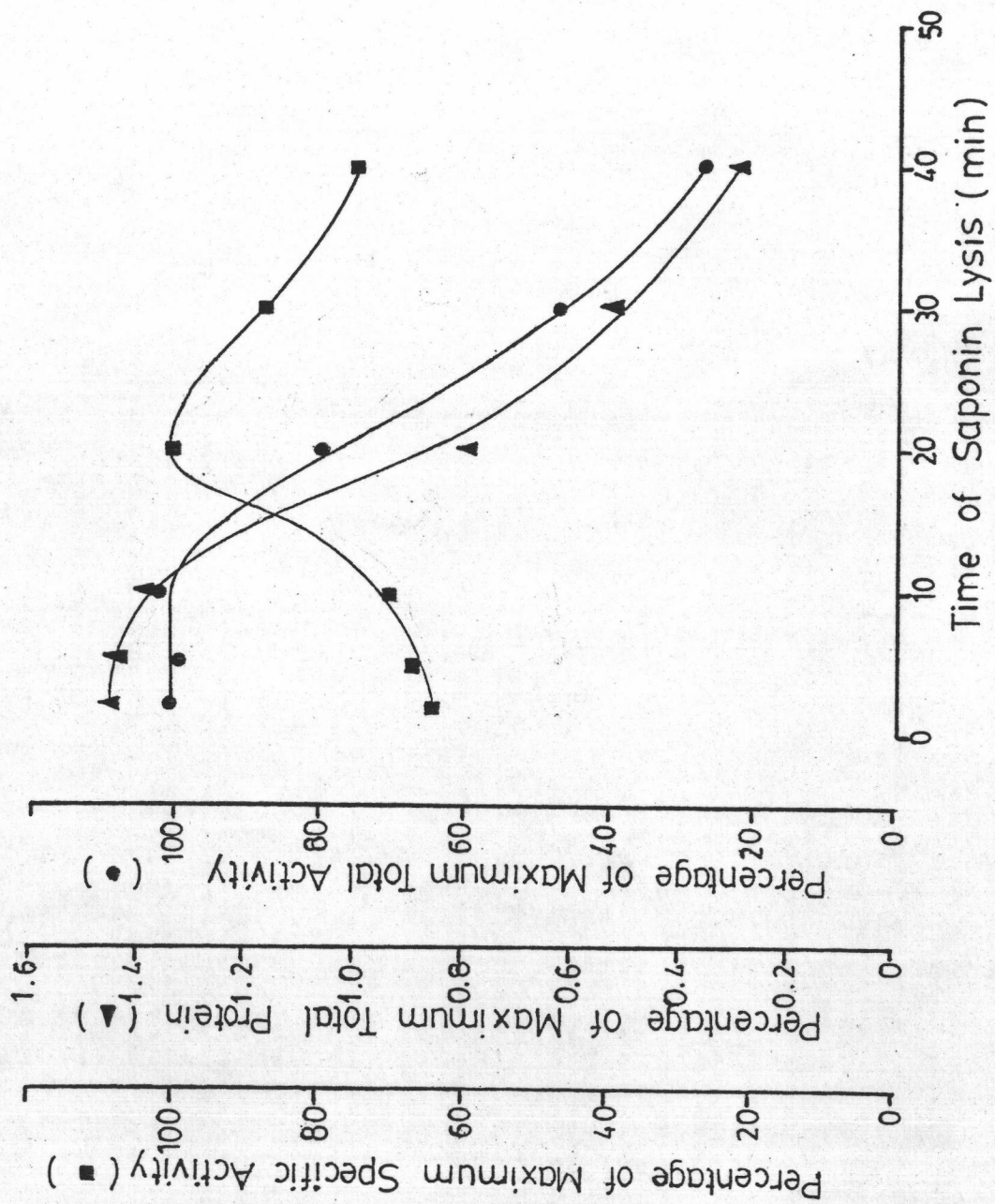
ผลการทดลองในรูปที่ 29 ซึ่งใช้เม็ดเลือดแดงติดเชื้อ พลาสโมเดียม ข้าบอดี AS เป็นแม่แบบพบว่า หลังจากอินคิวเบตเลือดติดเชื้อ (50 เปอร์เซ็นต์เม็ดเลือดแดงติดเชื้อ) กับ 0.015 เปอร์เซ็นต์ซาโปนินนาน 2 นาที ปริมาณโปรตีนจะลดลงเหลือเพียง 1.44 เปอร์เซ็นต์ของปริมาณโปรตีนทั้งหมดที่วัดได้จากเลือดในปริมาตรที่นำมาทดลอง เมื่อเพิ่มเวลาจนถึง 10 นาที ปริมาณโปรตีนจะลดลงเล็กน้อยเหลือประมาณ 1.36 เปอร์เซ็นต์ หลังจากนั้นจะลดลงอย่างรวดเร็วถ้ายังอินคิวเบตเซลล์ในสารละลายซาโปนินต่อไปอีกคือ จะมีค่า 0.80, 0.52 และ 0.30 เปอร์เซ็นต์ที่เวลา 20, 30 และ 40 นาทีตามลำดับ

จากการวัดแอกติวิตีของเอนไซม์ไคโตโรฟเลต ริงค์เตลล์ (ข้อ 3.12.1) ที่อุณหภูมิ 37 องศาเซลเซียส พบว่า เมื่อเตรียมเอนไซม์จากเลือดติดเชื้อ (50 เปอร์เซ็นต์เม็ดเลือดแดงติดเชื้อ) โดยการทำลายเยื่อเซลล์ทั้งหมดทันทีด้วย 1 เปอร์เซ็นต์ไตรตอน X-100 จะไม่สามารถวัดแอกติวิตีของเอนไซม์ไคโตโรฟเลต ริงค์เตลล์ได้ แต่จะเริ่มวัดแอกติวิตีของเอนไซม์ไคโตโรฟเลต ริงค์เตลล์ได้เมื่อทำให้เซลล์เม็ดเลือดแดงของเลือดติดเชื้อแตกไปบางส่วนแล้วจึงสกัดเอนไซม์จากเซลล์พลาสโมเดียมอีลัระ โดยการใช้สารละลายไตรตอน X-100 ซึ่งผลการทดลองปรากฏว่า แอกติวิตีจำเพาะของเอนไซม์ไคโตโรฟเลต ริงค์เตลล์ เพิ่มขึ้นเมื่อเพิ่มเวลาของการแยกเซลล์พลาสโมเดียมอีลัระด้วยซาโปนินนานขึ้น และจะมีค่าสูงสุดที่เวลา 20 นาที หลังจากนั้นแอกติวิตีจำเพาะของเอนไซม์ไคโตโรฟเลต ริงค์เตลล์จะลดลง ผลการติดตามแอกติวิตีสุทธิของเอนไซม์แสดงให้เห็นว่า มีค่าคงที่ในช่วงประมาณ 2, 5 และ 10 นาที หลังจากนั้นปริมาณเอนไซม์จะลดลงอย่างเห็นได้ชัด

การแยกพลาสโมเดียมอีลัระเพื่อศึกษาแอกติวิตีของ เอนไซม์ไคโตโรฟเลต ริงค์เตลล์ในจานวีลล์นี้จึงใช้ตามวิธีทดลองข้อ 3.10.1 นาน 10 นาที ตลอดไป



รูปที่ 29. ผลการแยกเซลล์ *P. chabaudi* AS อีสระ โดยวิธีทำลายเยื่อเซลล์เม็ดเลือดแดงติดเชื้อด้วย 0.015 เปอร์เซนต์ ซาโปนิน ตามวิธีทดลองข้อ 3.10.1 เป็นเวลาต่าง ๆ กัน ตั้งแต่ 2-40 นาที เปรียบเทียบจำนวนเซลล์อีสระ จากการวัดปริมาณโปรตีน (ข้อ 3.11.) และแอกติวิตีของ เอ็นไซม์ไดไฮโดรโฟเลต รีดักเตส (ข้อ 3.12.1) ที่อุณหภูมิ 37° ซ



4.17 ผลการศึกษาเปรียบเทียบเอนไซม์ไดไฮโดรโฟเลต รีดักเตส, เซอรีน ไฮดรอกซีเมทริล-  
ทรานส์เฟอเรสและไดไฮโดรพเทอโรเอต ซีนเตส ในพลาสมาเดียม ข้าบอดี AS  
และ AS (Pr<sub>1</sub>)

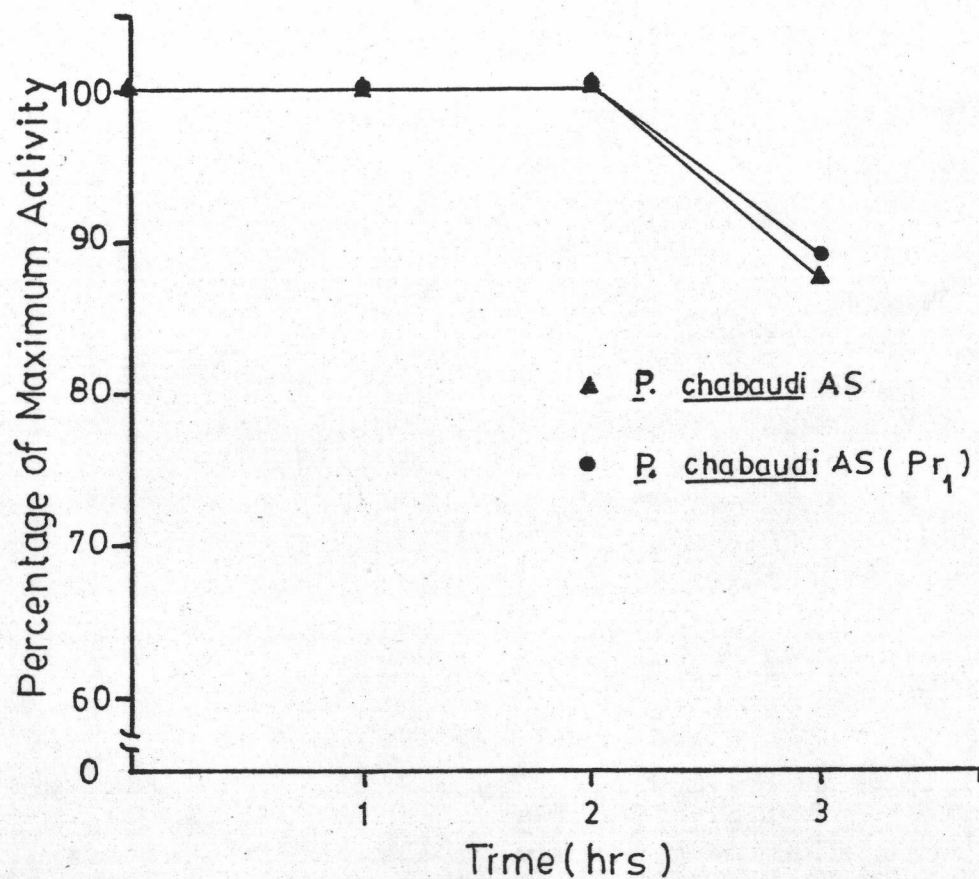
4.17.1 เอนไซม์ไดไฮโดรโฟเลต รีดักเตส

4.17.1.1 ผลการศึกษาเปรียบเทียบเสถียรภาพของเอนไซม์ไดไฮโดร-  
โฟเลต รีดักเตสที่อุณหภูมิ 4 องศาเซลเซียส

การวัดแอกติวิตีของ เอนไซม์ไดไฮโดรโฟเลต รีดักเตสตามวิธีข้อ 3.12.1  
ติดตามจากการลดปริมาณของ NADPH ซึ่งในการวัดแต่ละตัวอย่างใช้เวลาประมาณ 5 นาที  
ถึงแม้ว่าจะเก็บเอนไซม์ที่อุณหภูมิ 4 องศาเซลเซียสและมี 1 มิลลิโมลาร์ 2-เมอร์เคพโตเอท-  
ธานอลร่วมอยู่ด้วย ก็น่าสนใจที่จะศึกษาเสถียรภาพของ เอนไซม์ในระหว่างทำการทดลองเพื่อ  
เพิ่มความเชื่อมั่นของค่าแอกติวิตีที่วัดได้ ผลการทดลองรูปที่ 30 แสดงว่าในระยะเวลา 2 ชั่วโมง  
แรกของการทดลอง เอนไซม์จากทั้ง พลาสมาเดียม ข้าบอดี AS และ AS (Pr<sub>1</sub>) จะ  
ยังไม่สูญเสียแอกติวิตี แต่แอกติวิตีของเอนไซม์ไดไฮโดรโฟเลต รีดักเตส จะลดลงเหลือประมาณ  
87.5 เปอร์เซ็นต์ในเวลา 3 ชั่วโมง

4.17.1.2 ผลการศึกษาเปรียบเทียบผลกระทบของโปแตสเซียมคลอไรด์  
ต่อแอกติวิตีของเอนไซม์ไดไฮโดรโฟเลต รีดักเตส

จากการวัดแอกติวิตีของ เอนไซม์ไดไฮโดรโฟเลต รีดักเตสที่โปแตสเซียม-  
คลอไรด์ ความเข้มข้นต่าง ๆ กัน (0-0.3 โมลาร์) พบว่าแอกติวิตีของเอนไซม์จาก พลาสมา-  
เดียม ข้าบอดี AS (Pr<sub>1</sub>) ไม่ต้องการโปแตสเซียมคลอไรด์ ส่วนแอกติวิตีของเอนไซม์เดียวกัน  
ในเชื้อโคลน AS จะเพิ่มขึ้น 40 เปอร์เซ็นต์เมื่อถูกกระตุ้นด้วย โปแตสเซียมคลอไรด์ 0.05 โม-  
ลาร์ และค่อนข้างจะคงที่ตลอดช่วงความเข้มข้นที่ใช้ทดลอง (รูปที่ 31) ซึ่งในการวิจัยจะเลือก  
โปแตสเซียมคลอไรด์ 0.15 โมลาร์ สำหรับศึกษาแอกติวิตีของเอนไซม์ไดไฮโดรโฟเลต รีดักเตส  
จากเชื้อทั้ง 2 โคลน



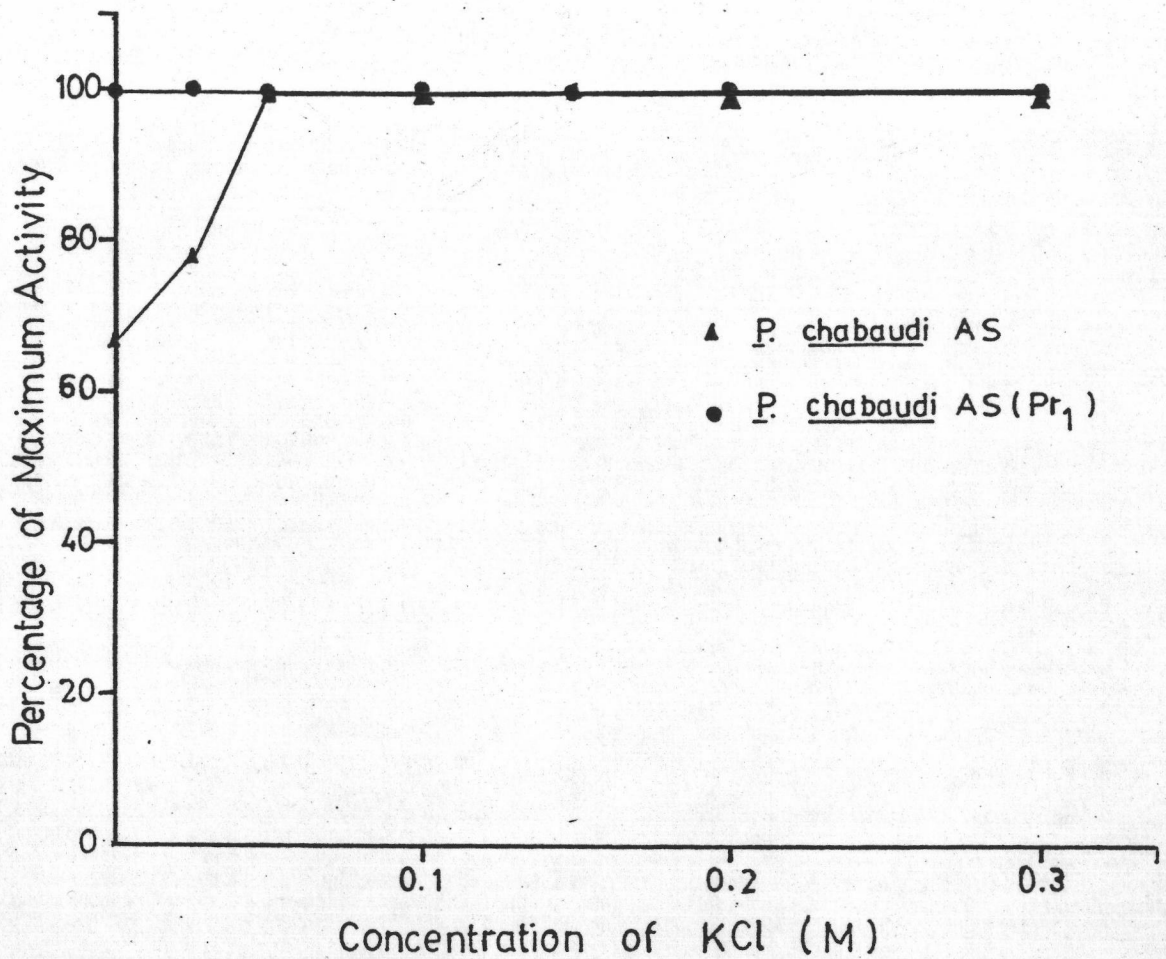
รูปที่ 30.

เสถียรภาพของแอนไซม์ไดไฮโดรโฟเลต รีดักเตส

ที่อุณหภูมิ 4 °ซ เมื่อละลายแอนไซม์มี

2-เมอร์แคปโตเอทานอล 1 มิลลิโมลาร์ วัดแอกติ-

วิตตามวิธีทดลองในข้อ 3.12.1 ที่อุณหภูมิ 37 °ซ



รูปที่ 31. ผลกระทบของปริมาณโซเดียมคลอไรด์ต่อแอกติวิตีของ  
 เอนไซม์ไดไฮโดรโฟเลต รีดักเตส วัดแอกติวิตี  
 ตามวิธีทดลองข้อ 3.12.1 ที่อุณหภูมิ 37<sup>o</sup>ซ เมื่อ  
 มีโซเดียมคลอไรด์ความเข้มข้นต่าง ๆ กันตั้งแต่  
 0-0.3 โมลาร์

#### 4.17.1.3 ผลการศึกษาเปรียบเทียบผลกระทบบของ pH ต่อแอกติวิตีของเอนไซม์ไดไฮโดรโฟเลต รีดักเตส

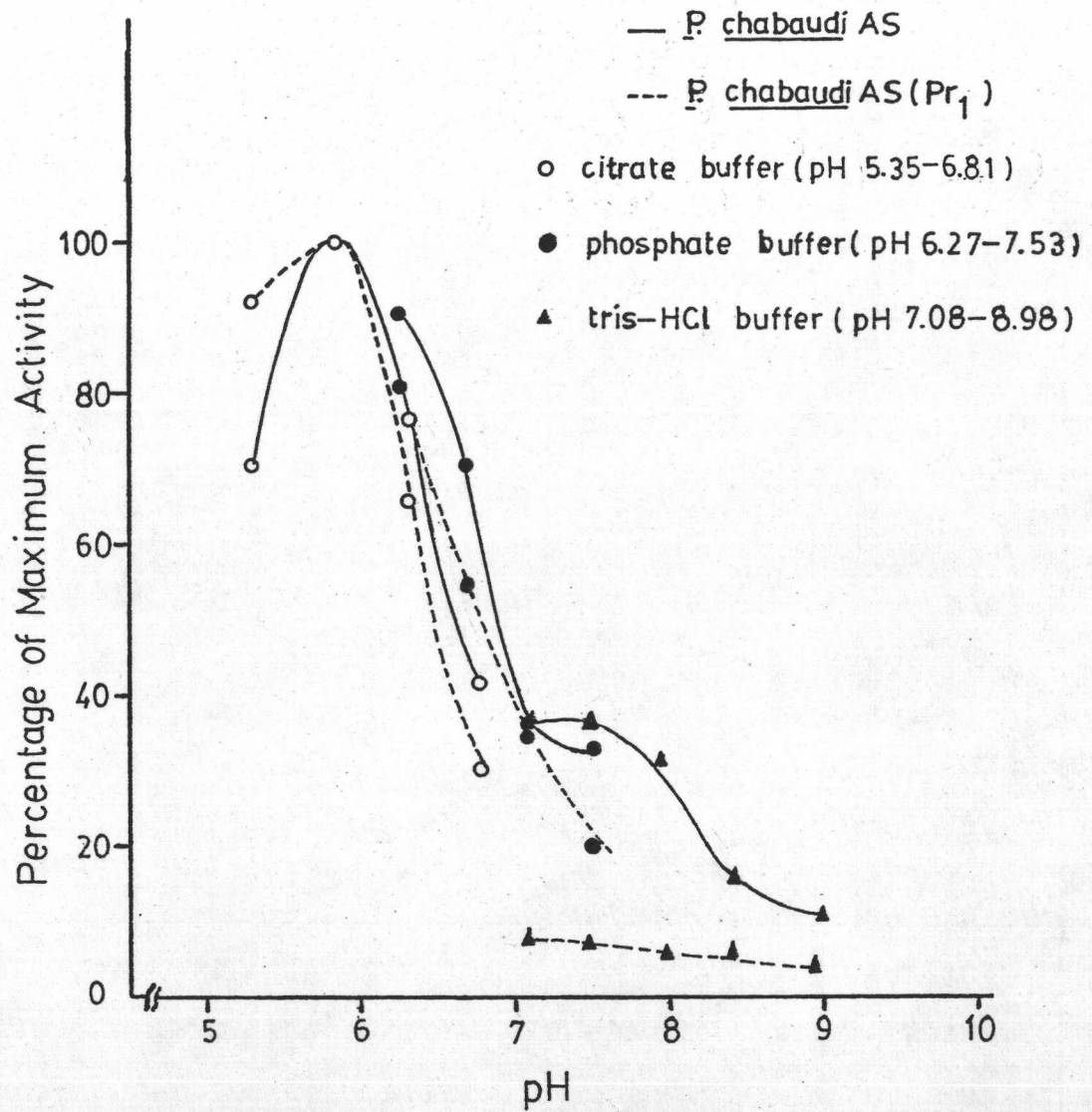
ทำการทดลองเปรียบเทียบแอกติวิตีของเอนไซม์ในบัฟเฟอร์ pH ต่าง ๆ ได้แก่ซีเตรตบัฟเฟอร์ ฟอสเฟตบัฟเฟอร์ และทริส-ไฮโดรคลอไรด์บัฟเฟอร์ ปรากฏว่า pH ที่เหมาะสมต่อการทำงานของเอนไซม์ซึ่งสกัดจากเชื้อ พลาสโมเดียม ซาบอดี AS และ AS (Pr<sub>1</sub>) มีค่าใกล้เคียงกัน คือ ประมาณ pH 5.9 (ซีเตรตบัฟเฟอร์) pH สูงหรือต่ำกว่านี้จะมีผลทำให้แอกติวิตีของเอนไซม์ลดลงอย่างรวดเร็ว (รูปที่ 32) นอกจากนี้ยังพบอีกว่า ทริส-ไฮโดรคลอไรด์บัฟเฟอร์จะมีผลกระทบบต่อแอกติวิตีของเอนไซม์ไดไฮโดรโฟเลต รีดักเตสจากเชื้อโคลน AS และ AS (Pr<sub>1</sub>) แตกต่างกันอย่างเห็นได้ชัด คือ pH ระหว่าง 7-9 จะให้ค่าแอกติวิตีของเอนไซม์ที่ได้จาก พลาสโมเดียม ซาบอดี AS (Pr<sub>1</sub>) ต่ำกว่าพลาสโมเดียม ซาบอดี AS

#### 4.17.1.4 ผลการศึกษาเปรียบเทียบผลกระทบบของอุณหภูมิต่อแอกติวิตีของเอนไซม์ไดไฮโดรโฟเลต รีดักเตส

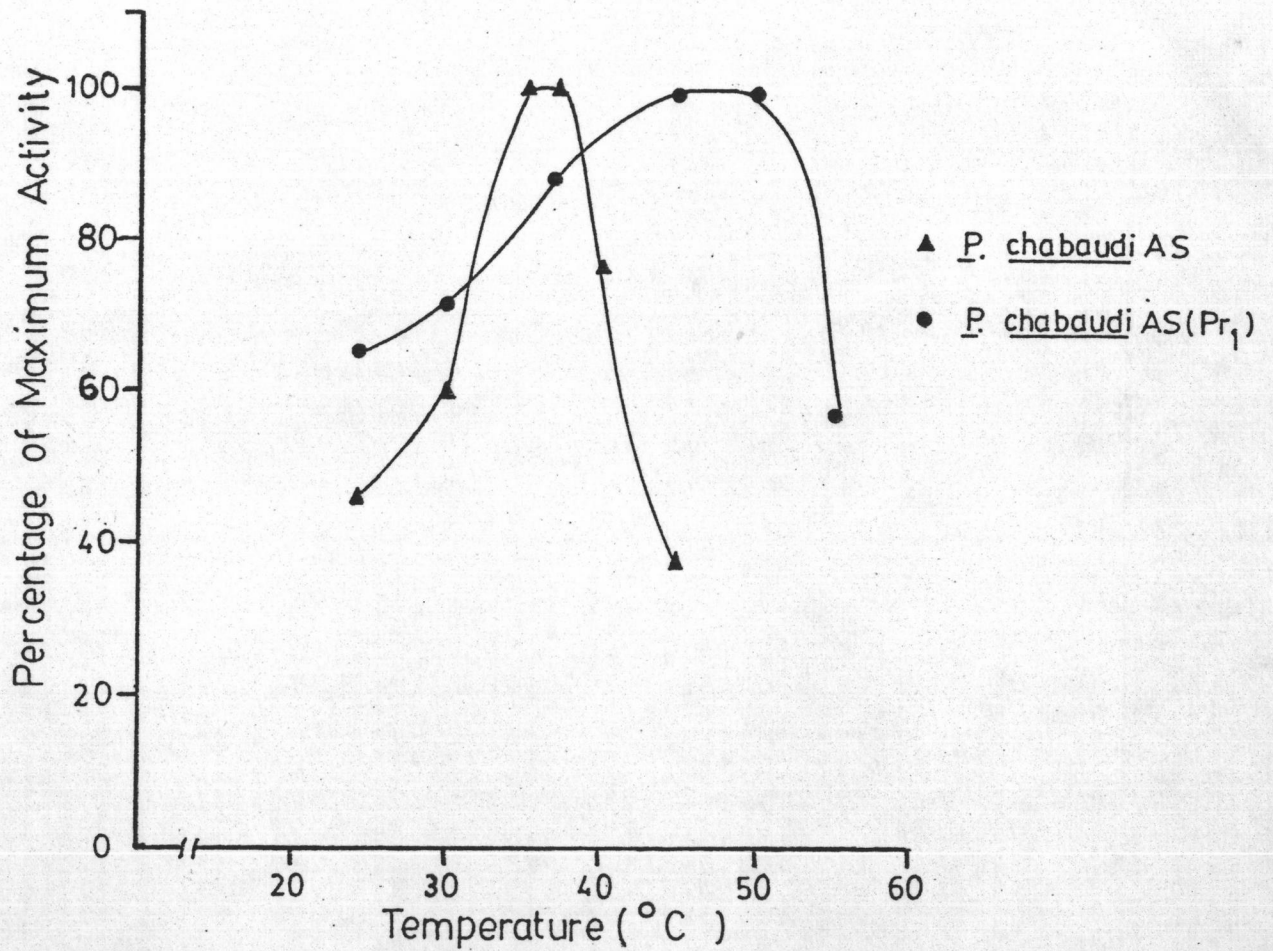
เมื่อทำการวัดแอกติวิตีของเอนไซม์ไดไฮโดรโฟเลต รีดักเตสจากพลาสโมเดียม ซาบอดี AS และ AS (Pr<sub>1</sub>) ที่อุณหภูมิ 24-55 องศาเซลเซียส ผลการทดลอง (รูปที่ 33) พบว่า ให้รูปแบบต่างกันอย่างเห็นได้ชัด อุณหภูมิที่เหมาะสมสำหรับการเร่งปฏิกิริยาของเอนไซม์จากเชื้อโคลน AS จะเป็นช่วงแคบระหว่าง 35-37 องศาเซลเซียส ส่วนเอนไซม์เดียวกันในเชื้อโคลน AS (Pr<sub>1</sub>) จะค่อย ๆ เพิ่มแอกติวิตี เมื่ออุณหภูมิเปลี่ยนจาก 24 องศาเซลเซียส และจะมีค่าคงที่ที่อุณหภูมิประมาณ 45-50 องศาเซลเซียส

#### 4.17.1.5 ผลการศึกษาเปรียบเทียบค่า K<sub>m</sub> ของเอนไซม์ไดไฮโดรโฟเลต รีดักเตสต่อไดไฮโดรโฟเลต

ทำการทดลองเปรียบเทียบระหว่าง พลาสโมเดียม ซาบอดี AS และ AS (Pr<sub>1</sub>) โดยวัดแอกติวิตีของเอนไซม์ที่อุณหภูมิ 37 องศาเซลเซียส หาค่า K<sub>m</sub> ด้วยวิธี Lineweaver-Burk Plot ปรากฏว่า เอนไซม์ไดไฮโดรโฟเลต รีดักเตส จากเชื้อโคลน AS (Pr<sub>1</sub>) จะมีค่า K<sub>m</sub> ต่อไดไฮโดรโฟเลตเท่ากับ  $11.8 \pm 0.7$  ไมโครโมลาร์ น้อยกว่าค่าของเอนไซม์เดียวกันที่สกัดจากเชื้อโคลน AS ( $44.9 \pm 0.6$  ไมโครโมลาร์) ประมาณ 4 เท่า (รูปที่ 34, 35)

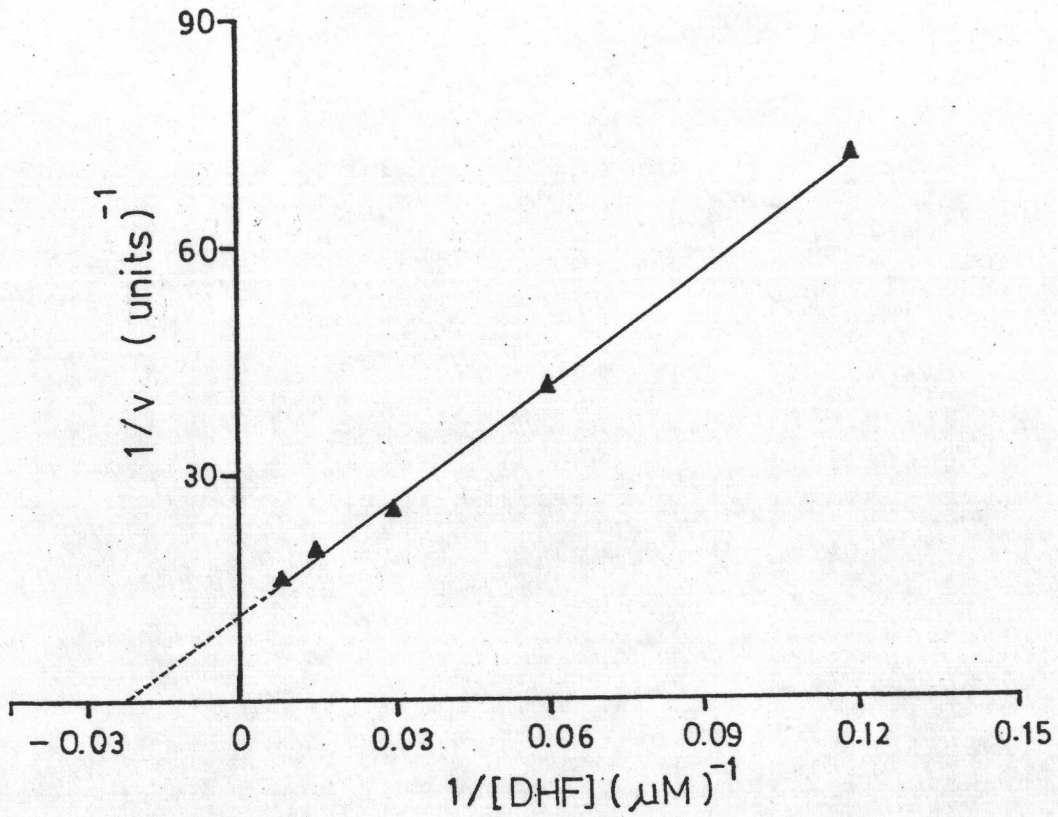


รูปที่ 32. ผลกระทบของ pH ต่อแอกติวิตีของเอนไซม์ไคโตรีเฟลต รีดักเตส วัดแอกติวิตีตามวิธีทดลองในข้อ 3.12.1 ที่อุณหภูมิ 37°ซ ในสารละลายบัฟเฟอร์ (0.5โมลาร์) pHต่าง ๆ

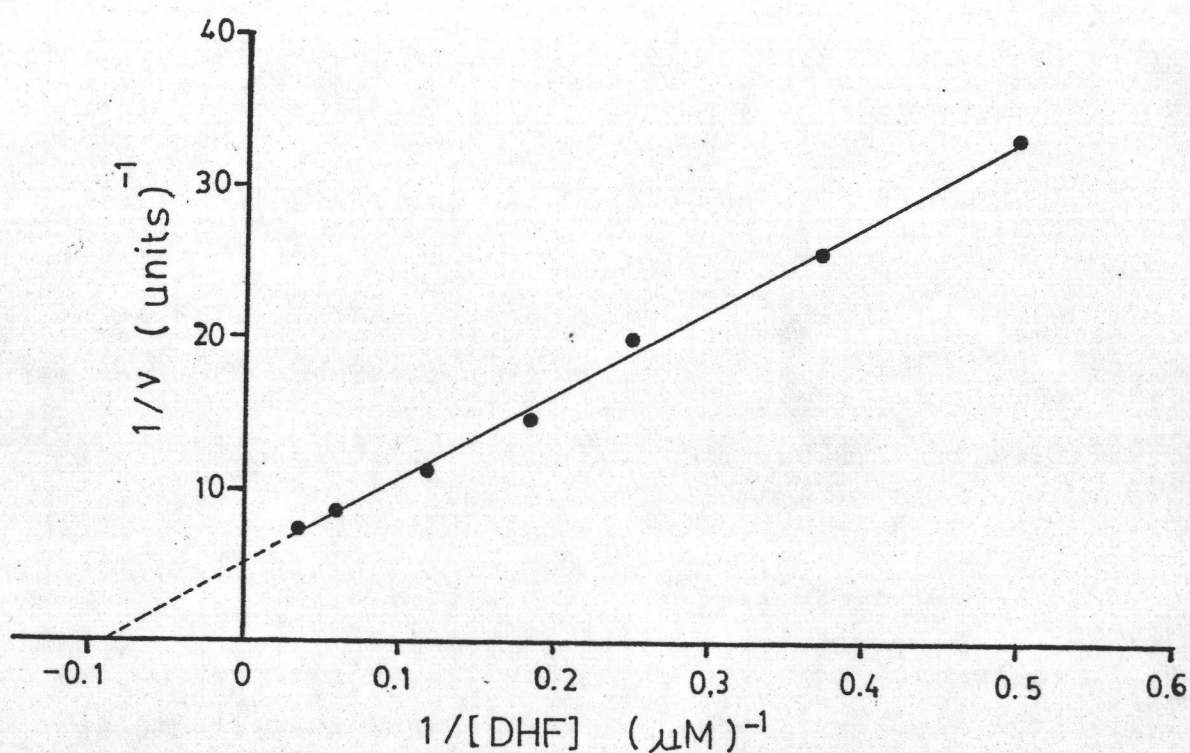


รูปที่ 33. ผลกระทบของอุณหภูมิต่อแอกติวิตีของแอนิเมชันไดไฮโดรโฟเลต รีดักเตส วัดแอกติวิตีตามวิธีทดลองในข้อ 3.12.1 ที่อุณหภูมิต่างๆกันตั้งแต่ 24-55 °ซ





รูปที่ 34. Lineweaver-Burk Plot ของเอนไซม์ไดไฮโดรโฟเลตรีดักเตส จาก *P. chabaudi* AS กับลีสบัสเตรตไดไฮโดรโฟเลต วัดแอกติวิตีตามวิธีทดลองในข้อ 3.12.1 ที่อุณหภูมิ  $37^{\circ}\text{C}$  โดยใช้ลีสบัสเตรตความเข้มข้นต่างๆกัน ตั้งแต่ 0-133 ไมโครโมลาร์



รูปที่ 35. Lineweaver-Burk Plot ของเอนไซม์ไดไฮโดรฟี-  
 เลต ริคค์เตลส์ จาก P. chabaudi AS( $\text{Pr}_1$ ) กับ  
 สับสเตรตไดไฮโดรฟีเลต วัดแอกติวิตีตามวิธี  
 ทดลองในข้อ 3.12.1 ที่อุณหภูมิ  $37^\circ\text{C}$  โดยใช้สับ-  
 สเตรตความเข้มข้นต่างๆกันตั้งแต่ 0-28 ไมโครโมลาร์

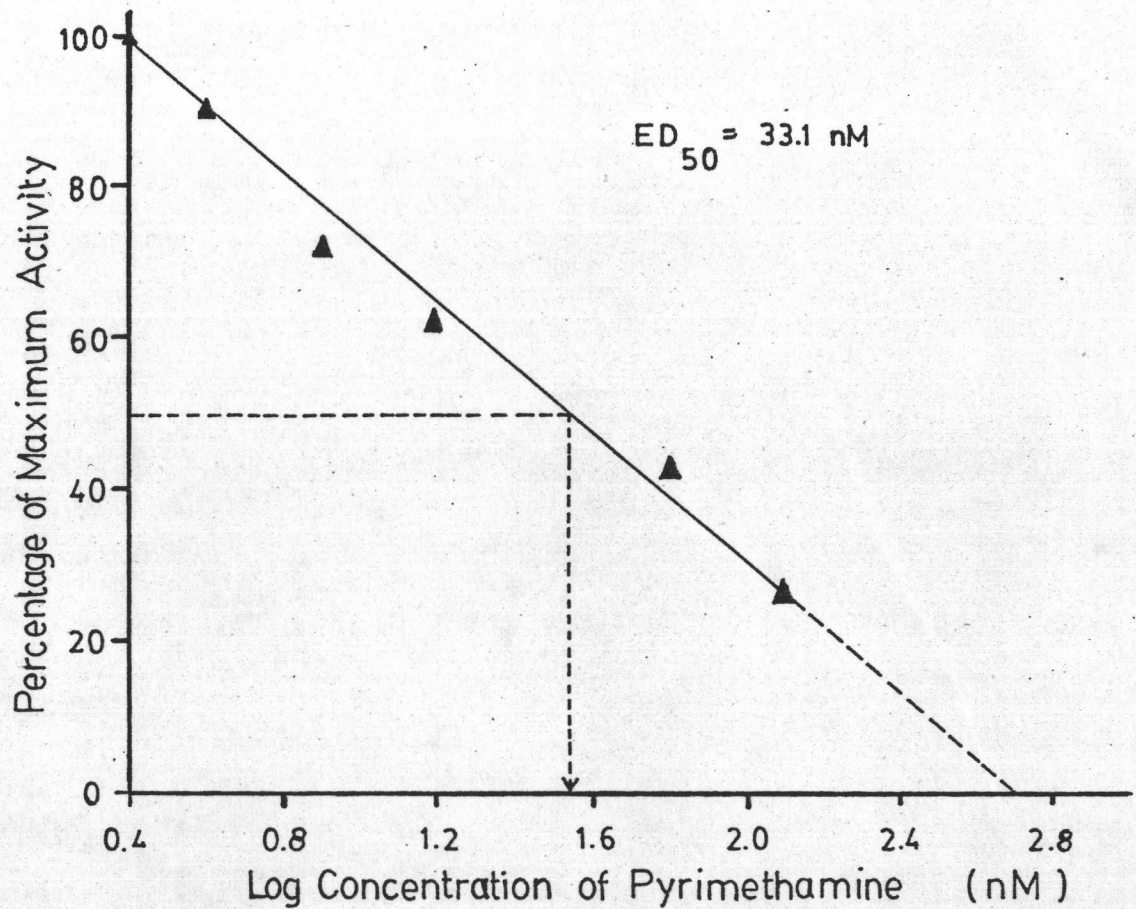


และตารางที่ 6)

4.17.1.6 ผลการศึกษาเปรียบเทียบผลกระทบบของไฟรีเมธาซีนต่อแอกติวิตีของเอนไซม์ไดไฮโดรโฟเลต ริดักเตส

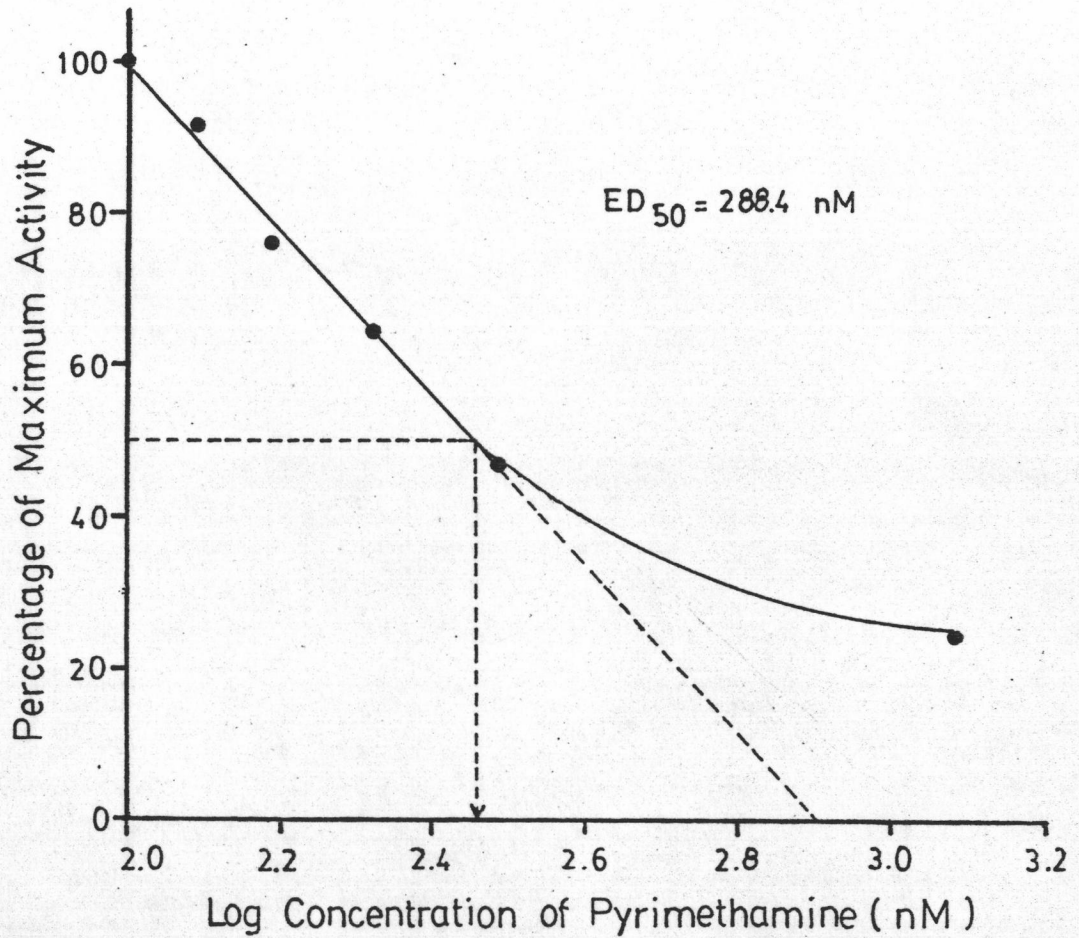
ได้ทำการทดลองหาค่า  $ED_{50}$  ซึ่งหมายถึงความเข้มข้นของไฟรีเมธาซีนที่ทำให้แอกติวิตีของเอนไซม์ลดลงจากแอกติวิตีเริ่มต้น 50 เปอร์เซ็นต์ โดยใช้ไฟรีเมธาซีนความเข้มข้นต่าง ๆ ในช่วง 4-125 นาโนโมลาร์ยับยั้งการเร่งปฏิกิริยาของเอนไซม์ไดไฮโดรโฟเลต ริดักเตส จากพลาสมาโมเดียม ซาบอดี AS และ 0.12 - 1.25 ไมโครโมลาร์ยับยั้งการเร่งปฏิกิริยาของเอนไซม์เดียวกันจากเชื้อโคลน AS ( $Pr_1$ ) (เอนไซม์แอกติวิตี 7 หน่วยเท่ากัน) วัดแอกติวิตี (ที่อุณหภูมิ 37 องศาเซลเซียส) ซึ่งเหลือจากการยับยั้งด้วยไฟรีเมธาซีนหาค่า  $ED_{50}$  โดยการสร้างความสัมพันธ์ระหว่างแอกติวิตีของเอนไซม์กับค่าลอการิทึม (log) ของความเข้มข้นของไฟรีเมธาซีน พบว่า  $ED_{50}$  ต่อเอนไซม์ไดไฮโดรโฟเลต ริดักเตสจากเชื้อโคลน AS เท่ากับ 33.1 นาโนโมลาร์ (รูปที่ 36) และเมื่อลากเส้นต่อจุด (extrapolate) มายังแกนนอนของกราฟ (abscissa) ปรากฏว่าเอนไซม์แอกติวิตีจะถูกยับยั้งอย่างสมบูรณ์ด้วยไฟรีเมธาซีนความเข้มข้นประมาณ 500 นาโนโมลาร์ ส่วนเอนไซม์ไดไฮโดรโฟเลต ริดักเตสที่พบในพลาสมาโมเดียม ซาบอดี AS ( $Pr_1$ ) จะถูกยับยั้งด้วยไฟรีเมธาซีนด้วยรูปแบบที่ต่างจากเอนไซม์ของเชื้อโคลน AS (รูปที่ 37) โดยแอกติวิตีจะลดลงเป็นสัดส่วนกับการเพิ่มความเข้มข้นของไฟรีเมธาซีนจนเหลือ 45 เปอร์เซ็นต์ที่ไฟรีเมธาซีนความเข้มข้นประมาณ 331 นาโนโมลาร์ ซึ่งจะได้ค่า  $ED_{50}$  ต่อเอนไซม์เท่ากับ 288.4 นาโนโมลาร์ (สูงประมาณ 9 เท่าของค่าที่พบในเชื้อโคลน AS) แต่ผลยับยั้งจะลดลงเมื่อใช้ไฟรีเมธาซีนมากกว่า 331 นาโนโมลาร์ จากผลการทดลองถ้าทำการลากต่อเส้นกราฟมายังแกนนอน ปรากฏว่าแอกติวิตีของเอนไซม์จะถูกยับยั้งอย่างสมบูรณ์ที่ไฟรีเมธาซีนความเข้มข้นประมาณ 794 นาโนโมลาร์

ค่า  $K_i$  ต่อไฟรีเมธาซีนของเอนไซม์ไดไฮโดรโฟเลต ริดักเตสหาได้จาก การเขียนกราฟสร้างความสัมพันธ์ระหว่างความเข้มข้นของไฟรีเมธาซีนกับแอกติวิตีของเอนไซม์ (วัดที่อุณหภูมิ 37 องศาเซลเซียส) ตามแบบของ Dixon Plot ที่ไดไฮโดรโฟเลตความเข้มข้นต่าง ๆ 3 ค่า ดังแสดงในรูปที่ 38 และ 39 พบว่าแอกติวิตีของเอนไซม์จาก พลาสมาโมเดียม ซาบอดี AS จะถูกยับยั้งแบบไม่แข่งขัน (non-competitive inhibition) โดยไฟรีเมธาซีนด้วยค่า  $K_i$  เท่ากับ 30 นาโนโมลาร์ ส่วนเอนไซม์ไดไฮโดรโฟเลต ริดักเตสในเชื้อโคลน



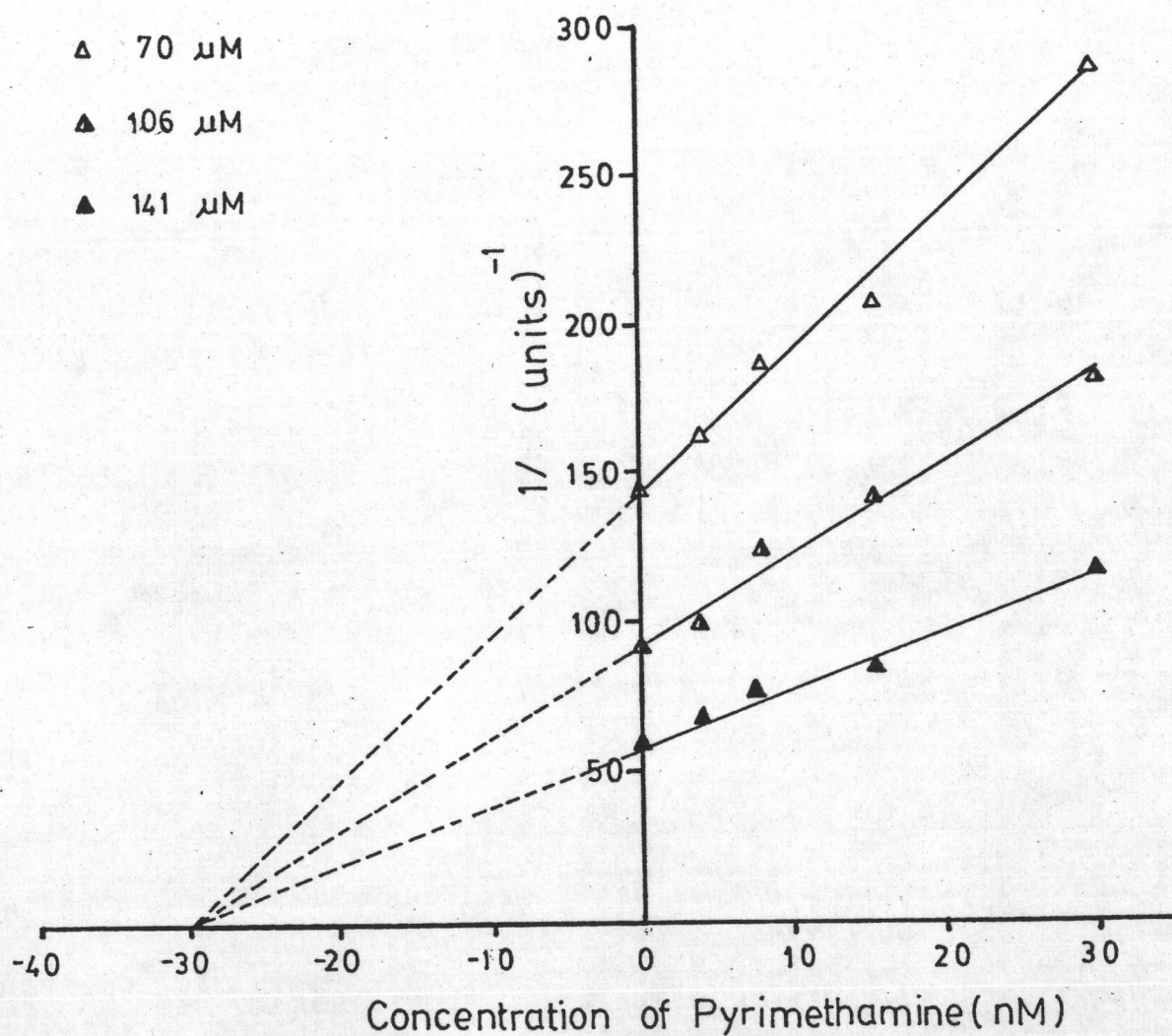
รูปที่ 36.

ผลกระทบบของไพริเมตามีนต่อแอกติวิตีของเอนไซม์  
 ไตไฮโดรโฟเลต รีดักเตส จาก *P. chabaudi* AS วัค  
 แอกติวิตีตามวิธีทดลองในข้อ 3.12.1 ที่อุณหภูมิ 37°ซ  
 เมื่อมีไพริเมตามีนความเข้มข้นต่าง ๆ กันตั้งแต่ 4-125  
 นาโนโมลาร์ ( เอนไซม์ 0.3 มิลลิกรัมโปรตีน , 7 หน่วย )

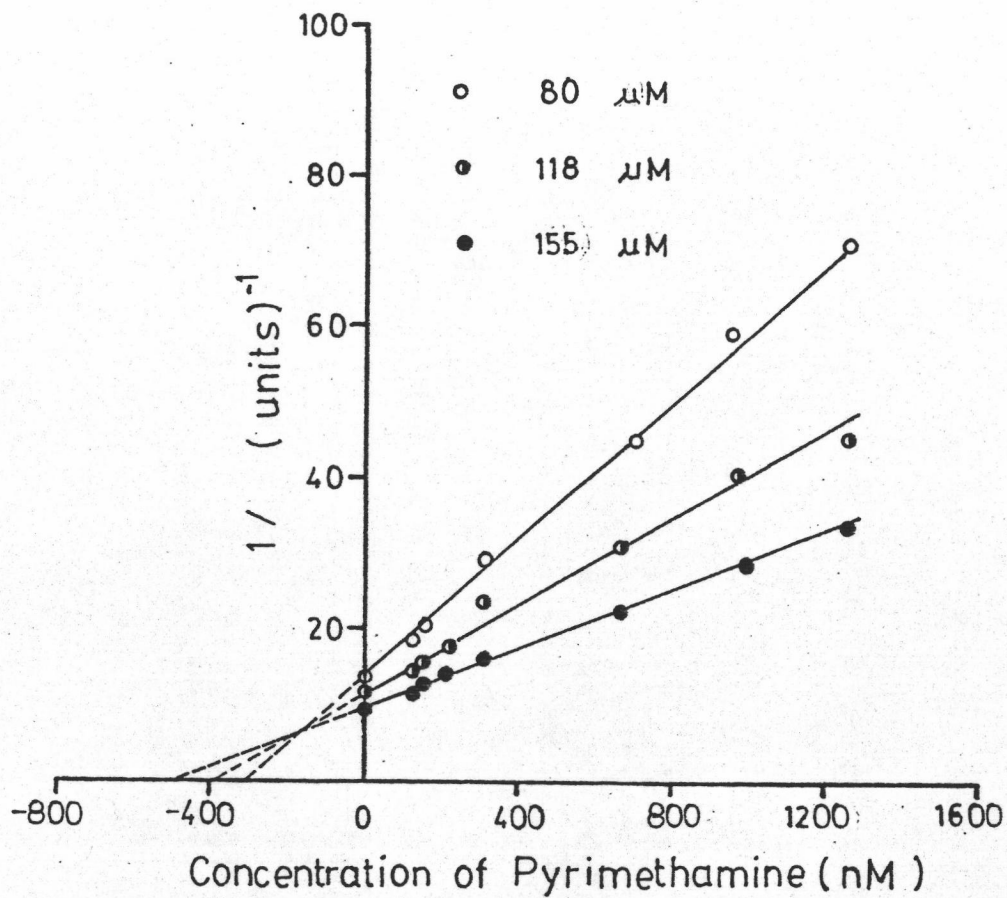


รูปที่ 37.

ผลกระทบบของไพริเมตามีนต่อแอกติวิตีของแอนไซม์  
 ไดไฮโดรโฟเลต รีดักเตส จาก *P. chabaudi* AS (Pr<sub>1</sub>)  
 วัดแอกติวิตีตามวิธีทดลองในข้อ 3.12.1 ที่อุณหภูมิ 37°C  
 เมื่อมีไพริเมตามีนความเข้มข้นต่าง ๆ กันตั้งแต่ 125 –  
 1250 นาโนโมลาร์ (แอนไซม์ 0.15 มิลลิกรัมโปรตีน, 7 หน่วย)



รูปที่ 38. Dixon Plot ของเอนไซม์ไดไฮโดรโฟเลต รีดักเตส จาก *P. chabaudi* AS กับไพริเมตามีน (ความเข้มข้นต่างๆ กันตั้งแต่ 4-30 นาโนโมลาร์) วัดแอกติวิตีตามวิธีทดลอง ในข้อ 3.12.1 ที่อุณหภูมิ 37 °C เมื่อใช้ไดไฮโดรโฟเลต ความเข้มข้น 70, 106 และ 141 ไมโครโมลาร์



รูปที่ 39.

Dixon Plot ของแอนไซม์ไดเอสเตอร์เฟลต ริคเกตส์

จาก *P. chabaudi* AS ( $\text{Pr}_1$ ) กับไพริเมตามีน (ความ

เข้มข้นต่างๆกันตั้งแต่ 120-1250 นาโนโมลาร์) วัด-

แอกติวิตีตามวิธีทดลองในข้อ 3.12.1 ที่อุณหภูมิ 37°C.

เมื่อใช้ไดเอสเตอร์เฟลตความเข้มข้น 80, 118 และ 155

ไมโครโมลาร์

AS( $Pr_1$ ) จะมีค่า  $K_i$  ต่อไฟริเมธาซีนเพิ่มขึ้นเป็น 160 นาโนโมลาร์และ จลนศาสตร์ของการยับยั้งจะเป็นแบบแข่งขัน (competitive inhibition)

#### 4.17.1.7 ผลการศึกษาเปรียบเทียบแอกติวิตีจำเพาะของเอนไซม์ไดไฮโดรโฟเลต รีดักเตส

ทำการทดลองวัดแอกติวิตีของเอนไซม์ (ใช้ปริมาณโปรตีน 0.2-1.0 มิลลิกรัม) ที่อุณหภูมิ 37 องศาเซลเซียสในฟอสเฟตบัฟเฟอร์ pH 7.4 ปรากฏว่า แอกติวิตีจำเพาะของไดไฮโดรโฟเลต รีดักเตสจาก พลาสโมเดียม ฮาบอดี AS( $Pr_1$ ) มีค่า  $6.5 \pm 0.5$  นาโนโมลต่อนาที ต่อมิลลิกรัมโปรตีน ซึ่งไม่แตกต่างมากนักจากค่าที่พบในเชื้อโคลน AS ซึ่งเท่ากับ  $8.5 \pm 0.5$  นาโนโมลต่อนาที ต่อมิลลิกรัมโปรตีน (ตารางที่ 6)

#### 4.17.1.8 ผลการศึกษาเปรียบเทียบแอกติวิตีสุทธิของเอนไซม์ไดไฮโดรโฟเลต รีดักเตส

ในการวิจัยนี้ได้ทำการทดลองเปรียบเทียบแอกติวิตีสุทธิของเอนไซม์ไดไฮโดรโฟเลต รีดักเตส ที่สังเคราะห์ขึ้นในเซลล์พลาสโมเดียม ฮาบอดี โดยคำนวณและรายงานเป็นค่าแอกติวิตีสุทธิ (total activity) ต่อ  $10^9$  เซลล์พลาสโมเดียม

เมื่อวัดแอกติวิตีของเอนไซม์ที่สภาวะมาตรฐานการทดลองตั้งที่ระบุในข้อ

3.12.1 คือใช้เอนไซม์ไม่เกิน 0.3 มิลลิกรัมโปรตีน ซีเตรตบัฟเฟอร์ pH 5.9 และอุณหภูมิ 35 องศาเซลเซียส (เอนไซม์จาก พลาสโมเดียม ฮาบอดี AS) หรือ 45 องศาเซลเซียส (เอนไซม์จากเชื้อโคลน AS( $Pr_1$ )) พบว่า (ตารางที่ 6) แอกติวิตีสุทธิของเอนไซม์ไดไฮโดรโฟเลต รีดักเตส ต่อ  $10^9$  เซลล์ ของพลาสโมเดียม ฮาบอดี AS( $Pr_1$ ) ( $34.8 \pm 0.6$  นาโนโมลต่อนาที) มีค่ามากกว่าที่พบในเชื้อโคลน AS ( $9.3 \pm 0.2$  นาโนโมลต่อนาที) ประมาณ 4 เท่า

#### 4.17.2 เอนไซม์เฮอริ นไฮดรอกซีเมทิลทรานส์เฟอเรส

##### 4.17.2.1 ผลการศึกษาเปรียบเทียบเวลาที่เหมาะสมสำหรับวัดแอกติวิตีของเอนไซม์เฮอริ นไฮดรอกซีเมทิลทรานส์เฟอเรส

ทำการทดลองวัดแอกติวิตีของเอนไซม์เฮอริ นไฮดรอกซีเมทิลทรานส์เฟอเรสจากพลาสโมเดียม ฮาบอดี AS และ AS( $Pr_1$ ) (ตามวิธีข้อ 3.12.2) ที่อุณหภูมิ 50 องศา



ตารางที่ 6. สรุปลักษณะการศึกษาเปรียบเทียบเอนไซม์ไดไฮโดรโพลิเฟลต  
รีดักเตส จาก P. chabaudi AS และ AS( $Pr_1$ )

	<u>P. chabaudi</u> AS	<u>P. chabaudi</u> AS( $Pr_1$ )
KCl activation ( up to 0.3M )	0.05-0.3	NO
Optimum pH	~5.9	~5.9
Optimum temperature( $^{\circ}$ C)	35- 37	40-45
$K_m$ for DHF ( $37^{\circ}$ C, pH 5.9 ) <sup>(1)</sup>	$44.9 \pm 0.6$	$11.8 \pm 0.7$
Pyrimethamine inhibition <sup>(2)</sup> ( $ED_{50}$ ; $37^{\circ}$ C, pH 5.9 )	33.1	288.4
$K_i$ for pyrimethamine <sup>(3)</sup> ( $37^{\circ}$ C, pH 5.9 )	30	160
Specific activity ( $37^{\circ}$ C, pH 7.4 ) <sup>(4)</sup>	$8.5 \pm 0.5$	$6.5 \pm 0.5$
Amount of enzyme ( $10^9$ cells ) <sup>(5)</sup>	$93 \pm 0.2$	$34.8 \pm 0.6$

(1) expressed as  $\mu$ M

(2),(3) expressed as nM

(4) expressed as  $\text{nmole} \cdot \text{min}^{-1} / \text{mg protein}$

(5) expressed as  $\text{nmole} \cdot \text{min}^{-1}$  (at optimum conditions)

เซลล์เยลลีนทริลล์-ไฮโดรคลอไรด์บัฟเฟอร์ pH 8.3 โดยใช้เอนไซม์ด้วยปริมาณโปรตีน 0.4 มิลลิกรัม อินคิวเบตเป็นเวลาด่าง ๆ กันจนถึง 90 นาที ปรากฏว่าแอกติวิตีของเอนไซม์เพิ่มขึ้นสัดส่วนกับเวลาของการอินคิวเบตที่เพิ่มขึ้นตลอดช่วงเวลาที่ทดลอง (รูปที่ 40)

#### 4.17.2.2 ผลการศึกษาเปรียบเทียบผลกระทบของ pH ต่อแอกติวิตีของเอนไซม์เซอร์ริน ไฮดรอกซีเมทิลทรานส์เฟอเรส

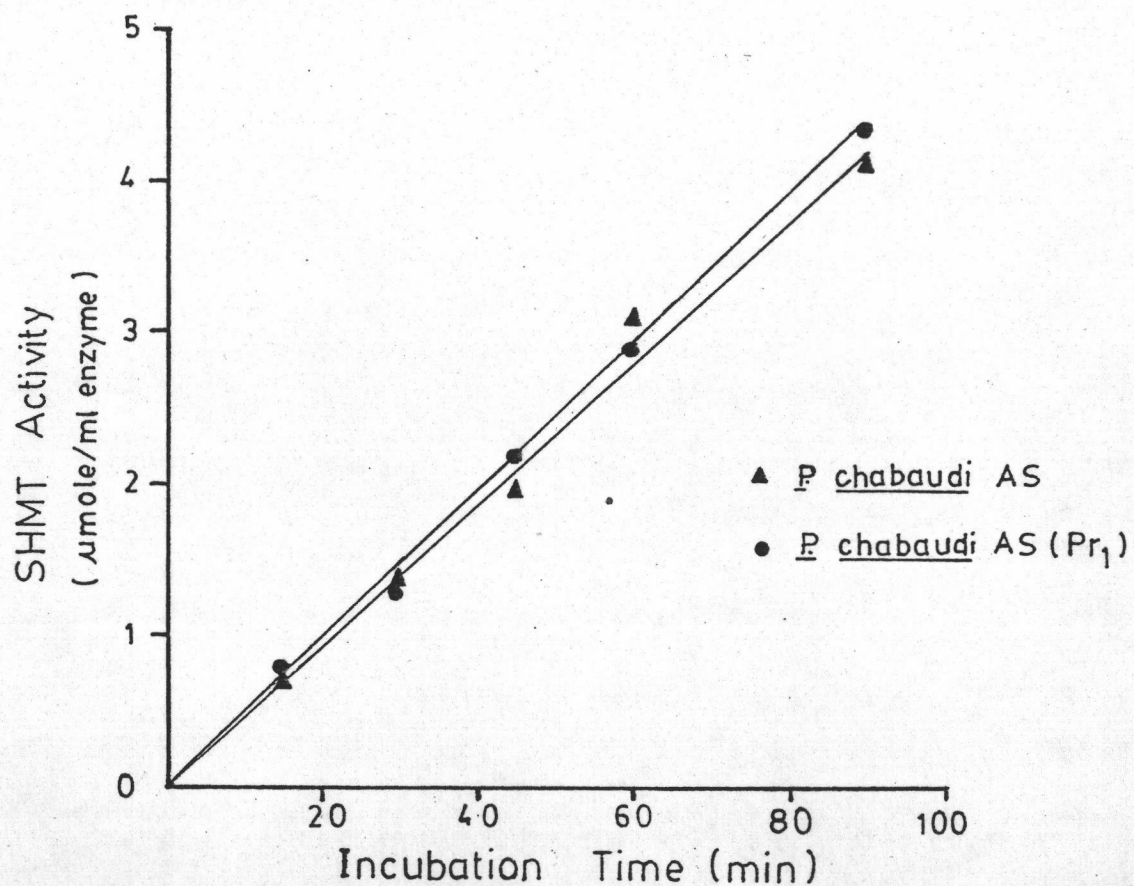
เมื่อศึกษาปฏิกิริยาการเปลี่ยนเตตระไฮโดรโฟเลตเป็นเมทิลลีนเตตระไฮโดรโฟเลต โดยมีเอนไซม์เซอร์ริน ไฮดรอกซีเมทิลทรานส์เฟอเรสเป็นตัวเร่ง ในบัฟเฟอร์ pH ต่าง ๆ กัน 2 ชนิด ได้แก่ 0.3 โมลาร์ ฟอสเฟตบัฟเฟอร์ (pH 6.77 - 7.43) และ 0.6 โมลาร์ ทริลล์-ไฮโดรคลอไรด์บัฟเฟอร์ (pH 7.18 - 8.71) ปรากฏว่า pH ที่เหมาะสมสำหรับวัดแอกติวิตีของเอนไซม์จาก พลาสโมเดียม ฮาบอดี AS และ AS(Pr<sub>1</sub>) เกือบจะไม่แตกต่างกันโดยจะมีค่าอยู่ในช่วงประมาณ pH 8.0 - 8.8 และชนิดของบัฟเฟอร์ไม่มีผลต่อเอนไซม์แอกติวิตีของเชื้อทั้ง 2 โคลน (รูปที่ 41) (ในการวิจัยจะวัดแอกติวิตีของเอนไซม์เซอร์ริน ไฮดรอกซีเมทิลทรานส์เฟอเรสในทริลล์-ไฮโดรคลอไรด์บัฟเฟอร์ pH 8.3)

#### 4.17.2.3 ผลการศึกษาเปรียบเทียบผลกระทบของอุณหภูมิต่อแอกติวิตีของเอนไซม์เซอร์ริน ไฮดรอกซีเมทิลทรานส์เฟอเรส

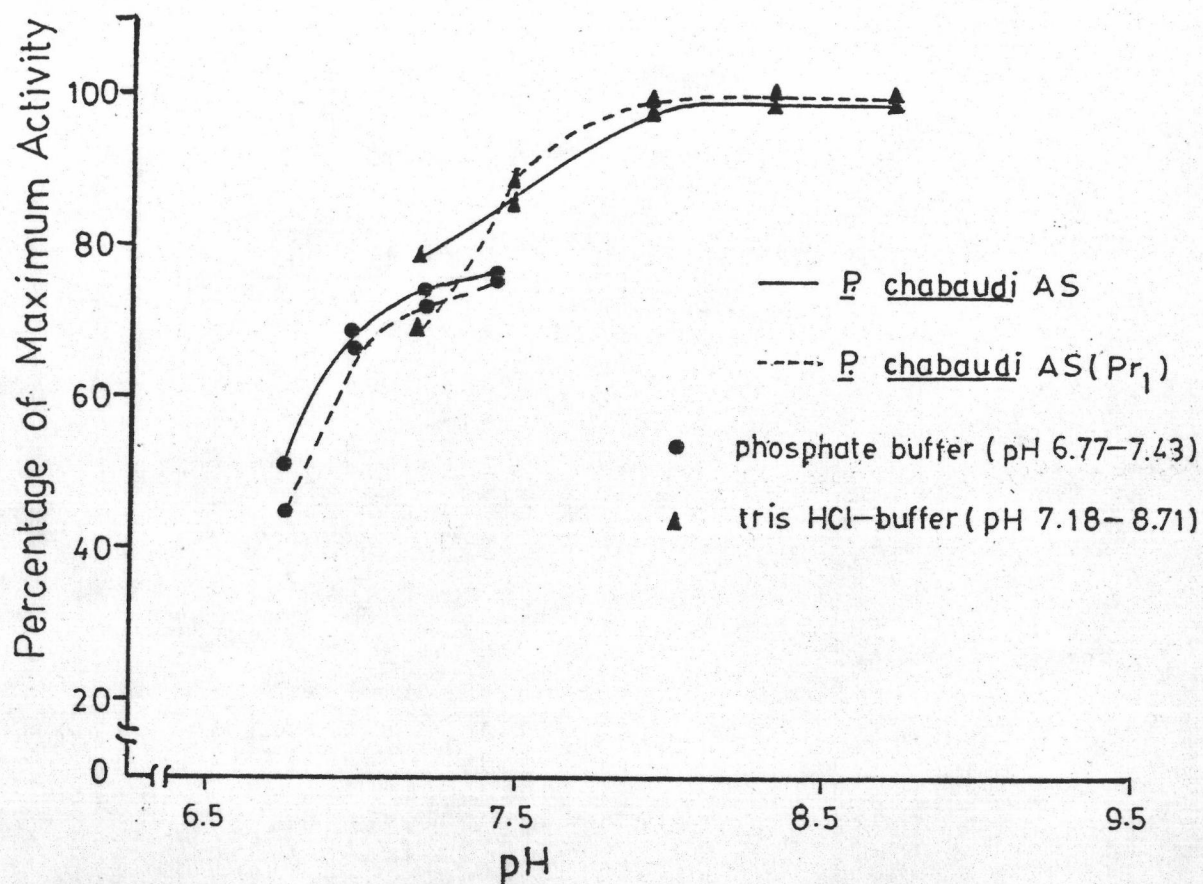
จากการวัดแอกติวิตีของเอนไซม์ที่อุณหภูมิต่าง ๆ กัน (24-60 องศาเซลเซียส) ดังแสดงในรูปที่ 42 พบว่าอุณหภูมิที่เหมาะสมสำหรับการเร่งปฏิกิริยาของเอนไซม์เซอร์ริน ไฮดรอกซีเมทิลทรานส์เฟอเรสจาก พลาสโมเดียม ฮาบอดี AS คือ 50 องศาเซลเซียส ส่วนเอนไซม์จากเชื้อโคลน AS(Pr<sub>1</sub>) จะอยู่ในช่วงประมาณ 50-55 องศาเซลเซียส อุณหภูมิสูงกว่า 55 องศาเซลเซียส จะทำให้แอกติวิตีของเอนไซม์ลดลงอย่างรวดเร็ว แต่แอกติวิตีของเอนไซม์จะยังคงเหลือประมาณ 50 เปอร์เซ็นต์ ทำให้เร่งปฏิกิริยาที่อุณหภูมิห้อง (25 องศาเซลเซียส)

#### 4.17.2.4 ผลการศึกษาเปรียบเทียบค่า $K_m$ ของเอนไซม์เซอร์ริน ไฮดรอกซีเมทิลทรานส์เฟอเรสต่อสับสเตรต

เอนไซม์เซอร์ริน ไฮดรอกซีเมทิลทรานส์เฟอเรสเร่งปฏิกิริยาการเปลี่ยนกรดอะมิโนเซอร์รินเป็นกรดอะมิโนไกลซีนโดยมีเตตระไฮโดรโฟเลตเป็นโคสับสเตรต ได้ทำการทดลอง

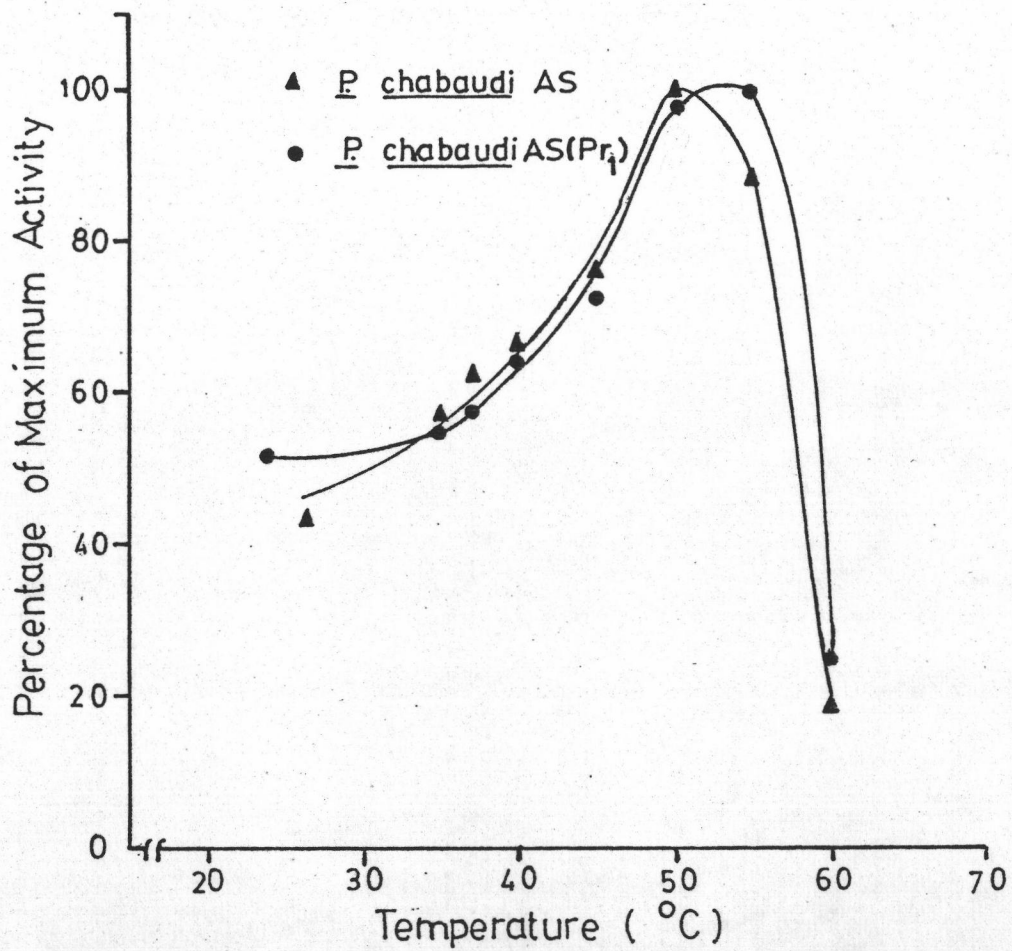


รูปที่ 40. ความสัมพันธ์ระหว่างเวลากับแอกติวิตีของเอนไซม์-  
 เซอรีน ไฮดรอกซีเมทิลทรานส์เฟอเรส วัดแอกติ-  
 วิตีตามวิธีทดลองในข้อ 3.12.2 เมื่ออินคิวเบตเป็นเวลา  
 ต่างๆกันตั้งแต่ 0-90 นาที



รูปที่ 41.

ผลกระทบของ pH ต่อแอกติวิตีของแอนไซม์เซอริน  
ไฮดรอกซีเมทิลทรานส์เฟอเรส วัดแอกติวิตีตาม  
วิธีทดลองในข้อ 3.12.2 ที่อุณหภูมิ 37 °ซ ในสาร-  
ละลายบัฟเฟอร์ pH ต่างๆ



รูปที่ 42

ผลกระทบบของอุณหภูมิต่อแอกติวิตีของแอนไซม์เซอริน

ไฮดรอกซีเมทิลทรานส์เฟอเรส วัดแอกติวิตีตาม  
วิธีทดลองในข้อ 3.12.2 ที่อุณหภูมิต่างๆกันตั้งแต่ 24-60°ซ

เพื่อหาค่า  $K_m$  ต่อสับสเตรตทั้งสอง ด้วยวิธีของ Lineweaver-Burk Plot

เมื่อวัดแอกติวิตีของเอนไซม์เซอร์ิน ไฮดรอกซีเมทิลทรานส์เฟอเรส ตามวิธีข้อ 3.12.2 ที่อุณหภูมิ 37 องศาเซลเซียสและใช้เตตระไฮโดรโฟเลตความเข้มข้นตั้งแต่ 0-0.22 มิลลิโมลาร์ เปรียบเทียบระหว่างเอนไซม์ในเชื้อทั้ง 2 โคลน ทำให้พบว่า  $K_m$  ต่อเตตระไฮโดรโฟเลตของเซอร์ิน ไฮดรอกซีเมทิลทรานส์เฟอเรสจากพลาสโมเดียม ซาบอดี AS( $Pr_1$ ) มีค่าเท่ากับ  $0.13 \pm 0.03$  มิลลิโมลาร์ ซึ่งไม่ต่างกับค่า  $K_m$  ของเอนไซม์ที่พบในพลาสโมเดียม ซาบอดี AS ( $0.10 \pm 0.02$  มิลลิโมลาร์) (รูปที่ 43 และตารางที่ 7)

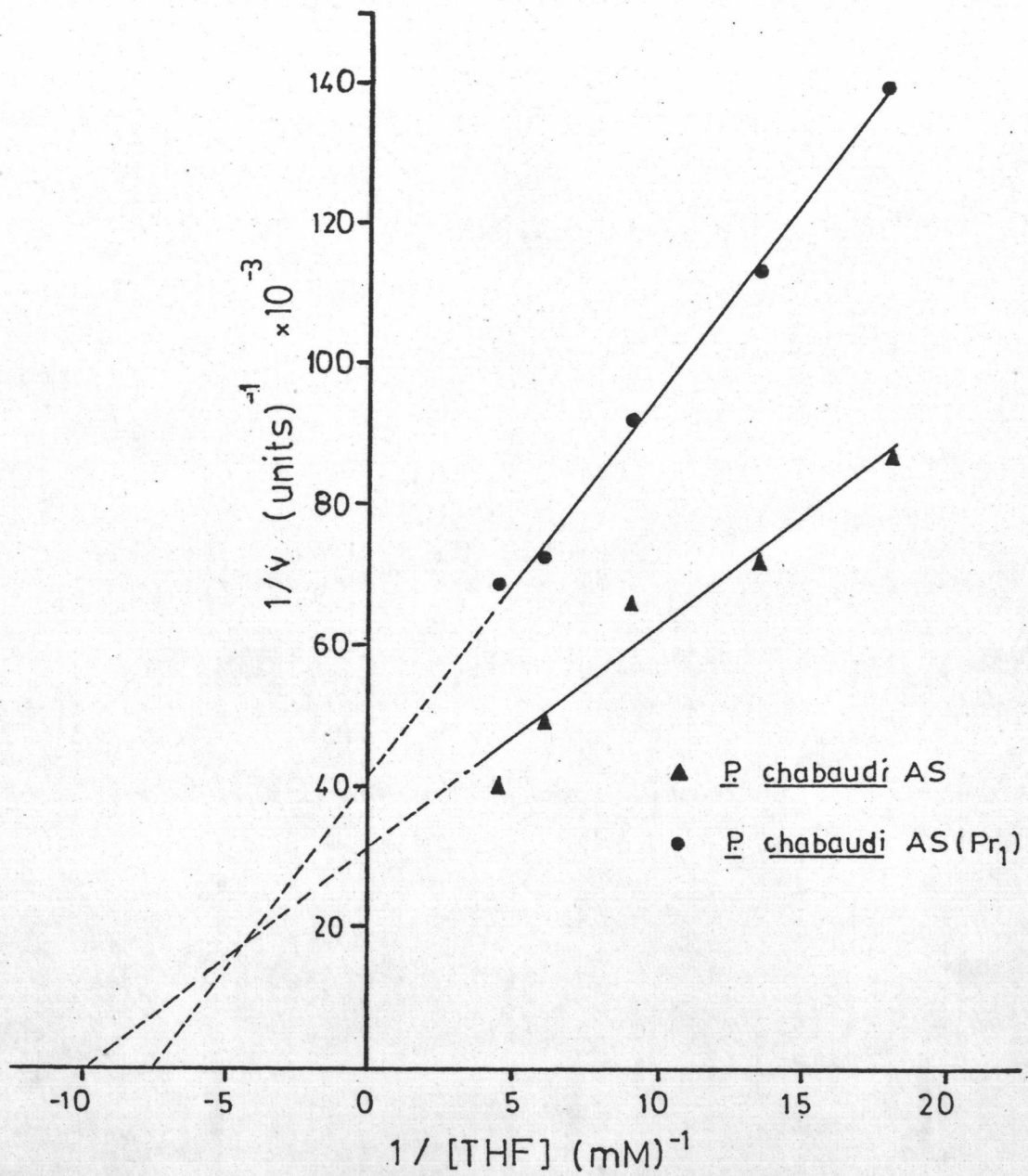
การทดลองหาค่า  $K_m$  ของเอนไซม์เซอร์ิน ไฮดรอกซีเมทิลทรานส์เฟอเรสต่อกรดอะมิโนเซอร์ินทำในลักษณะเดียวกับการหาค่า  $K_m$  ต่อเตตระไฮโดรโฟเลตโดยวัดแอกติวิตีของเอนไซม์ เมื่อใช้กรดอะมิโนเซอร์ินความเข้มข้น 0-2.22 มิลลิโมลาร์ ผลการทดลองในรูปที่ 44 และตารางที่ 7 แสดงให้เห็นว่า เอนไซม์เซอร์ิน ไฮดรอกซีเมทิลทรานส์เฟอเรสจาก พลาสโมเดียม ซาบอดี AS( $Pr_1$ ) จะมีค่า  $K_m$  ต่อกรดอะมิโนเซอร์ิน ( $0.45 \pm 0.05$  มิลลิโมลาร์) ใกล้เคียงกับค่าของเอนไซม์จากเชื้อโคลน AS ( $0.55 \pm 0.08$  มิลลิโมลาร์)

#### 4.17.2.5 ผลการศึกษาเปรียบเทียบผลกระทบบของไพริเมธามีนต่อแอกติวิตีของเอนไซม์เซอร์ิน ไฮดรอกซีเมทิลทรานส์เฟอเรส

จากการศึกษาผลการยับยั้งของไพริเมธามีน (0-1.11 มิลลิโมลาร์) ต่อแอกติวิตีของเอนไซม์เซอร์ิน ไฮดรอกซีเมทิลทรานส์เฟอเรส (ทำการทดลองที่อุณหภูมิ 37 องศาเซลเซียส) ปรากฏว่าไพริเมธามีน 1.11 มิลลิโมลาร์ซึ่งเป็นความเข้มข้นสูงสุดที่ละลายได้ในสภาวะการทดลอง (ข้อ 3.12.2) และมีค่าเป็นครึ่งหนึ่งของความเข้มข้นของเตตระไฮโดรโฟเลต จะไม่มีผลกระทบบต่อแอกติวิตีของเอนไซม์เซอร์ิน ไฮดรอกซีเมทิลทรานส์เฟอเรสจากพลาสโมเดียม ซาบอดี AS และ AS( $Pr_1$ ) (รูปที่ 45)

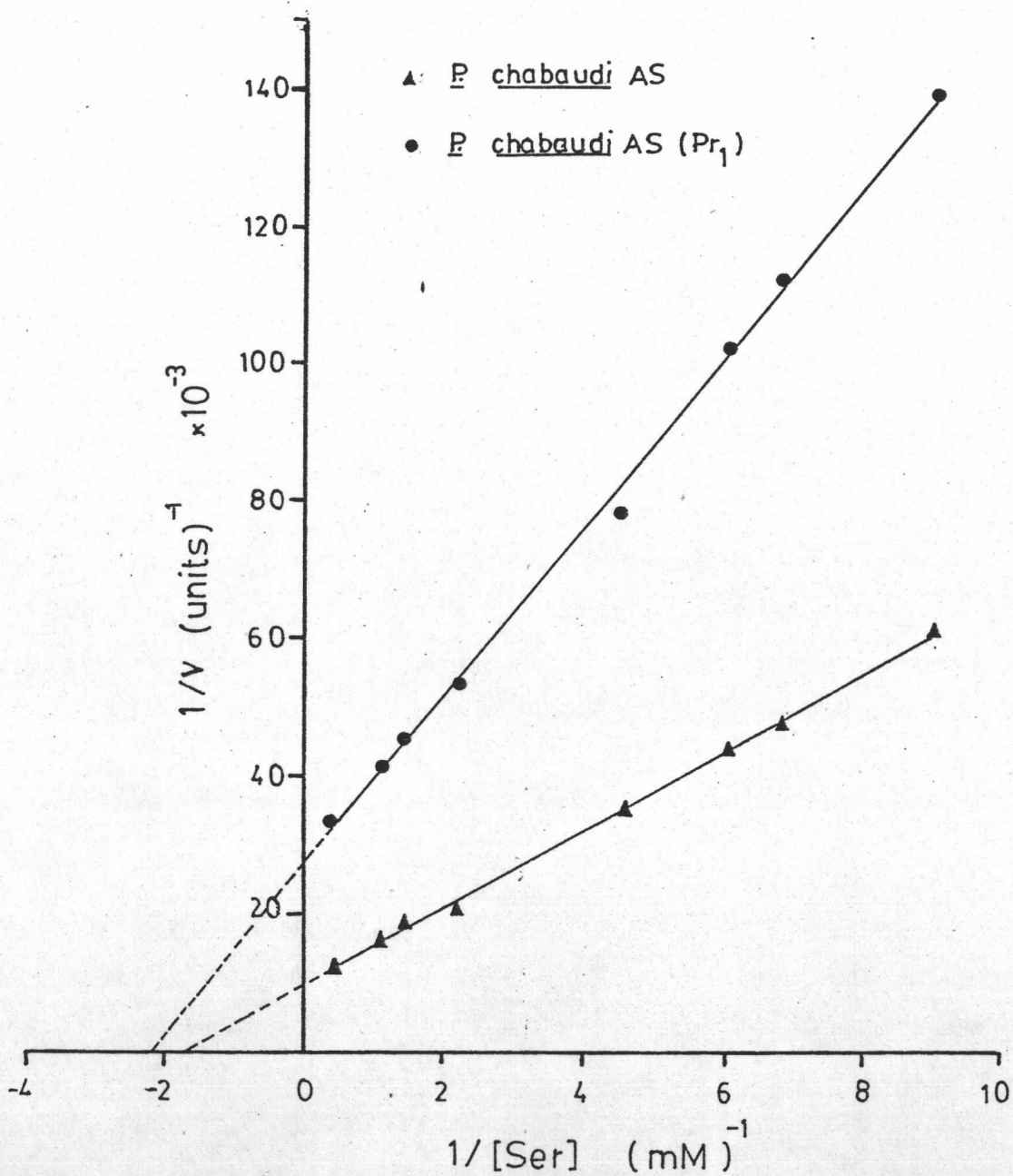
#### 4.17.2.6 ผลการศึกษาเปรียบเทียบแอกติวิตีจำเพาะของเอนไซม์เซอร์ิน ไฮดรอกซีเมทิลทรานส์เฟอเรส

ทำการทดลองวัดแอกติวิตีของเอนไซม์ที่อุณหภูมิ 37 องศาเซลเซียสในทรานส์-ไฮโดรคลอไรด์บัฟเฟอร์ pH 7.4 โดยใช้เอนไซม์ปริมาณโปรตีน 0.1-0.4 มิลลิกรัม ผลตามตารางที่ 7 แสดงให้เห็นว่าเอนไซม์เซอร์ิน ไฮดรอกซีเมทิลทรานส์เฟอเรสจะมีค่าแอกติวิตี



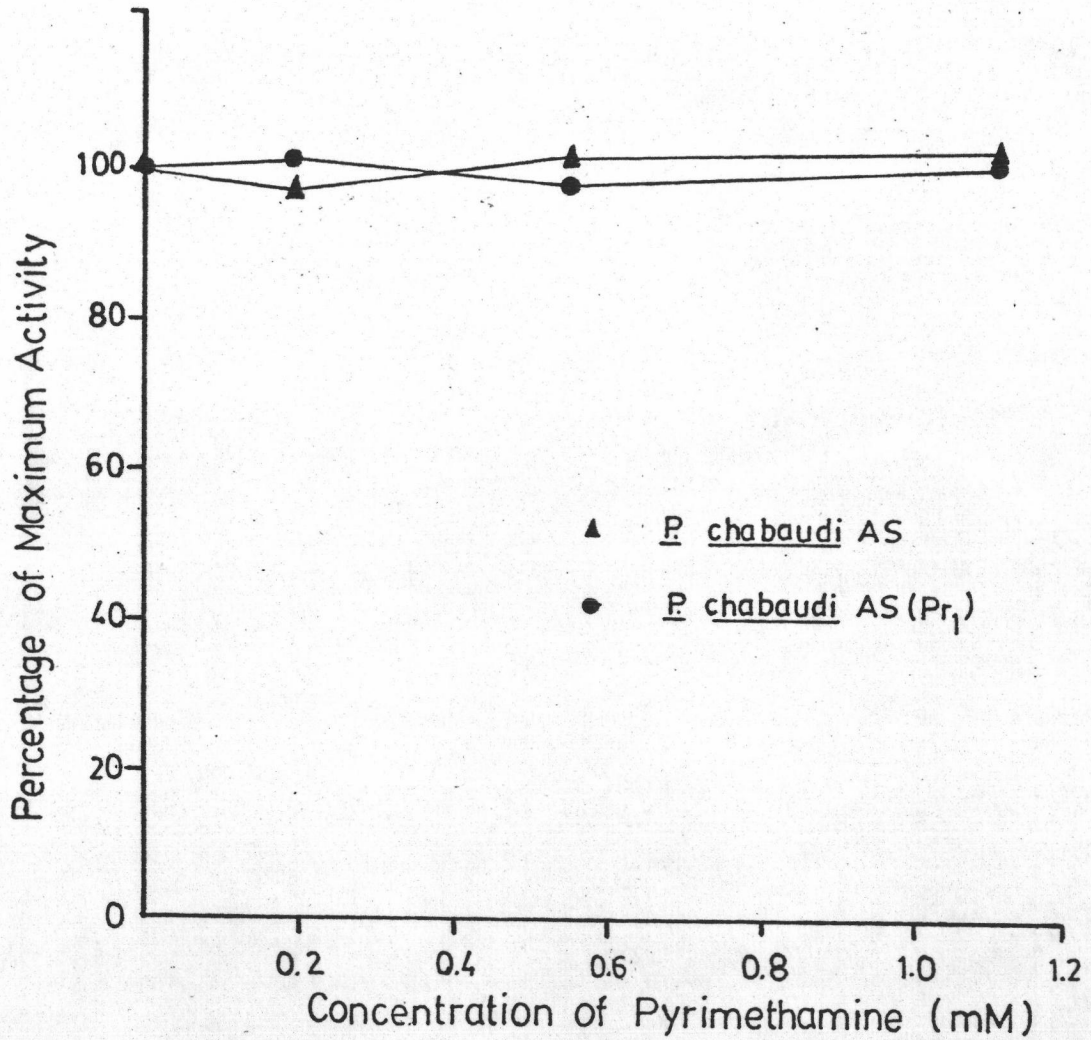
รูปที่ 43.

Lineweaver-Burk Plot ของเอนไซม์เซอร์อิน ไฮดรอกซีเมทิล-  
 ทรานส์เฟอเรส กับสับสเตรตเตตราไฮโดรโฟเลต วัดแอกติ-  
 วิตีตามวิธีทดลองในข้อ 3.12.2 ที่อุณหภูมิ 37°C โดยใช้-  
 สับสเตรตความเข้มข้นต่างๆกันตั้งแต่ 0-0.22 มิลลิโมลาร์



รูปที่ 44. Lineweaver-Burk Plot ของเอนไซม์เซอริน ไฮดรอกซีเมทิลทรานส์เฟอเรส กับลิบัสเตรตกรดอะมิโนเซอริน วัดแอกติวิตีตามวิธีทดลองในข้อ 3.12.2 ที่อุณหภูมิ 37 °ซ โดยใช้ลิบัสเตรตความเข้มข้นต่างๆกันตั้งแต่ 0 - 2.22 มิลลิโมลาร์





รูปที่ 45.

ผลกระทบของไพริเมตามีนต่อแอกติวิตีของแอนไซม์  
เซอริน ไฮดรอกซีเมทิลทรานส์เฟอแรส วัดแอกติ-  
วิตีตาม่วิธีทดลองในข้อ 3.12.2 ที่อุณหภูมิ 37 °C เมื่อ  
มีไพริเมตามีนความเข้มข้นต่าง ๆ กันตั้งแต่ 0-1.11 มิล-  
ลิโมลาร์

ค่าเพาะไม่แตกต่างกันใน พลาสมาโมเดียม ข้าบอดิ AS และ AS( $Pr_1$ ) ( $7.7 \pm 0.9$  และ  $7.9 \pm 0.6$  นาโนโมลต่อนาที่ต่อมิลลิกรัมโปรตีนตามลำดับ)

#### 4.17.2.7 ผลการศึกษาเปรียบเทียบแอกติวิตีของเอนไซม์เซอร์ินไฮดรอกซีเมทิลทรานส์เฟอเรส

จากการวัดแอกติวิตีของเซอร์ิน ไฮดรอกซีเมทิลทรานส์เฟอเรสที่สภาวะมาตรฐานการทดลอง (ข้อ 3.12.2) ได้แก้ไขเอนไซม์ 0.1 - 0.4 มิลลิกรัมโปรตีน ทรล-ไฮโดรคลอไรด์บัฟเฟอร์ pH 8.3 และอินคิวเบตนาน 30 นาที ที่อุณหภูมิ 50 องศาเซลเซียส คำนวณค่าแอกติวิตีต่อ  $10^9$  เซลล์พลาสมาโมเดียม ซึ่งชี้ให้เห็นว่าแอกติวิตีของเอนไซม์เซอร์ินไฮดรอกซีเมทิลทรานส์เฟอเรส ในพลาสมาโมเดียม ข้าบอดิ AS( $Pr_1$ ) ( $12.1 \pm 0.7$  นาโนโมลต่อนาที่ต่อ  $10^9$  เซลล์) มากกว่าที่พบในเชื้อโคลน AS ประมาณ 1.5 เท่า ( $8.5 \pm 0.3$  นาโนโมลต่อนาที่ต่อ  $10^9$  เซลล์) (ตารางที่ 7)

#### 4.17.3 เอนไซม์ไดไฮโดรพเทอโรเอต ซินเตส

##### 4.17.3.1 ผลการศึกษาเปรียบเทียบเวลาที่เหมาะสมสำหรับวัดแอกติวิตีของเอนไซม์ไดไฮโดรพเทอโรเอต ซินเตส

เมื่ออินคิวเบตเอนไซม์ที่สกัดได้จากพลาสมาโมเดียม ข้าบอดิ AS และ AS( $Pr_1$ ) (0.4 มิลลิกรัมโปรตีน) เพื่อวัดแอกติวิตีของเอนไซม์ไดไฮโดรพเทอโรเอต ซินเตส (ตามวิธีข้อ 3.12.3) ที่อุณหภูมิ 45 องศาเซลเซียสในช่วงระยะเวลาต่าง ๆ กัน ผลการทดลองในรูปที่ 46 แสดงให้เห็นว่า ปริมาณผลิตภัณฑ์ที่เกิดขึ้นจะยังคงเป็นสัดส่วนโดยตรงกับการเพิ่มของเวลาในช่วงประมาณ 45 นาที และรูปแบบของการเพิ่มแอกติวิตีของเอนไซม์ไม่มีความแตกต่างกันมากนัก

##### 4.17.3.2 ผลการศึกษาเปรียบเทียบผลกระทบของแมกนีเซียมคลอไรด์ต่อแอกติวิตีของเอนไซม์ไดไฮโดรพเทอโรเอต ซินเตส

แมกนีเซียมอิออนทำหน้าที่เป็นโคแฟกเตอร์ทำงานร่วมกับเอนไซม์ไดไฮโดรพเทอโรเอต ซินเตส ในการเร่งปฏิกิริยาการเปลี่ยน 2-อะมิโน-4-ไฮดรอกซี-6-ไฮดรอกซีเมทิล-7,8-ไดไฮโดรพเทอโรดีน ไพรออลส์เฟตไปเป็น 7,8-ไดไฮโดรพเทอโรเอต จากการวัดแอกติวิตีของเอนไซม์ เมื่อมีแมกนีเซียมคลอไรด์ความเข้มข้นต่าง ๆ กัน (0-0.4 โมลาร์) ดัง

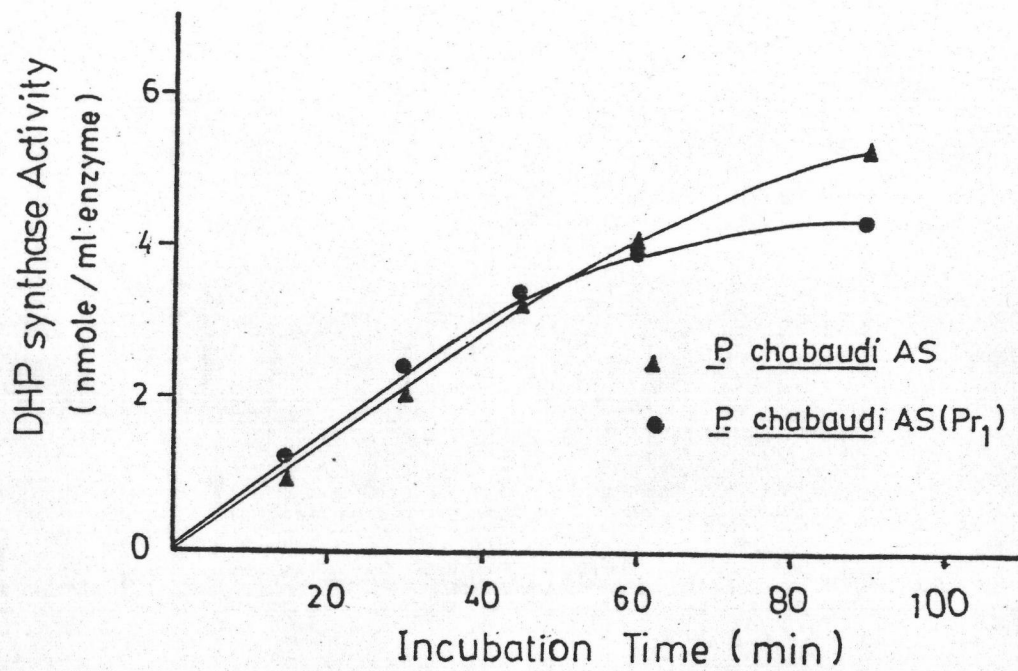
ตารางที่ 7. สรุปลักษณะการศึกษเปรียบเทียบเอนไซม์เซโรอิน ไฮดรอกซีเมทิลทรานส์เฟอเรส จาก *P. chabaudi* AS และ AS (Pr<sub>1</sub>)

	<i>P. chabaudi</i> AS	<i>P. chabaudi</i> AS (Pr <sub>1</sub> )
Optimum pH	8.0–8.8	8.0–8.8
Optimum temperature (°C)	50	50–55
K <sub>m</sub> for Ser (37°C, pH 8.3) <sup>(1)</sup>	0.55±0.08	0.45 ± 0.05
K <sub>m</sub> for THF (37°C, pH 8.3) <sup>(2)</sup>	0.10±0.02	0.13 ± 0.03
Pyrimethamine inhibition (up to 1.11 mM)	NO	NO
Specific activity (37°C, pH 7.4) <sup>(3)</sup>	7.7 ± 0.9	7.9 ± 0.6
Amount of enzyme (10 <sup>9</sup> cells) <sup>(4)</sup>	8.5±0.3	12.1 ± 0.7

(1), (2) expressed as mM

(3) expressed as nmole·min<sup>-1</sup> / mg protein

(4) expressed as nmole·min<sup>-1</sup> (at optimum conditions)



รูปที่ 46. ความสัมพันธ์ระหว่างเวลา กับ แอคติวิตีของเอนไซม์ ไดไฮโดรพเทอโรเลต ซินเตส วัดแอกติวิตีตาม วิธีทดลองในข้อ 3.12.3 เมื่ออินคิวเบตเป็นเวลาดังๆ กันตั้งแต่ 0-90 นาที

แสดงในรูปที่ 47 จะเห็นได้ว่า เอนไซม์ไดไฮโดรพเทอโรเอต ซินเตส จาก พลาสโมเดียม ซาบอดี AS และ AS( $Pr_1$ ) จะถูกกระตุ้นให้เร่งปฏิกิริยาเพิ่มขึ้นด้วยแมกนีเซียมคลอไรด์ 0.2 โมลาร์ แต่ความเข้มข้นมากกว่านี้จะมีผลลดแอกติวิตีของเอนไซม์

#### 4.17.3.3 ผลการศึกษาเปรียบเทียบผลกระทบของ pH ต่อแอกติวิตีของเอนไซม์ไดไฮโดรพเทอโรเอต ซินเตส

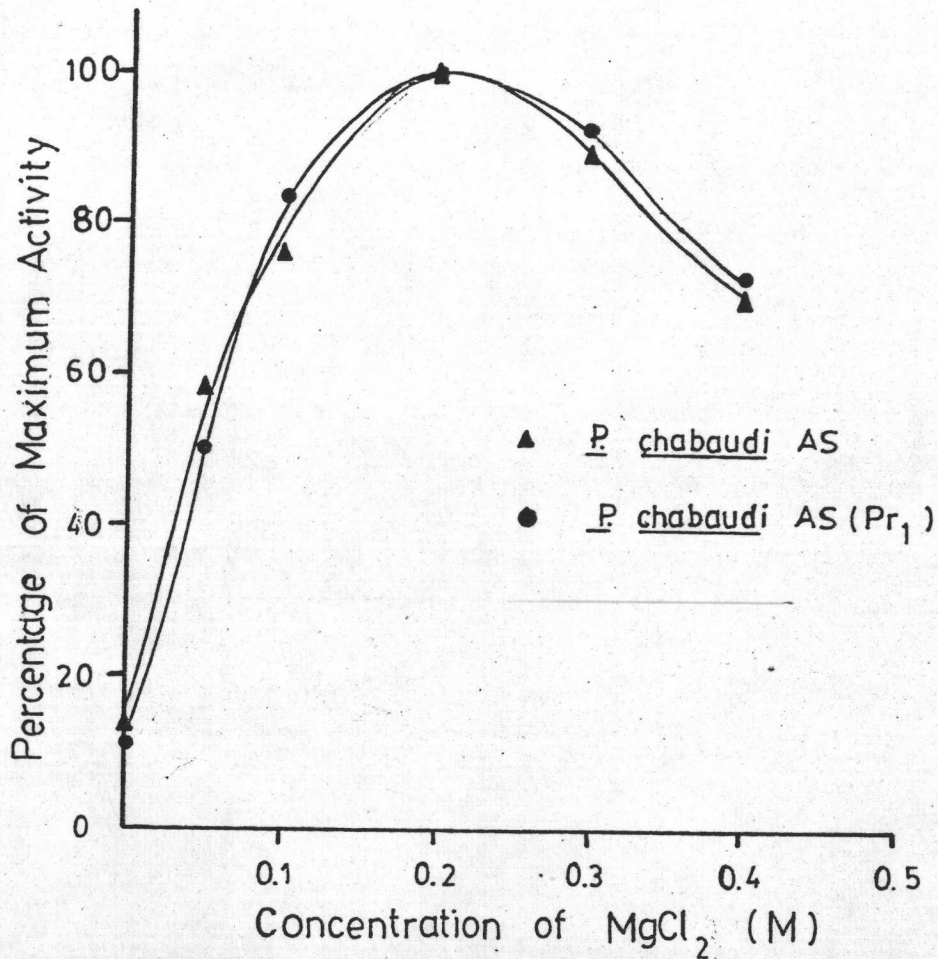
ทำการทดลองเปรียบเทียบแอกติวิตีของเอนไซม์ไดไฮโดรพเทอโรเอต ซินเตส ที่แยกได้จาก พลาสโมเดียม ซาบอดี AS และ AS( $Pr_1$ ) เมื่อใช้บัฟเฟอร์ pH ต่าง ๆ ในช่วงตั้งแต่ 6.48 - 7.96 (ฟอสเฟตบัฟเฟอร์) และ pH 7.48 - 9.31 (ทรล-ไฮโดรคลอไรด์บัฟเฟอร์) ผลการทดลองตามรูปที่ 48 จะเห็นได้ว่า การเปลี่ยนชนิดของบัฟเฟอร์จะมีผลต่อแอกติวิตีของเอนไซม์จากพลาสโมเดียม ทั้ง 2 โคลน คือที่ pH เดียวกัน ทรล-ไฮโดรคลอไรด์ จะเป็นบัฟเฟอร์ที่ให้แอกติวิตีสูงกว่าฟอสเฟตบัฟเฟอร์บ้างเล็กน้อย แต่อย่างไรก็ตามเมื่อเปรียบเทียบ pH ของการเกิดแอกติวิตีที่เหมาะสมของเอนไซม์ไดไฮโดรพเทอโรเอต ซินเตส จาก พลาสโมเดียม ซาบอดี AS และ AS( $Pr_1$ ) จะมีค่าใกล้เคียงกันคือในช่วงระหว่าง pH 8.9 - 9.0

#### 4.17.3.4 ผลการศึกษาเปรียบเทียบผลกระทบของอุณหภูมิต่อแอกติวิตีของเอนไซม์ไดไฮโดรพเทอโรเอต ซินเตส

เมื่อทำการวัดแอกติวิตีของเอนไซม์ไดไฮโดรพเทอโรเอต ซินเตส ใน พลาสโมเดียม ซาบอดี AS และ AS( $Pr_1$ ) ที่อุณหภูมิต่าง ๆ ตั้งแต่ 24-55 องศาเซลเซียส ปรากฏว่าอุณหภูมิที่เหมาะสมสำหรับการเร่งปฏิกิริยาโดยเอนไซม์ไดไฮโดรพเทอโรเอต ซินเตส จาก พลาสโมเดียม ซาบอดี AS จะอยู่ในช่วง 40-45 องศาเซลเซียส อุณหภูมิสูงหรือต่ำกว่านี้จะมีผลทำให้แอกติวิตีของเอนไซม์ลดลงอย่างรวดเร็ว (รูปที่ 49) ส่วนเอนไซม์จากเชื้อโคลน AS ( $Pr_1$ ) จะเร่งปฏิกิริยาได้ดีที่อุณหภูมิประมาณ 45 องศาเซลเซียส

#### 4.17.3.5 ผลการศึกษาเปรียบเทียบค่า $K_m$ ของเอนไซม์ไดไฮโดรพเทอโรเอต ซินเตส ต่อสับสเตรต

สับสเตรตของเอนไซม์ไดไฮโดรพเทอโรเอต ซินเตส ได้แก่ 2-อะมิโน-4-ไฮดรอกซี-6-ไฮดรอกซีเมทิล-7,8-ไดไฮโดรพเทอโรดีนไฟโรฟอสเฟต และกรดพาราอะมิโน-



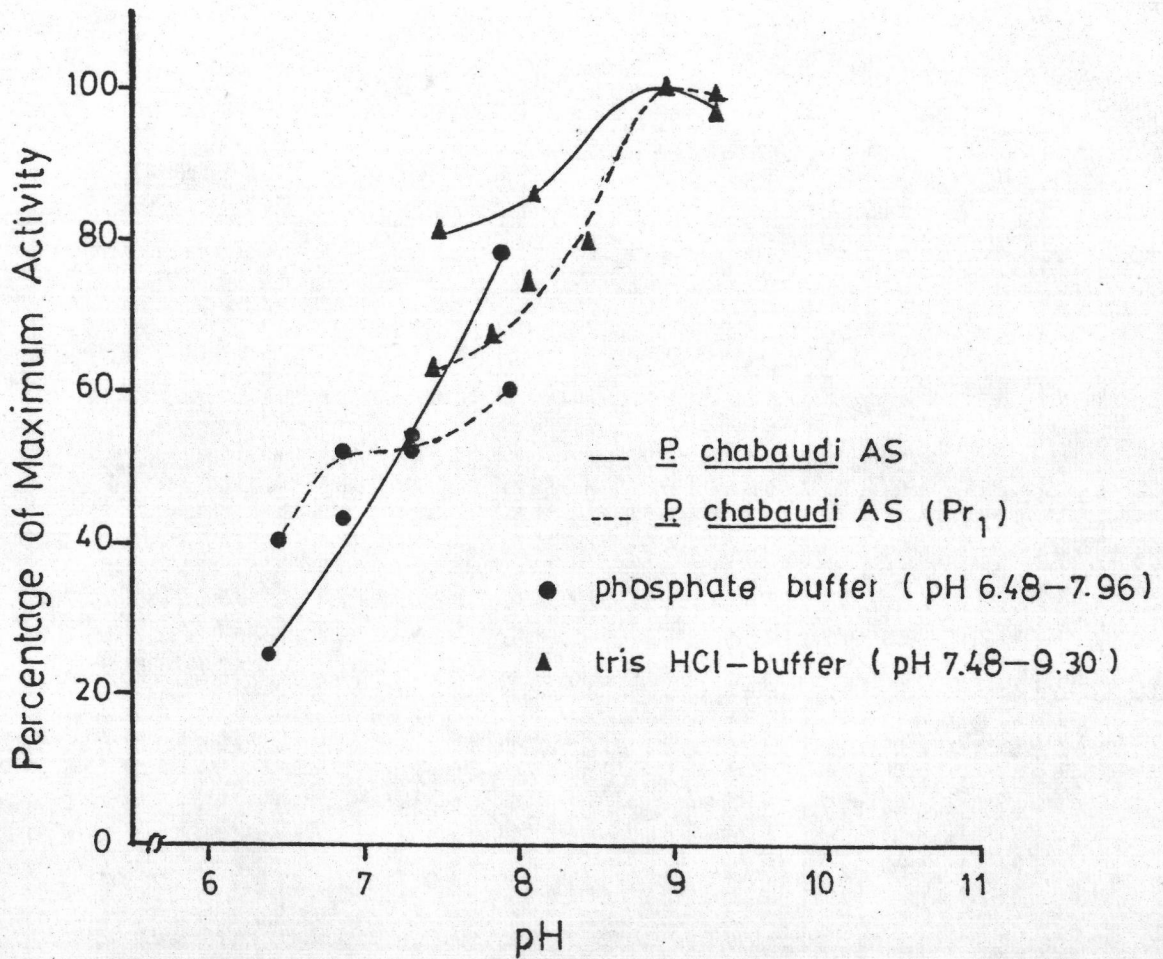
รูปที่ 47.

ผลกระทบบของแมกนีเซียมคลอไรด์ต่อแอกติวิตีของแอน-

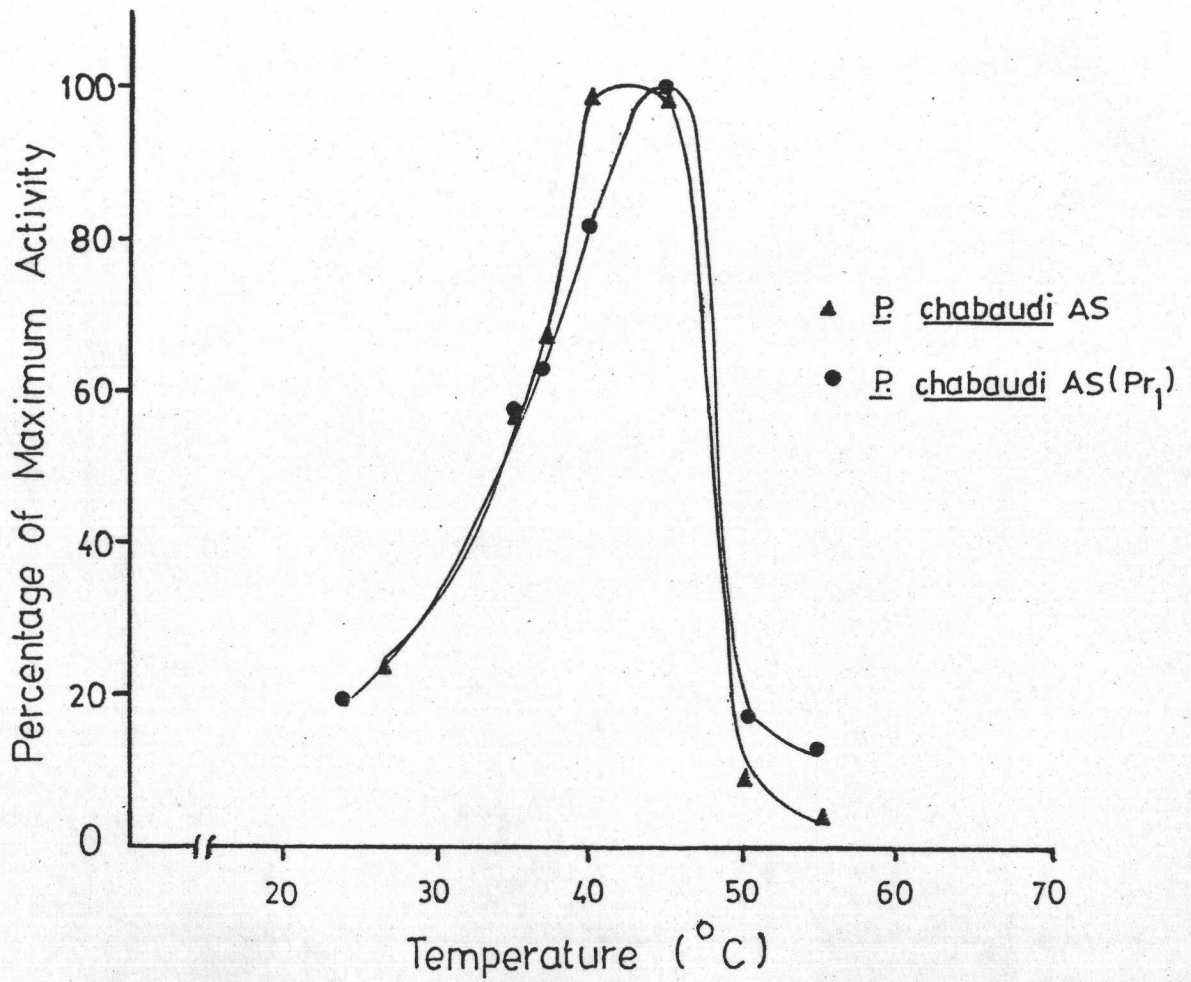
ไซม์ไดไฮโดรพเทอโรเอต ซินเตส วัดแอกติวิตีตาม

วิธีทดลองในข้อ 3.12.3 ที่อุณหภูมิ  $37^{\circ}C$  เมื่อมีแมก-

นีเซียมคลอไรด์ความเข้มข้นต่าง ๆ กันตั้งแต่ 0-0.4 โมลาร์



รูปที่ 48. ผลกระทบของ pH ต่อแอกติวิตีของแอนไซม์ไคโต-  
 ไตรฟเทอริสเอต ซินเทส วัดแอกติวิตีตามวิธีทดลอง  
 ในข้อ 3.12.3 ที่อุณหภูมิ 37 °ซ ในสารละลายบัฟ-  
 เฟอร์ ( 0.5 โมลาร์ ) pH ต่าง ๆ



รูปที่ 49.

ผลกระทบของอุณหภูมิต่อแอกติวิตีของแอนไซม์

ไดไฮโดรพเทอโรเอต ซินเตส วัดแอกติวิตีตามวิธี

ทดลองในข้อ 3.12.3 ที่อุณหภูมิต่างๆกันตั้งแต่ 24-55  $^{\circ}\text{C}$



เบนโซอิก ทำการทดลองเปรียบเทียบค่า  $K_m$  ที่อุณหภูมิ 37 องศาเซลเซียส โดยอาศัยความสัมพันธ์ระหว่างแอกติวิตีของเอนไซม์กับความเข้มข้นของซับสเตรตที่ใช้ ตามแบบวิธี Line-weaver-Burk Plot (รูปที่ 50 และรูปที่ 51) ปรากฏว่า  $K_m$  ของเอนไซม์ไดไฮโดรพเทอโรเอต ซินเตส จากพลาสโมเดียม ซาบอดี AS ต่อซับสเตรตข้างต้นตามลำดับคือ  $0.19 \pm 0.05$  มิลลิโมลาร์ และ  $2.5 \pm 0.01$  ไมโครโมลาร์ ซึ่งใกล้เคียงกับค่าของเอนไซม์ที่พบในเชื้อโคลน AS ( $Pr_1$ ) คือ  $0.12 \pm 0.04$  มิลลิโมลาร์ และ  $2.5 \pm 0.01$  ไมโครโมลาร์ ตามลำดับเช่นกัน (ตารางที่ 8)

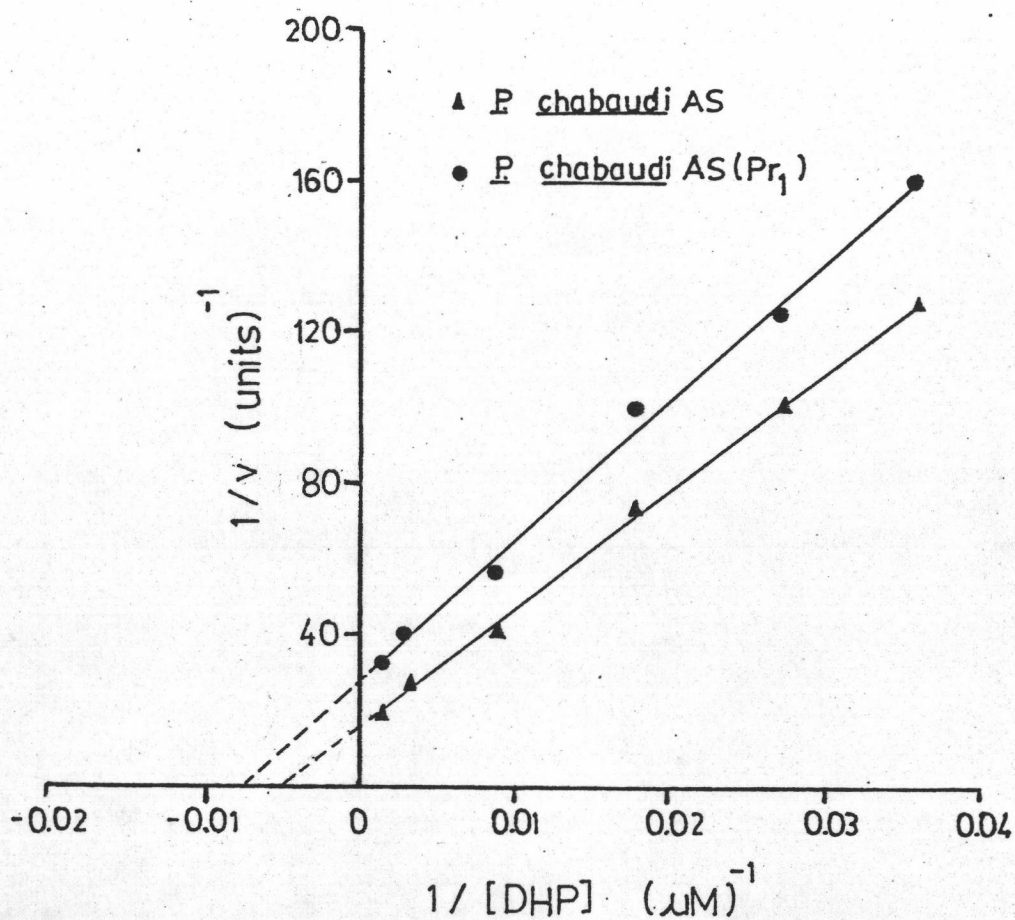
#### 4.17.3.6 ผลการศึกษาเปรียบเทียบผลกระทบของไพริเมธาซีนต่อแอกติวิตีของเอนไซม์ ไดไฮโดรพเทอโรเอต ซินเตส

จากการศึกษาเปรียบเทียบผลกระทบของไพริเมธาซีน ต่อการเร่งปฏิกิริยาของเอนไซม์ไดไฮโดรพเทอโรเอต ซินเตส จากพลาสโมเดียม ซาบอดี AS และ AS( $Pr_1$ ) โดยวัดแอกติวิตีของเอนไซม์ที่อุณหภูมิ 37 องศาเซลเซียส เมื่อมีไพริเมธาซีนความเข้มข้นตั้งแต่ 0.05 - 0.25 มิลลิโมลาร์ และใช้ซับสเตรต 2-อะมิโน-4-ไฮดรอกซี-6-ไฮดรอกซีเมทิล-7,8-ไดไฮโดรพเทอริดีนไพโรฟอสเฟต 0.7 มิลลิโมลาร์ ซึ่งแสดงผลในรูปที่ 52 จะเห็นได้ว่าไพริเมธาซีน ไม่ทำให้แอกติวิตีของไดไฮโดรพเทอโรเอต ซินเตสลดลง แม้จะใช้ความเข้มข้นสูงถึง 0.25 มิลลิโมลาร์ ซึ่งเป็นความเข้มข้นสูงสุดที่สามารถละลายในสภาวะการทดลองตามวิธีทดลองข้อ 3.12.3

#### 4.17.3.7 ผลการศึกษาเปรียบเทียบแอกติวิตีจำเพาะของเอนไซม์ไดไฮโดรพเทอโรเอต ซินเตส

ทำการทดลองวัดแอกติวิตีจำเพาะของเอนไซม์เปรียบเทียบระหว่างพลาสโมเดียม ซาบอดี AS และ AS( $Pr_1$ ) โดยวัดแอกติวิตีตามวิธีทดลองข้อ 3.12.3 ในทริส-ไฮโดรคลอไรด์บัฟเฟอร์ pH 7.4 ที่อุณหภูมิ 37 องศาเซลเซียส (ใช้เอนไซม์ 0.2 - 0.4 มิลลิกรัม โปรตีน) พบว่า แอกติวิตีจำเพาะของไดไฮโดรพเทอโรเอต ซินเตสที่สกัดจากเชื้อโคลน AS มีค่าต่ำกว่าเอนไซม์จากเชื้อโคลน AS ( $Pr_1$ ) คือ  $0.009 \pm 0.001$  และ  $0.014 \pm 0.001$  นาโนโมลต่อนาที่ต่อมิลลิกรัมโปรตีนตามลำดับ (ตารางที่ 8)

#### 4.17.3.8 ผลการศึกษาเปรียบเทียบแอกติวิตีสุทธิของเอนไซม์ไดไฮโดรพเทอโรเอต ซินเตส



รูปที่ 50.

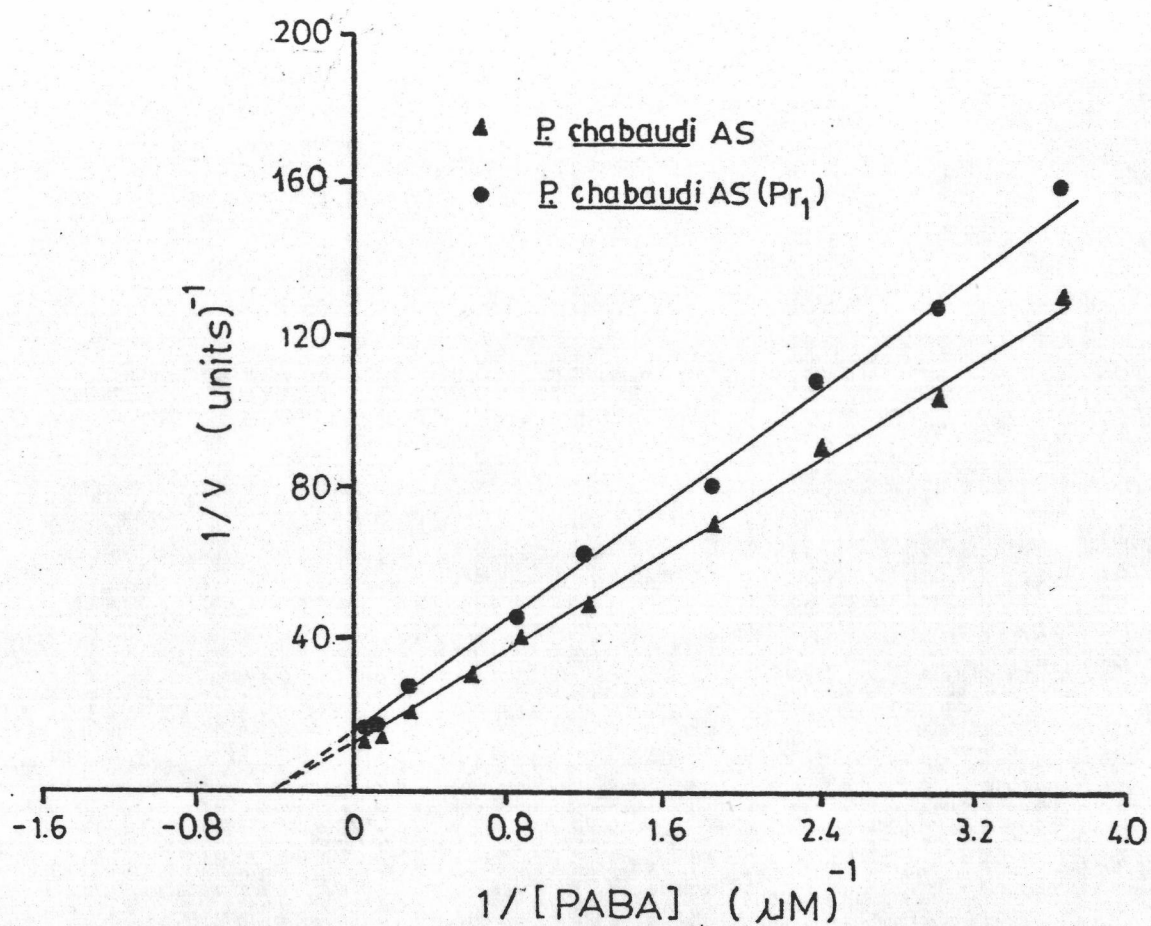
Lineweaver-Burk Plot ของเอนไซม์ไดไฮโดรพเทอโรเอต

ซีเนตล กับ สับสเตรต 2-อะมีโน-4-ไฮดรอกซี-6-ไฮดรอก

ซีเมทิล-7,8-ไดไฮโดรพเทอริดีน ไพโรฟอสเฟต วัดแอก-

ติวิตีตามวิธีทดลองในย่อ 3.12.3 ที่อุณหภูมิ 37 °C โดยใช้

สับสเตรตความเข้มข้นต่างๆ กันตั้ง 0-600 ไมโครโมลาร์



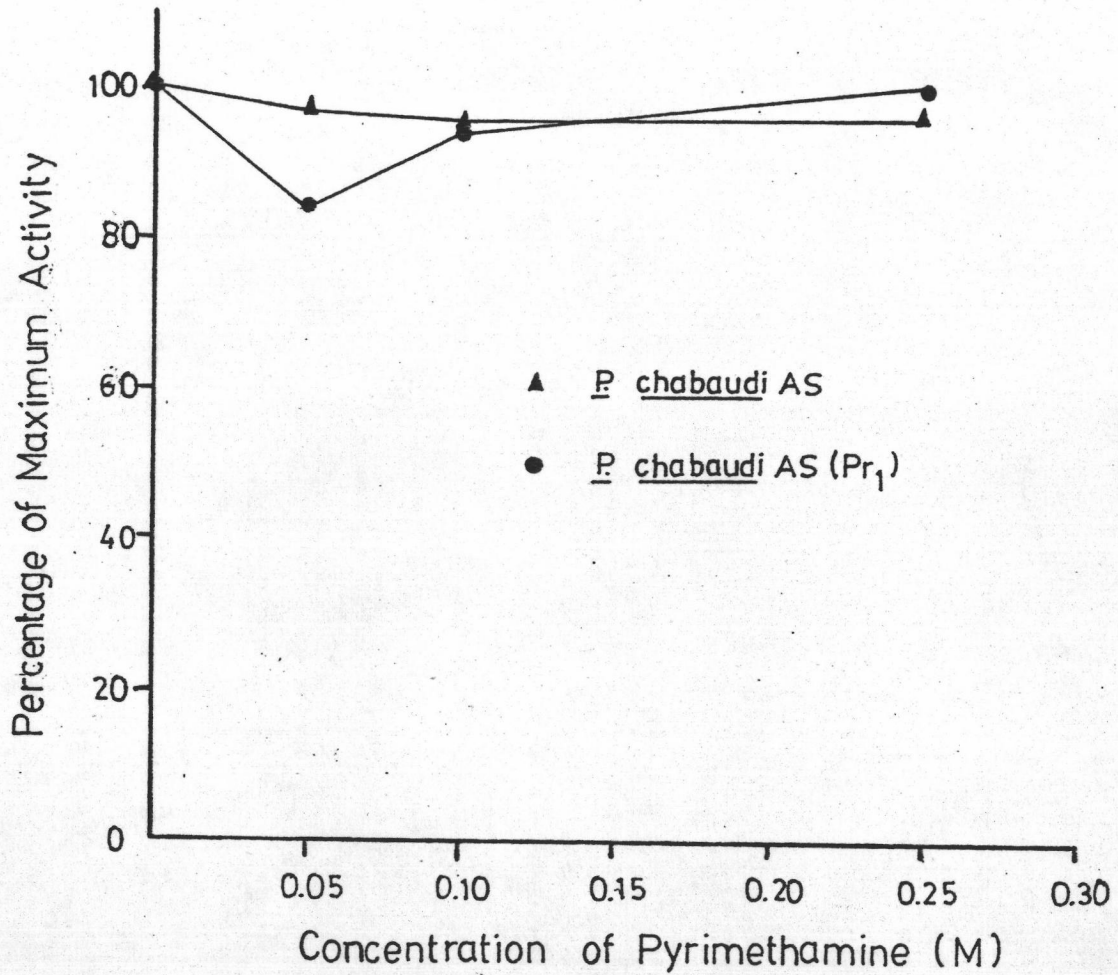
รูปที่ 51.

Lineweaver-Burk Plot ของเอนไซม์ไดไฮโดรเพเทอริเรอเดต

ซึ่งเอนไซม์ กับ สัมประสิทธิ์การลดพารามิเตอร์เบนโซอิก สอดคล้อง-

ติวิธีตามวิธีทดลองในข้อ 3.12.3 ที่อุณหภูมิ 37 °C โดยใช้

สัมประสิทธิ์ความเข้มข้นต่างๆ กันตั้งแต่ 0-15 ไมโครโมลาร์



รูปที่ 52. ผลกระทบของไพริเมตามีนต่อแอกติวิตีของแอนไชน์ม์  
 ไคโตโรพเทอโรเอต ซีนเตส วัดแอกติวิตีตามวิธี  
 ทดลองในข้อ 3.12.3 ที่อุณหภูมิ 37 °ซ เมื่อมีไพริเม-  
 ตามีนความเข้มข้นต่าง ๆ กันตั้งแต่ 0-0.25 มิลลิโมลาร์

เมื่อวัดแอกติวิตีของเอนไซม์ไดไฮโดรพเทอโรเอต ซินเตสที่ลภาวะ  
 มาตรฐานการทดลองตามวิธีทดลองในข้อ 3.12.3 ได้แก่ ไซเอนไซม์ 0.2 - 0.4 มิลลิกรัม  
 โปรตีน ทริส-ไฮโดรคลอไรด์บัฟเฟอร์ pH 8.9 อินคิวเบตที่อุณหภูมิ 45 องศาเซลเซียส  
 นาน 30 นาที แล้วคำนวณค่าแอกติวิตีเป็นแอกติวิตีต่อ  $10^9$  เซลล์ ผลการทดลองตาม  
 ตารางที่ 8 ทำให้เห็นว่าแอกติวิตีของเอนไซม์ไดไฮโดรพเทอโรเอต ซินเตส ใน  
พลาสโมเดียม ช่าบอดี AS (Pr<sub>1</sub>) ( $0.014 \pm 0.001$  นาโนโมลต่อนาทีต่อ  $10^9$  เซลล์)  
 จะเพิ่มขึ้นเล็กน้อยประมาณ 1.3 เท่าของที่พบใน พลาสโมเดียม ช่าบอดี AS ( $0.010 \pm 0.001$   
 นาโนโมลต่อนาทีต่อ  $10^9$  เซลล์)

ตารางที่ 8.   สรุปผลการศึกษเปรียบเทียบเอนไซม์ไดไฮโดรพเทอโรเอต ซินเทส จาก *P. chabaudi* AS และ AS(Pr<sub>1</sub>)

	<i>P. chabaudi</i> AS	<i>P. chabaudi</i> AS(Pr <sub>1</sub> )
Optimum concentration of MgCl <sub>2</sub> <sup>(1)</sup>	0.2	0.2
Optimum pH	~8.9	~9.0
Optimum temperature (°C)	40-45	45
K <sub>m</sub> for DHPP (37°C, pH 8.9) <sup>(2)</sup>	0.19±0.05	0.12±0.04
K <sub>m</sub> for PABA (37°C, pH 8.9) <sup>(3)</sup>	2.5±0.01	2.5 ± 0.01
Pyrimethamine inhibition (up to 0.25mM)	NO	NO
Specific activity (37°C, pH 7.4) <sup>(4)</sup>	0.009± 0.001	0.014± 0.001
Total activity / 10 <sup>9</sup> cells <sup>(5)</sup>	0.010±0.001	0.014±0.001

(1) expressed as M

(2) expressed as mM

(3) expressed as μM

(4) expressed as nmole·min<sup>-1</sup>/mg

(5) expressed as nmole·min<sup>-1</sup> (at optimum conditions)